



COMUNE DI SAN BARTOLOMEO IN GALDO

Provincia di Benevento

PROGETTO:

PROGETTO PER IL RISANAMENTO IDROGEOLOGICO
DELLE AREE A VALLE DEL CENTRO ABITATO

PROGETTO ESECUTIVO

I° STRALCIO FUNZIONALE

DESCRIZIONE ELABORATO:

Calcolo statico tombino

LOCALITA' VADORICCI

PROGRESSIVO

CODICE

15

R.1.5

SCALA:

-

RTP PROGETTAZIONE:

General Engineering SRL (capogruppo mandatario)

Ing. Carlo Camilleri (mandante)

Ing. Antonio D'Andrea (mandante)

Ing. Giandonato D'Andrea (mandante)

Arch. Viviana Solla (mandante)

Geologo Dott. Angelo Monaco (mandante)

DATA	REV.	DESCRIZIONE DELLA REVISIONE	RESPONSABILE REVISIONE
GENNAIO 2018	0	PRIMA EMISSIONE	
FEBBRAIO 2020	1	SECONDA EMISSIONE	

Sommario

Introduzione.....	2
Sistemi di riferimento	2
Rotazioni e momenti	2
Normativa di riferimento	2
Unità di misura	3
Geometria.....	3
Elenco vincoli nodi	3
Elenco nodi	3
Elenco materiali	4
Elenco vincoli aste	4
Elenco aste	4
Elenco tipi elementi bidimensionali	5
Elenco elementi bidimensionali	6
Carichi.....	7
Condizioni di carico elementari	7
Elenco peso proprio elementi bidimensionali	7
Elenco carichi elementi bidimensionali Condizione di carico n. 2: Permanenti non strutturali Carichi uniformi	8
Elenco carichi elementi bidimensionali Condizione di carico n. 2: Permanenti non strutturali Carichi idrostatici	8
Elenco carichi elementi bidimensionali Condizione di carico n. 3: Carichi variabili Carichi uniformi	9
Risultati del calcolo.....	10
Parametri di calcolo	10
Figura numero 1: Spettro SLO	12
Figura numero 2: Spettro SLD	12
Figura numero 3: Spettro SLV	13
Spostamenti dei nodi allo stato limite ultimo	16
Reazioni vincolari	21
Tensioni sul terreno	23
Sollecitazioni elementi bidimensionali	24
Criteri di progetto utilizzati.....	41
Pareti	41
Solette/Platee	43
Verifiche e armature solette/platee.....	45
Armatura platea a quota 0.00	46
Armatura soletta a quota 2.50	46
Verifiche e armature pareti.....	47
Figura numero 4: Riferimenti sezione	48
Parete n. 105	48
Parete n. 106	48

Introduzione

Sistemi di riferimento

Le coordinate, i carichi concentrati, i cedimenti, le reazioni vincolari e gli spostamenti dei NODI sono riferiti ad una terna destra cartesiana globale con l'asse Z verticale rivolto verso l'alto.

I carichi in coordinate locali e le sollecitazioni delle ASTE sono riferite ad una terna destra cartesiana locale così definita:

- origine nel nodo iniziale dell'asta;
- asse X coincidente con l'asse dell'asta e con verso dal nodo iniziale al nodo finale;
- immaginando la trave a sezione rettangolare l'asse Y è parallelo alla base e l'asse Z è parallelo all'altezza. La rotazione dell'asta comporta quindi una rotazione di tutta la terna locale.

Si può immaginare la terna locale di un'asta comunque disposta nello spazio come derivante da quella globale dopo una serie di trasformazioni:

- una rotazione intorno all'asse Z che porti l'asse X a coincidere con la proiezione dell'asse dell'asta sul piano orizzontale;
- una traslazione lungo il nuovo asse X così definito in modo da portare l'origine a coincidere con la proiezione del nodo iniziale dell'asta sul piano orizzontale;
- una traslazione lungo l'asse Z che porti l'origine a coincidere con il nodo iniziale dell'asta;
- una rotazione intorno all'asse Y così definito che porti l'asse X a coincidere con l'asse dell'asta;
- una rotazione intorno all'asse X così definito pari alla rotazione dell'asta.

In pratica le travi prive di rotazione avranno sempre l'asse Z rivolto verso l'alto e l'asse Y nel piano del solaio, mentre i pilastri privi di rotazione avranno l'asse Y parallelo all'asse Y globale e l'asse Z parallelo ma controverso all'asse X globale. Da notare quindi che per i pilastri la "base" è il lato parallelo a Y.

Le sollecitazioni ed i carichi in coordinate locali negli ELEMENTI BIDIMENSIONALI e nei MURI sono riferiti ad una terna destra cartesiana locale così definita:

- origine nel primo nodo dell'elemento;
- asse X coincidente con la congiungente il primo ed il secondo nodo dell'elemento;
- asse Y definito come prodotto vettoriale fra il versore dell'asse X e il versore della congiungente il primo e il quarto nodo. Asse Z a formare con gli altri due una terna destrorsa.

Praticamente un elemento verticale con l'asse X locale coincidente con l'asse X globale ha anche gli altri assi locali coincidenti con quelli globali.

Rotazioni e momenti

Seguendo il principio adottato per tutti i carichi che sono positivi se CONTROVERSI agli assi, anche i momenti concentrati e le rotazioni impresse in coordinate globali risultano positivi se CONTROVERSI al segno positivo delle rotazioni. Il segno positivo dei momenti e delle rotazioni è quello orario per l'osservatore posto nell'origine: X ruota su Y, Y ruota su Z, Z ruota su X. In pratica è sufficiente adottare la regola della mano destra: col pollice rivolto nella direzione dell'asse, la rotazione che porta a chiudere il palmo della mano corrisponde al segno positivo.

Normativa di riferimento

La normativa di riferimento è la seguente:

- Legge n. 64 del 2/2/1974 - Provvedimenti per le costruzioni con particolari prescrizioni per le zone sismiche.
- D.M. del 24/1/1986 - Norme tecniche relative alle costruzioni sismiche.
- Legge n. 1086 del 5/11/1971 - Norme per la disciplina delle opere di conglomerato cementizio armato, normale e precompresso ed a struttura metallica.
- D.M. del 14/2/1992 - Norme tecniche per l'esecuzione delle opere in c.a. normale e precompresso e per le strutture metalliche.
- D.M. del 9/1/1996 - Norme tecniche per l'esecuzione delle opere in c.a. normale e precompresso e per le strutture metalliche.
- D.M. del 16/1/1996 - Norme tecniche per le costruzioni in zone sismiche.
- Circolare n. 21745 del 30/7/1981 - Legge n. 219 del 14/5/1981 - Art. 10 - Istruzioni relative al rafforzamento degli edifici in muratura danneggiati dal sisma.
- Regione Autonoma Friuli Venezia Giulia - Legge Regionale n. 30 del 20/6/1977 - Documentazione tecnica per la progettazione e direzione delle opere di riparazione degli edifici - Documento Tecnico n. 2 - Raccomandazioni per la riparazione strutturale degli edifici in muratura.
- D.M. del 20/11/1987 - Norme Tecniche per la progettazione, esecuzione e collaudo degli edifici in muratura e per il loro consolidamento.
- Norme Tecniche C.N.R. n. 10011-85 del 18/4/1985 - Costruzioni di acciaio - Istruzioni per il calcolo, l'esecuzione, il collaudo e la manutenzione.
- Norme Tecniche C.N.R. n. 10025-84 del 14/12/1984 - Istruzioni per il progetto, l'esecuzione ed il controllo delle strutture prefabbricate in conglomerato cementizio e per le strutture costruite con sistemi industrializzati di acciaio

Relazione di calcolo

- Istruzioni per il calcolo, l'esecuzione, il collaudo e la manutenzione.
- Circolare n. 65 del 10/4/1997 - Istruzioni per l'applicazione delle "Norme tecniche per le costruzioni in zone sismiche" di cui al D.M. del 16/1/1996.
- Eurocodice 5 - Progettazione delle strutture di legno.
- DIN 1052 - Metodi di verifica per il legno.
- D.M. del 14/1/2008 - Norme tecniche per le costruzioni. Le verifiche degli elementi di fondazione sono eseguite utilizzando l'Approccio 2.
- Circolare n. 617 del 2/2/2009 - Istruzioni per l'applicazione delle "Nuove norme tecniche per le costruzioni" di cui al D.M. del 14/1/2008.
- Documento Tecnico CNR-DT 200 R1/2012 - Istruzioni per la Progettazione, l'Esecuzione ed il Controllo di Interventi di Consolidamento Statico mediante l'utilizzo di Compositi Fibrorinforzati.
- Eurocodice 3 - Progettazione delle strutture in acciaio.

Unità di misura

Le unità di misura adottate sono le seguenti:

- lunghezze : m
- forze : daN
- masse : kg
- temperature : gradi centigradi
- angoli : gradi sessadecimali o radianti

Geometria

Elenco vincoli nodi

Simbologia

Vn = Numero del vincolo nodo
Comm. = Commento
Sx = Spostamento in dir. X (L=libero, B=bloccato, E=elastico)
Sy = Spostamento in dir. Y (L=libero, B=bloccato, E=elastico)
Sz = Spostamento in dir. Z (L=libero, B=bloccato, E=elastico)
Rx = Rotazione intorno all'asse X (L=libera, B=bloccata, E=elastica)
Ry = Rotazione intorno all'asse Y (L=libera, B=bloccata, E=elastica)
Rz = Rotazione intorno all'asse Z (L=libera, B=bloccata, E=elastica)
RL = Rotazione libera
Ly = Lunghezza (dir. Y locale)
Lz = Larghezza (dir. Z locale)
Kt = Coeff. di sottofondo su suolo elastico alla Winkler

Vn	Comm.	Sx	Sy	Sz	Rx	Ry	Rz	RL	Ly <m>	Lz <m>	Kt <daN/cmc>
1	Libero	L	L	L	L	L	L				

Vn	Comm.	Sx	Sy	Sz	Rx	Ry	Rz	RL	Ly <m>	Lz <m>	Kt <daN/cmc>
3	El. sew 110001	B	B	L	L	L	B				

Elenco nodi

Simbologia

Nodo = Numero del nodo
X = Coordinata X del nodo
Y = Coordinata Y del nodo
Z = Coordinata Z del nodo
Imp. = Numero dell'impalcato
Vn = Numero del vincolo nodo

Nodo	X <m>	Y <m>	Z <m>	Imp.	Vn
-182	12	3.2	2.5	1	1
-178	8	3.2	2.5	1	1
-174	4	3.2	2.5	1	1
-170	0	3.2	2.5	1	1
-166	9	2.4	2.5	1	1
-162	5	2.4	2.5	1	1
-158	1	2.4	2.5	1	1
-154	10	1.6	2.5	1	1
-150	6	1.6	2.5	1	1
-146	2	1.6	2.5	1	1
-142	11	0.8	2.5	1	1
-138	7	0.8	2.5	1	1
-134	3	0.8	2.5	1	1
-130	12	0	2.5	1	1
-126	8	0	2.5	1	1
-122	4	0	2.5	1	1
-118	0	0	2.5	1	1

Nodo	X <m>	Y <m>	Z <m>	Imp.	Vn
-181	11	3.2	2.5	1	1
-177	7	3.2	2.5	1	1
-173	3	3.2	2.5	1	1
-169	12	2.4	2.5	1	1
-165	8	2.4	2.5	1	1
-161	4	2.4	2.5	1	1
-157	0	2.4	2.5	1	1
-153	9	1.6	2.5	1	1
-149	5	1.6	2.5	1	1
-145	1	1.6	2.5	1	1
-141	10	0.8	2.5	1	1
-137	6	0.8	2.5	1	1
-133	2	0.8	2.5	1	1
-129	11	0	2.5	1	1
-125	7	0	2.5	1	1
-121	3	0	2.5	1	1
-117	12	3.2	1.67	0	1

Nodo	X <m>	Y <m>	Z <m>	Imp.	Vn
-180	10	3.2	2.5	1	1
-176	6	3.2	2.5	1	1
-172	2	3.2	2.5	1	1
-168	11	2.4	2.5	1	1
-164	7	2.4	2.5	1	1
-160	3	2.4	2.5	1	1
-156	12	1.6	2.5	1	1
-152	8	1.6	2.5	1	1
-148	4	1.6	2.5	1	1
-144	0	1.6	2.5	1	1
-140	9	0.8	2.5	1	1
-136	5	0.8	2.5	1	1
-132	1	0.8	2.5	1	1
-128	10	0	2.5	1	1
-124	6	0	2.5	1	1
-120	2	0	2.5	1	1
-116	11	3.2	1.67	0	1

Nodo	X <m>	Y <m>	Z <m>	Imp.	Vn
-179	9	3.2	2.5	1	1
-175	5	3.2	2.5	1	1
-171	1	3.2	2.5	1	1
-167	10	2.4	2.5	1	1
-163	6	2.4	2.5	1	1
-159	2	2.4	2.5	1	1
-155	11	1.6	2.5	1	1
-151	7	1.6	2.5	1	1
-147	3	1.6	2.5	1	1
-143	12	0.8	2.5	1	1
-139	8	0.8	2.5	1	1
-135	4	0.8	2.5	1	1
-131	0	0.8	2.5	1	1
-127	9	0	2.5	1	1
-123	5	0	2.5	1	1
-119	1	0	2.5	1	1
-115	10	3.2	1.67	0	1

Relazione di calcolo

-114	9	3.2	1.67	0	1	-113	8	3.2	1.67	0	1	-112	7	3.2	1.67	0	1	-111	6	3.2	1.67	0	1
-110	5	3.2	1.67	0	1	-109	4	3.2	1.67	0	1	-108	3	3.2	1.67	0	1	-107	2	3.2	1.67	0	1
-106	1	3.2	1.67	0	1	-105	0	3.2	1.67	0	1	-104	12	0	1.67	0	1	-103	11	0	1.67	0	1
-102	10	0	1.67	0	1	-101	9	0	1.67	0	1	-100	8	0	1.67	0	1	-99	7	0	1.67	0	1
-98	6	0	1.67	0	1	-97	5	0	1.67	0	1	-96	4	0	1.67	0	1	-95	3	0	1.67	0	1
-94	2	0	1.67	0	1	-93	1	0	1.67	0	1	-92	0	0	1.67	0	1	-91	12	3.2	0.83	0	1
-90	11	3.2	0.83	0	1	-89	10	3.2	0.83	0	1	-88	9	3.2	0.83	0	1	-87	8	3.2	0.83	0	1
-86	7	3.2	0.83	0	1	-85	6	3.2	0.83	0	1	-84	5	3.2	0.83	0	1	-83	4	3.2	0.83	0	1
-82	3	3.2	0.83	0	1	-81	2	3.2	0.83	0	1	-80	1	3.2	0.83	0	1	-79	0	3.2	0.83	0	1
-78	12	0	0.83	0	1	-77	11	0	0.83	0	1	-76	10	0	0.83	0	1	-75	9	0	0.83	0	1
-74	8	0	0.83	0	1	-73	7	0	0.83	0	1	-72	6	0	0.83	0	1	-71	5	0	0.83	0	1
-70	4	0	0.83	0	1	-69	3	0	0.83	0	1	-68	2	0	0.83	0	1	-67	1	0	0.83	0	1
-66	0	0	0.83	0	1	-65	12	3.2	0	0	3	-64	11	3.2	0	0	3	-63	10	3.2	0	0	3
-62	9	3.2	0	0	3	-61	8	3.2	0	0	3	-60	7	3.2	0	0	3	-59	6	3.2	0	0	3
-58	5	3.2	0	0	3	-57	4	3.2	0	0	3	-56	3	3.2	0	0	3	-55	2	3.2	0	0	3
-54	1	3.2	0	0	3	-53	0	3.2	0	0	3	-52	12	2.4	0	0	3	-51	11	2.4	0	0	3
-50	10	2.4	0	0	3	-49	9	2.4	0	0	3	-48	8	2.4	0	0	3	-47	7	2.4	0	0	3
-46	6	2.4	0	0	3	-45	5	2.4	0	0	3	-44	4	2.4	0	0	3	-43	3	2.4	0	0	3
-42	2	2.4	0	0	3	-41	1	2.4	0	0	3	-40	0	2.4	0	0	3	-39	12	1.6	0	0	3
-38	11	1.6	0	0	3	-37	10	1.6	0	0	3	-36	9	1.6	0	0	3	-35	8	1.6	0	0	3
-34	7	1.6	0	0	3	-33	6	1.6	0	0	3	-32	5	1.6	0	0	3	-31	4	1.6	0	0	3
-30	3	1.6	0	0	3	-29	2	1.6	0	0	3	-28	1	1.6	0	0	3	-27	0	1.6	0	0	3
-26	12	0.8	0	0	3	-25	11	0.8	0	0	3	-24	10	0.8	0	0	3	-23	9	0.8	0	0	3
-22	8	0.8	0	0	3	-21	7	0.8	0	0	3	-20	6	0.8	0	0	3	-19	5	0.8	0	0	3
-18	4	0.8	0	0	3	-17	3	0.8	0	0	3	-16	2	0.8	0	0	3	-15	1	0.8	0	0	3
-14	0	0.8	0	0	3	-13	12	0	0	0	3	-12	11	0	0	0	3	-11	10	0	0	0	3
-10	9	0	0	0	3	-9	8	0	0	0	3	-8	7	0	0	0	3	-7	6	0	0	0	3
-6	5	0	0	0	3	-5	4	0	0	0	3	-4	3	0	0	0	3	-3	2	0	0	0	3
-2	1	0	0	0	3	-1	0	0	0	0	3												

Elenco materiali

Simbologia

Mat. =Numero del materiale
Comm. =Commento
P =Peso specifico
E =Modulo elastico
G =Modulo elastico tangenziale
v =Coeff. di Poisson
α =Coeff. di dilatazione termica

Mat.	Comm.	P <daN/mc>	E <daN/cm ^q >	G <daN/cm ^q >	v	α
1	Calcestruzzo	2500	300000	130000	0.1	1.000000E-05

Elenco vincoli aste

Simbologia

Va =Numero del vincolo asta
Comm. =Commento
Tipo =Tipologia
SVI = Definizione di vincolamenti interni
ELA = Vincolo su suolo elastico alla Winkler
BIE-RTC = Biella resistente a trazione e a compressione
BIE-RC = Biella resistente solo a compressione
BIE-RT = Biella resistente solo a trazione
Ni =Sforzo normale nodo iniziale (0=sbloccato, 1=bloccato)
Tyi =Taglio in dir. Y locale nodo iniziale (0=sbloccato, 1=bloccato)
Tzi =Taglio in dir. Z locale nodo iniziale (0=sbloccato, 1=bloccato)
Mxi =Momento intorno all'asse X locale nodo iniziale (0=sbloccato, 1=bloccato)
Myi =Momento intorno all'asse Y locale nodo iniziale (0=sbloccato, 1=bloccato)
Mzi =Momento intorno all'asse Z locale nodo iniziale (0=sbloccato, 1=bloccato)
Nf =Sforzo normale nodo finale (0=sbloccato, 1=bloccato)
Tyf =Taglio in dir. Y locale nodo finale (0=sbloccato, 1=bloccato)
Tzf =Taglio in dir. Z locale nodo finale (0=sbloccato, 1=bloccato)
Mxf =Momento intorno all'asse X locale nodo finale (0=sbloccato, 1=bloccato)
Myf =Momento intorno all'asse Y locale nodo finale (0=sbloccato, 1=bloccato)
Mzf =Momento intorno all'asse Z locale nodo finale (0=sbloccato, 1=bloccato)
Kt =Coeff. di sottofondo su suolo elastico alla Winkler

Va	Comm.	Tipo	Ni	Tyi	Tzi	Mxi	Myi	Mzi	Nf	Tyf	Tzf	Mxf	Myf	Mzf	Kt <daN/cm ^c >
1	Inc+Inc	SVI	1	1	1	1	1	1	1	1	1	1	1	1	

Elenco aste

Simbologia

Asta=Numero dell'asta
N1 =Nodo iniziale
N2 =Nodo finale

Relazione di calcolo

Sez. = Numero della sezione
 Va = Numero del vincolo asta
 Par. = Numero dei parametri aggiuntivi
 Rot. = Rotazione
 FF = Filo fisso
 Dy1 = Scost. filo fisso Y1
 Dy2 = Scost. filo fisso Y2
 Dz1 = Scost. filo fisso Z1
 Dz2 = Scost. filo fisso Z2
 Kt = Coeff. di sottofondo su suolo elastico alla Winkler

Asta	N1	N2	Sez.	Va	Par.	Rot. <grad>	FF	Dy1 <cm>	Dy2 <cm>	Dz1 <cm>	Dz2 <cm>	Kt <daN/cmc>
0	-2	-1		1		0	33	0	0	0	0	
0	-3	-2		1		0	33	0	0	0	0	
0	-4	-3		1		0	33	0	0	0	0	
0	-119	-118		1		0	33	0	0	0	0	
0	-5	-4		1		0	33	0	0	0	0	
0	-120	-119		1		0	33	0	0	0	0	
0	-53	-54		1		0	33	0	0	0	0	
0	-6	-5		1		0	33	0	0	0	0	
0	-121	-120		1		0	33	0	0	0	0	
0	-7	-6		1		0	33	0	0	0	0	
0	-122	-121		1		0	33	0	0	0	0	
0	-123	-122		1		0	33	0	0	0	0	
0	-54	-55		1		0	33	0	0	0	0	
0	-55	-56		1		0	33	0	0	0	0	
0	-170	-171		1		0	33	0	0	0	0	
0	-8	-7		1		0	33	0	0	0	0	
0	-124	-123		1		0	33	0	0	0	0	
0	-56	-57		1		0	33	0	0	0	0	
0	-171	-172		1		0	33	0	0	0	0	
0	-57	-58		1		0	33	0	0	0	0	
0	-172	-173		1		0	33	0	0	0	0	
0	-173	-174		1		0	33	0	0	0	0	
0	-9	-8		1		0	33	0	0	0	0	
0	-10	-9		1		0	33	0	0	0	0	
0	-125	-124		1		0	33	0	0	0	0	
0	-11	-10		1		0	33	0	0	0	0	
0	-126	-125		1		0	33	0	0	0	0	
0	-58	-59		1		0	33	0	0	0	0	
0	-174	-175		1		0	33	0	0	0	0	
0	-127	-126		1		0	33	0	0	0	0	
0	-176	-177		1		0	33	0	0	0	0	
0	-12	-11		1		0	33	0	0	0	0	
0	-128	-127		1		0	33	0	0	0	0	
0	-59	-60		1		0	33	0	0	0	0	
0	-129	-128		1		0	33	0	0	0	0	
0	-60	-61		1		0	33	0	0	0	0	
0	-175	-176		1		0	33	0	0	0	0	
0	-13	-12		1		0	33	0	0	0	0	
0	-130	-129		1		0	33	0	0	0	0	
0	-61	-62		1		0	33	0	0	0	0	
0	-62	-63		1		0	33	0	0	0	0	
0	-177	-178		1		0	33	0	0	0	0	
0	-63	-64		1		0	33	0	0	0	0	
0	-178	-179		1		0	33	0	0	0	0	
0	-64	-65		1		0	33	0	0	0	0	
0	-179	-180		1		0	33	0	0	0	0	
0	-180	-181		1		0	33	0	0	0	0	
0	-181	-182		1		0	33	0	0	0	0	

Elenco tipi elementi bidimensionali

Simbologia

Tb = Numero del tipo muro/elemento bidimensionale
 Comm. = Commento
 Tipo = Tipologia
 F = Membranale e Flessionale
 M = Membranale
 W-RC = Winkler resistente solo a compressione
 W-RTC = Winkler resistente a trazione e a compressione
 Uso = Utilizzo
 G = Generico
 P = Parete
 S = Soletta/Platea
 N = Nucleo
 M = Muratura ordinaria
 L = Pilastro
 MA = Muratura armata

Relazione di calcolo

X = Pannello X-LAM
 Mat. = Numero del materiale
 Crit. = Numero del criterio di progetto
 Spess. = Spessore
 Kt = Coeff. di sottofondo su suolo elastico alla Winkler

Tb	Comm.	Tipo	Uso	Mat.	Crit.	Spess. <cm>	Kt <daN/cmc>
1	Pareti	F	P		1	30	
2	Platea	W-RTC	S		1	50	f(strat.)
3	Soletta copertura	F	S		2	50	

Elenco elementi bidimensionali

Simbologia

Bid. = Numero del muro/elemento bidimensionale
 Tb = Numero del tipo muro/elemento bidimensionale
 FF = Filo fisso
 Dy1 = Scost. filo fisso Y1
 Dy2 = Scost. filo fisso Y2
 Kt = Coeff. di sottofondo su suolo elastico alla Winkler
 NN = Nodi

Bid.	Tb	FF	Dy1 <cm>	Dy2 <cm>	Kt <daN/cmc>	NN	Bid.	Tb	FF	Dy1 <cm>	Dy2 <cm>	Kt <daN/cmc>	NN
105	133	0	0	0		-53 -54 -80 -79	105	133	0	0	0		-58 -59 -85 -84
105	133	0	0	0		-59 -60 -86 -85	105	133	0	0	0		-60 -61 -87 -86
105	133	0	0	0		-61 -62 -88 -87	105	133	0	0	0		-62 -63 -89 -88
105	133	0	0	0		-63 -64 -90 -89	105	133	0	0	0		-64 -65 -91 -90
105	133	0	0	0		-79 -80 -106 -105	105	133	0	0	0		-80 -81 -107 -106
105	133	0	0	0		-81 -82 -108 -107	105	133	0	0	0		-82 -83 -109 -108
105	133	0	0	0		-83 -84 -110 -109	105	133	0	0	0		-84 -85 -111 -110
105	133	0	0	0		-85 -86 -112 -111	105	133	0	0	0		-86 -87 -113 -112
105	133	0	0	0		-87 -88 -114 -113	105	133	0	0	0		-88 -89 -115 -114
105	133	0	0	0		-89 -90 -116 -115	105	133	0	0	0		-90 -91 -117 -116
105	133	0	0	0		-105 -106 -171 -170	105	133	0	0	0		-106 -107 -172 -171
105	133	0	0	0		-107 -108 -173 -172	105	133	0	0	0		-108 -109 -174 -173
105	133	0	0	0		-109 -110 -175 -174	105	133	0	0	0		-110 -111 -176 -175
105	133	0	0	0		-111 -112 -177 -176	105	133	0	0	0		-112 -113 -178 -177
105	133	0	0	0		-113 -114 -179 -178	105	133	0	0	0		-114 -115 -180 -179
105	133	0	0	0		-115 -116 -181 -180	105	133	0	0	0		-116 -117 -182 -181
105	133	0	0	0		-57 -58 -84 -83	105	133	0	0	0		-55 -56 -82 -81
105	133	0	0	0		-54 -55 -81 -80	105	133	0	0	0		-56 -57 -83 -82
106	133	0	0	0		-98 -97 -123 -124	106	133	0	0	0		-94 -93 -119 -120
106	133	0	0	0		-93 -92 -118 -119	106	133	0	0	0		-97 -96 -122 -123
106	133	0	0	0		-96 -95 -121 -122	106	133	0	0	0		-95 -94 -120 -121
106	133	0	0	0		-99 -98 -124 -125	106	133	0	0	0		-13 -12 -77 -78
106	133	0	0	0		-70 -69 -95 -96	106	133	0	0	0		-69 -68 -94 -95
106	133	0	0	0		-12 -11 -76 -77	106	133	0	0	0		-11 -10 -75 -76
106	133	0	0	0		-10 -9 -74 -75	106	133	0	0	0		-9 -8 -73 -74
106	133	0	0	0		-8 -7 -72 -73	106	133	0	0	0		-7 -6 -71 -72
106	133	0	0	0		-6 -5 -70 -71	106	133	0	0	0		-5 -4 -69 -70
106	133	0	0	0		-4 -3 -68 -69	106	133	0	0	0		-3 -2 -67 -68
106	133	0	0	0		-2 -1 -66 -67	106	133	0	0	0		-78 -77 -103 -104
106	133	0	0	0		-77 -76 -102 -103	106	133	0	0	0		-76 -75 -101 -102
106	133	0	0	0		-75 -74 -100 -101	106	133	0	0	0		-74 -73 -99 -100
106	133	0	0	0		-73 -72 -98 -99	106	133	0	0	0		-72 -71 -97 -98
106	133	0	0	0		-71 -70 -96 -97	106	133	0	0	0		-103 -102 -128 -129
106	133	0	0	0		-102 -101 -127 -128	106	133	0	0	0		-68 -67 -93 -94
106	133	0	0	0		-67 -66 -92 -93	106	133	0	0	0		-104 -103 -129 -130
106	133	0	0	0		-101 -100 -126 -127	106	133	0	0	0		-100 -99 -125 -126
403	233	0	0	0.19		-65 -52 -51 -64	403	233	0	0	0.19		-50 -37 -36 -49
403	233	0	0	0.19		-30 -17 -16 -29	403	233	0	0	0.19		-17 -4 -3 -16
403	233	0	0	0.19		-55 -42 -41 -54	403	233	0	0	0.19		-42 -29 -28 -41
403	233	0	0	0.19		-29 -16 -15 -28	403	233	0	0	0.19		-16 -3 -2 -15
403	233	0	0	0.19		-54 -41 -40 -53	403	233	0	0	0.19		-41 -28 -27 -40
403	233	0	0	0.19		-28 -15 -14 -27	403	233	0	0	0.19		-15 -2 -1 -14
403	233	0	0	0.19		-38 -25 -24 -37	403	233	0	0	0.19		-25 -12 -11 -24
403	233	0	0	0.19		-63 -50 -49 -62	403	233	0	0	0.19		-32 -19 -18 -31
403	233	0	0	0.19		-37 -24 -23 -36	403	233	0	0	0.19		-24 -11 -10 -23
403	233	0	0	0.19		-62 -49 -48 -61	403	233	0	0	0.19		-49 -36 -35 -48
403	233	0	0	0.19		-36 -23 -22 -35	403	233	0	0	0.19		-23 -10 -9 -22
403	233	0	0	0.19		-61 -48 -47 -60	403	233	0	0	0.19		-48 -35 -34 -47
403	233	0	0	0.19		-35 -22 -21 -34	403	233	0	0	0.19		-22 -9 -8 -21
403	233	0	0	0.19		-60 -47 -46 -59	403	233	0	0	0.19		-47 -34 -33 -46
403	233	0	0	0.19		-34 -21 -20 -33	403	233	0	0	0.19		-21 -8 -7 -20
403	233	0	0	0.19		-59 -46 -45 -58	403	233	0	0	0.19		-46 -33 -32 -45
403	233	0	0	0.19		-33 -20 -19 -32	403	233	0	0	0.19		-20 -7 -6 -19
403	233	0	0	0.19		-58 -45 -44 -57	403	233	0	0	0.19		-45 -32 -31 -44
403	233	0	0	0.19		-18 -5 -4 -17	403	233	0	0	0.19		-19 -6 -5 -18

Relazione di calcolo

403	2	33	0	0	0.19	-57	-44	-43	-56	403	2	33	0	0	0.19	-44	-31	-30	-43
403	2	33	0	0	0.19	-31	-18	-17	-30	403	2	33	0	0	0.19	-26	-13	-12	-25
403	2	33	0	0	0.19	-56	-43	-42	-55	403	2	33	0	0	0.19	-43	-30	-29	-42
403	2	33	0	0	0.19	-52	-39	-38	-51	403	2	33	0	0	0.19	-39	-26	-25	-38
403	2	33	0	0	0.19	-51	-38	-37	-50	403	2	33	0	0	0.19	-64	-51	-50	-63
404	3	33	0	0		-170	-171	-158	-157	404	3	33	0	0		-138	-139	-126	-125
404	3	33	0	0		-139	-140	-127	-126	404	3	33	0	0		-140	-141	-128	-127
404	3	33	0	0		-141	-142	-129	-128	404	3	33	0	0		-142	-143	-130	-129
404	3	33	0	0		-181	-182	-169	-168	404	3	33	0	0		-157	-158	-145	-144
404	3	33	0	0		-158	-159	-146	-145	404	3	33	0	0		-159	-160	-147	-146
404	3	33	0	0		-160	-161	-148	-147	404	3	33	0	0		-161	-162	-149	-148
404	3	33	0	0		-162	-163	-150	-149	404	3	33	0	0		-163	-164	-151	-150
404	3	33	0	0		-164	-165	-152	-151	404	3	33	0	0		-165	-166	-153	-152
404	3	33	0	0		-166	-167	-154	-153	404	3	33	0	0		-167	-168	-155	-154
404	3	33	0	0		-168	-169	-156	-155	404	3	33	0	0		-144	-145	-132	-131
404	3	33	0	0		-145	-146	-133	-132	404	3	33	0	0		-146	-147	-134	-133
404	3	33	0	0		-147	-148	-135	-134	404	3	33	0	0		-148	-149	-136	-135
404	3	33	0	0		-149	-150	-137	-136	404	3	33	0	0		-150	-151	-138	-137
404	3	33	0	0		-151	-152	-139	-138	404	3	33	0	0		-152	-153	-140	-139
404	3	33	0	0		-153	-154	-141	-140	404	3	33	0	0		-154	-155	-142	-141
404	3	33	0	0		-155	-156	-143	-142	404	3	33	0	0		-131	-132	-119	-118
404	3	33	0	0		-132	-133	-120	-119	404	3	33	0	0		-133	-134	-121	-120
404	3	33	0	0		-134	-135	-122	-121	404	3	33	0	0		-135	-136	-123	-122
404	3	33	0	0		-136	-137	-124	-123	404	3	33	0	0		-137	-138	-125	-124
404	3	33	0	0		-171	-172	-159	-158	404	3	33	0	0		-172	-173	-160	-159
404	3	33	0	0		-173	-174	-161	-160	404	3	33	0	0		-174	-175	-162	-161
404	3	33	0	0		-175	-176	-163	-162	404	3	33	0	0		-176	-177	-164	-163
404	3	33	0	0		-177	-178	-165	-164	404	3	33	0	0		-178	-179	-166	-165
404	3	33	0	0		-179	-180	-167	-166	404	3	33	0	0		-180	-181	-168	-167

Carichi

Condizioni di carico elementari

Simbologia

CCE	=Numero della condizione di carico elementare
Comm.	=Commento
Tipo CCE	=Tipo di CCE per calcolo agli stati limite
Sic.	=Contributo alla sicurezza
	F = a favore
	S = a sfavore
	A = ambigua
Var.	=Tipo di variabilità
	B = di base
	I = indipendente
	A = ambigua
Dir.	=Direzione del vento
Tipo	=Tipologia di pressione vento
	M = Massimizzata
	E = Esterna
	I = Interna
Mx	=Moltiplicatore della massa in dir. X
My	=Moltiplicatore della massa in dir. Y
Mz	=Moltiplicatore della massa in dir. Z
Jpx	=Moltiplicatore del momento d'inerzia intorno all'asse X
Jpy	=Moltiplicatore del momento d'inerzia intorno all'asse Y
Jpz	=Moltiplicatore del momento d'inerzia intorno all'asse Z

CCE	Comm.	Tipo CCE	Sic.	Var.	Dir. <grad>	Tipo	Mx	My	Mz	Jpx	Jpy	Jpz
1	Permanenti strutturali	1 D.M. 08 Permanenti strutturali	S	--	--	--	1	1	0	0	0	1
2	Permanenti non strutturali	2 D.M. 08 Permanenti non strutturali	S	--	--	--	1	1	0	0	0	1
3	Carichi variabili	5 D.M. 08 Variabili Categoria C Ambienti suscettibili di affollamento	S	B	--	--	1	1	0	0	0	1

Elenco peso proprio elementi bidimensionali

Simbologia

Tb	=Numero del tipo muro/elemento bidimensionale
Comm.	=Commento
Spess.	=Spessore
Mat.	=Materiale
P	=Peso specifico
PQ	=Peso specifico per unità di superficie

Tb	Comm.	Spess. <cm>	Mat.	P <daN/mc>	PQ <daN/mq>
1	Pareti	30	Calcestruzzo	2500	750
2	Platea	50	Calcestruzzo	2500	1250
3	Soletta copertura	50	Calcestruzzo	2500	1250

Elenco carichi elementi bidimensionali
Condizione di carico n. 2: Permanenti non strutturali
Carichi uniformi

Simbologia

Bid.=Numero del muro/elemento bidimensionale

N1 =Nodo1

N2 =Nodo2

N3 =Nodo3

N4 =Nodo4

T =Tipo di carico

PP = Peso proprio

VE = Vento

M = Manuale

DC =Direzione del carico

G = secondo gli assi globali

L = secondo gli assi locali

Qx =Carico in dir. X

Qy =Carico in dir. Y

Qz =Carico in dir. Z

Bid.	N1	N2	N3	N4	T	DC	Qx <daN/mq>	Qy <daN/mq>	Qz <daN/mq>
404	-170	-171	-158	-157	MG		0	0	1100
404	-139	-140	-127	-126	MG		0	0	1100
404	-141	-142	-129	-128	MG		0	0	1100
404	-181	-182	-169	-168	MG		0	0	1100
404	-158	-159	-146	-145	MG		0	0	1100
404	-160	-161	-148	-147	MG		0	0	1100
404	-162	-163	-150	-149	MG		0	0	1100
404	-164	-165	-152	-151	MG		0	0	1100
404	-166	-167	-154	-153	MG		0	0	1100
404	-168	-169	-156	-155	MG		0	0	1100
404	-145	-146	-133	-132	MG		0	0	1100
404	-147	-148	-135	-134	MG		0	0	1100
404	-149	-150	-137	-136	MG		0	0	1100
404	-151	-152	-139	-138	MG		0	0	1100
404	-153	-154	-141	-140	MG		0	0	1100
404	-155	-156	-143	-142	MG		0	0	1100
404	-132	-133	-120	-119	MG		0	0	1100
404	-134	-135	-122	-121	MG		0	0	1100
404	-136	-137	-124	-123	MG		0	0	1100
404	-171	-172	-159	-158	MG		0	0	1100
404	-173	-174	-161	-160	MG		0	0	1100
404	-175	-176	-163	-162	MG		0	0	1100
404	-177	-178	-165	-164	MG		0	0	1100
404	-179	-180	-167	-166	MG		0	0	1100

Bid.	N1	N2	N3	N4	T	DC	Qx <daN/mq>	Qy <daN/mq>	Qz <daN/mq>
404	-138	-139	-126	-125	MG		0	0	1100
404	-140	-141	-128	-127	MG		0	0	1100
404	-142	-143	-130	-129	MG		0	0	1100
404	-157	-158	-145	-144	MG		0	0	1100
404	-159	-160	-147	-146	MG		0	0	1100
404	-161	-162	-149	-148	MG		0	0	1100
404	-163	-164	-151	-150	MG		0	0	1100
404	-165	-166	-153	-152	MG		0	0	1100
404	-167	-168	-155	-154	MG		0	0	1100
404	-144	-145	-132	-131	MG		0	0	1100
404	-146	-147	-134	-133	MG		0	0	1100
404	-148	-149	-136	-135	MG		0	0	1100
404	-150	-151	-138	-137	MG		0	0	1100
404	-152	-153	-140	-139	MG		0	0	1100
404	-154	-155	-142	-141	MG		0	0	1100
404	-131	-132	-119	-118	MG		0	0	1100
404	-133	-134	-121	-120	MG		0	0	1100
404	-135	-136	-123	-122	MG		0	0	1100
404	-137	-138	-125	-124	MG		0	0	1100
404	-172	-173	-160	-159	MG		0	0	1100
404	-174	-175	-162	-161	MG		0	0	1100
404	-176	-177	-164	-163	MG		0	0	1100
404	-178	-179	-166	-165	MG		0	0	1100
404	-180	-181	-168	-167	MG		0	0	1100

Elenco carichi elementi bidimensionali
Condizione di carico n. 2: Permanenti non strutturali
Carichi idrostatici

Simbologia

Bid.=Numero del muro/elemento bidimensionale

N1 =Nodo1

N2 =Nodo2

N3 =Nodo3

N4 =Nodo4

Zi =Coordinata Z globale d'inizio carico

QYi =Componente iniziale del carico in direzione Y locale dell'elemento bidimensionale

MY =Coordinata Z globale di fine carico

QYf =Componente finale del carico in direzione Y locale dell'elemento bidimensionale

Bid.	N1	N2	N3	N4	Zi <m>	QYi <daN/m>	MY <m>	QYf <daN/m>
105	-53	-54	-80	-79	0	1020	2.5	0
105	-59	-60	-86	-85	0	1020	2.5	0
105	-61	-62	-88	-87	0	1020	2.5	0
105	-63	-64	-90	-89	0	1020	2.5	0
105	-79	-80	-106	-105	0	1020	2.5	0
105	-81	-82	-108	-107	0	1020	2.5	0
105	-83	-84	-110	-109	0	1020	2.5	0
105	-85	-86	-112	-111	0	1020	2.5	0
105	-87	-88	-114	-113	0	1020	2.5	0
105	-89	-90	-116	-115	0	1020	2.5	0
105	-105	-106	-171	-170	0	1020	2.5	0

Bid.	N1	N2	N3	N4	Zi <m>	QYi <daN/m>	MY <m>	QYf <daN/m>
105	-58	-59	-85	-84	0	1020	2.5	0
105	-60	-61	-87	-86	0	1020	2.5	0
105	-62	-63	-89	-88	0	1020	2.5	0
105	-64	-65	-91	-90	0	1020	2.5	0
105	-80	-81	-107	-106	0	1020	2.5	0
105	-82	-83	-109	-108	0	1020	2.5	0
105	-84	-85	-111	-110	0	1020	2.5	0
105	-86	-87	-113	-112	0	1020	2.5	0
105	-88	-89	-115	-114	0	1020	2.5	0
105	-90	-91	-117	-116	0	1020	2.5	0
105	-106	-107	-172	-171	0	1020	2.5	0

Relazione di calcolo

105	-107	-108	-173	-172	0	1020	2.5	0	105	-108	-109	-174	-173	0	1020	2.5	0
105	-109	-110	-175	-174	0	1020	2.5	0	105	-110	-111	-176	-175	0	1020	2.5	0
105	-111	-112	-177	-176	0	1020	2.5	0	105	-112	-113	-178	-177	0	1020	2.5	0
105	-113	-114	-179	-178	0	1020	2.5	0	105	-114	-115	-180	-179	0	1020	2.5	0
105	-115	-116	-181	-180	0	1020	2.5	0	105	-116	-117	-182	-181	0	1020	2.5	0
105	-57	-58	-84	-83	0	1020	2.5	0	105	-55	-56	-82	-81	0	1020	2.5	0
105	-54	-55	-81	-80	0	1020	2.5	0	105	-56	-57	-83	-82	0	1020	2.5	0
106	-98	-97	-123	-124	0	1020	2.5	0	106	-94	-93	-119	-120	0	1020	2.5	0
106	-93	-92	-118	-119	0	1020	2.5	0	106	-97	-96	-122	-123	0	1020	2.5	0
106	-96	-95	-121	-122	0	1020	2.5	0	106	-95	-94	-120	-121	0	1020	2.5	0
106	-99	-98	-124	-125	0	1020	2.5	0	106	-13	-12	-77	-78	0	1020	2.5	0
106	-70	-69	-95	-96	0	1020	2.5	0	106	-69	-68	-94	-95	0	1020	2.5	0
106	-12	-11	-76	-77	0	1020	2.5	0	106	-11	-10	-75	-76	0	1020	2.5	0
106	-10	-9	-74	-75	0	1020	2.5	0	106	-9	-8	-73	-74	0	1020	2.5	0
106	-8	-7	-72	-73	0	1020	2.5	0	106	-7	-6	-71	-72	0	1020	2.5	0
106	-6	-5	-70	-71	0	1020	2.5	0	106	-5	-4	-69	-70	0	1020	2.5	0
106	-4	-3	-68	-69	0	1020	2.5	0	106	-3	-2	-67	-68	0	1020	2.5	0
106	-2	-1	-66	-67	0	1020	2.5	0	106	-78	-77	-103	-104	0	1020	2.5	0
106	-77	-76	-102	-103	0	1020	2.5	0	106	-76	-75	-101	-102	0	1020	2.5	0
106	-75	-74	-100	-101	0	1020	2.5	0	106	-74	-73	-99	-100	0	1020	2.5	0
106	-73	-72	-98	-99	0	1020	2.5	0	106	-72	-71	-97	-98	0	1020	2.5	0
106	-71	-70	-96	-97	0	1020	2.5	0	106	-103	-102	-128	-129	0	1020	2.5	0
106	-102	-101	-127	-128	0	1020	2.5	0	106	-68	-67	-93	-94	0	1020	2.5	0
106	-67	-66	-92	-93	0	1020	2.5	0	106	-104	-103	-129	-130	0	1020	2.5	0
106	-101	-100	-126	-127	0	1020	2.5	0	106	-100	-99	-125	-126	0	1020	2.5	0

Elenco carichi elementi bidimensionali

Condizione di carico n. 3: Carichi variabili

Carichi uniformi

Bid.	N1	N2	N3	N4	TDC	Qx <daN/mq>	Qy <daN/mq>	Qz <daN/mq>	Bid.	N1	N2	N3	N4	TDC	Qx <daN/mq>	Qy <daN/mq>	Qz <daN/mq>
403	-65	-52	-51	-64	MG	0	0	1500	403	-50	-37	-36	-49	MG	0	0	1500
403	-30	-17	-16	-29	MG	0	0	1500	403	-17	-4	-3	-16	MG	0	0	1500
403	-55	-42	-41	-54	MG	0	0	1500	403	-42	-29	-28	-41	MG	0	0	1500
403	-29	-16	-15	-28	MG	0	0	1500	403	-16	-3	-2	-15	MG	0	0	1500
403	-54	-41	-40	-53	MG	0	0	1500	403	-41	-28	-27	-40	MG	0	0	1500
403	-28	-15	-14	-27	MG	0	0	1500	403	-15	-2	-1	-14	MG	0	0	1500
403	-38	-25	-24	-37	MG	0	0	1500	403	-25	-12	-11	-24	MG	0	0	1500
403	-63	-50	-49	-62	MG	0	0	1500	403	-32	-19	-18	-31	MG	0	0	1500
403	-37	-24	-23	-36	MG	0	0	1500	403	-24	-11	-10	-23	MG	0	0	1500
403	-62	-49	-48	-61	MG	0	0	1500	403	-49	-36	-35	-48	MG	0	0	1500
403	-36	-23	-22	-35	MG	0	0	1500	403	-23	-10	-9	-22	MG	0	0	1500
403	-61	-48	-47	-60	MG	0	0	1500	403	-48	-35	-34	-47	MG	0	0	1500
403	-35	-22	-21	-34	MG	0	0	1500	403	-22	-9	-8	-21	MG	0	0	1500
403	-60	-47	-46	-59	MG	0	0	1500	403	-47	-34	-33	-46	MG	0	0	1500
403	-34	-21	-20	-33	MG	0	0	1500	403	-21	-8	-7	-20	MG	0	0	1500
403	-59	-46	-45	-58	MG	0	0	1500	403	-46	-33	-32	-45	MG	0	0	1500
403	-33	-20	-19	-32	MG	0	0	1500	403	-20	-7	-6	-19	MG	0	0	1500
403	-58	-45	-44	-57	MG	0	0	1500	403	-45	-32	-31	-44	MG	0	0	1500
403	-18	-5	-4	-17	MG	0	0	1500	403	-19	-6	-5	-18	MG	0	0	1500
403	-57	-44	-43	-56	MG	0	0	1500	403	-44	-31	-30	-43	MG	0	0	1500
403	-31	-18	-17	-30	MG	0	0	1500	403	-26	-13	-12	-25	MG	0	0	1500
403	-56	-43	-42	-55	MG	0	0	1500	403	-43	-30	-29	-42	MG	0	0	1500
403	-52	-39	-38	-51	MG	0	0	1500	403	-39	-26	-25	-38	MG	0	0	1500
403	-51	-38	-37	-50	MG	0	0	1500	403	-64	-51	-50	-63	MG	0	0	1500
404	-170	-171	-158	-157	MG	0	0	3000	404	-138	-139	-126	-125	MG	0	0	3000
404	-139	-140	-127	-126	MG	0	0	3000	404	-140	-141	-128	-127	MG	0	0	3000
404	-141	-142	-129	-128	MG	0	0	3000	404	-142	-143	-130	-129	MG	0	0	3000
404	-181	-182	-169	-168	MG	0	0	3000	404	-157	-158	-145	-144	MG	0	0	3000
404	-158	-159	-146	-145	MG	0	0	3000	404	-159	-160	-147	-146	MG	0	0	3000
404	-160	-161	-148	-147	MG	0	0	3000	404	-161	-162	-149	-148	MG	0	0	3000
404	-162	-163	-150	-149	MG	0	0	3000	404	-163	-164	-151	-150	MG	0	0	3000
404	-164	-165	-152	-151	MG	0	0	3000	404	-165	-166	-153	-152	MG	0	0	3000
404	-166	-167	-154	-153	MG	0	0	3000	404	-167	-168	-155	-154	MG	0	0	3000
404	-168	-169	-156	-155	MG	0	0	3000	404	-144	-145	-132	-131	MG	0	0	3000
404	-145	-146	-133	-132	MG	0	0	3000	404	-146	-147	-134	-133	MG	0	0	3000
404	-147	-148	-135	-134	MG	0	0	3000	404	-148	-149	-136	-135	MG	0	0	3000
404	-149	-150	-137	-136	MG	0	0	3000	404	-150	-151	-138	-137	MG	0	0	3000
404	-151	-152	-139	-138	MG	0	0	3000	404	-152	-153	-140	-139	MG	0	0	3000
404	-153	-154	-141	-140	MG	0	0	3000	404	-154	-155	-142	-141	MG	0	0	3000
404	-155	-156	-143	-142	MG	0	0	3000	404	-131	-132	-119	-118	MG	0	0	3000
404	-132	-133	-120	-119	MG	0	0	3000	404	-133	-134	-121	-120	MG	0	0	3000
404	-134	-135	-122	-121	MG	0	0	3000	404	-135	-136	-123	-122	MG	0	0	3000
404	-136	-137	-124	-123	MG	0	0	3000	404	-137	-138	-125	-124	MG	0	0	3000
404	-171	-172	-159	-158	MG	0	0	3000	404	-172	-173	-160	-159	MG	0	0	3000
404	-173	-174	-161	-160	MG	0	0	3000	404	-174	-175	-162	-161	MG	0	0	3000
404	-175	-176	-163	-162	MG	0	0	3000	404	-176	-177	-164	-163	MG	0	0	3000
404	-177	-178	-165	-164	MG	0	0	3000	404	-178	-179	-166	-165	MG	0	0	3000

Relazione di calcolo

404	-179	-180	-167	-166	MG	0	0	3000	404	-180	-181	-168	-167	MG	0	0	3000
-----	------	------	------	------	----	---	---	------	-----	------	------	------	------	----	---	---	------

Risultati del calcolo

Parametri di calcolo

La modellazione della struttura e la rielaborazione dei risultati del calcolo sono stati effettuati con: ModeSt ver. 8.14, prodotto da Tecnisoft s.a.s. - Prato

La struttura è stata calcolata utilizzando come solutore agli elementi finiti: Xfinest ver. 2015, prodotto da Ce.A.S. S.r.l. - Milano

Tipo di normativa: stati limite D.M. 08
 Tipo di calcolo: analisi sismica statica
 Vincoli esterni: Considera sempre vincoli assegnati in modellazione
 Schematizzazione piani rigidi: metodo Master-Slave
 Modalità di recupero masse secondarie: trasferire all'impalcato più vicino con modifica XY baricentro

Generazione combinazioni

- Lineari: Sì
 - Valuta spostamenti e non sollecitazioni: No
 - Buckling: No

Opzioni di calcolo

- Sono state considerate infinitamente rigide le zone di connessione fra travi, pilastri ed elementi bidimensionali con una riduzione del 20%
 - Calcolo con offset rigidi dai nodi: No
 - Uniformare i carichi variabili: No
 - Massimizzare i carichi variabili: No
 - Minimo carico da considerare: 0.00 <daN/m>
 - Recupero carichi zone rigide: taglio e momento flettente
 - Modalità di combinazione momento torcente: disaccoppiare le azioni

Opzioni del solutore

- Tipo di elemento bidimensionale: QF46
 - Calcolo sforzo nei nodi: No
 - Trascura deformabilità a taglio delle aste: No
 - Analisi dinamica con metodo di Lanczos: Sì
 - Check sequenza di Sturm: Sì
 - Soluzione matrice con metodo ver. 5.1: No
 - Analisi non lineare con Newton modificato: No
 - Usa formulazione secante per buckling: No
 - Trascura buckling torsionale: No

Dati struttura

- Zona sismica: zona I
 - Sito di costruzione: san bartolomeo in galdo LON. 15.01430 LAT. 41.41160
 Contenuto tra ID reticolo: 30548 30770 30547 30769

Simbologia

TCC=Tipo di combinazione di carico
 SLU = Stato limite ultimo
 SLU S = Stato limite ultimo (azione sismica)
 SLE R = Stato limite d'esercizio, combinazione rara
 SLE F = Stato limite d'esercizio, combinazione frequente
 SLE Q = Stato limite d'esercizio, combinazione quasi permanente
 SLD = Stato limite di danno
 SLV = Stato limite di salvaguardia della vita
 SLC = Stato limite di prevenzione del collasso
 SLO = Stato limite di operatività
 SLU I = Stato limite di resistenza al fuoco
 T_R =Periodo di ritorno <anni>
 A_g =Accelerazione orizzontale massima al sito
 F_O =Valore massimo del fattore di amplificazione dello spettro in accelerazione orizzontale
 T_C^* =Periodo di inizio del tratto a velocità costante dello spettro in accelerazione orizzontale <sec>
 S_s =Coefficiente di amplificazione stratigrafica
 C_c =Coefficiente funzione della categoria del suolo

TCC	T_R	A_g <g>	F_O	T_C^*	S_s	C_c
SLO	30	0.0508	2.42	0.29	1.5	1.58
SLD	50	0.0630	2.48	0.33	1.5	1.51
SLV	475	0.1598	2.59	0.43	1.45	1.39

- Edificio esistente: No
 - Tipo di opera: Opera ordinaria
 - Vita nominale V_N : 50.00
 - Classe d'uso: Classe II

Relazione di calcolo

- Applica semplificazioni per zona 4: No
- SL Esercizio: SLO-Pvr 81.00, SLD-Pvr 63.00
- SL Ultimi: SLV-Pvr 10.00, SLC-Pvr No
- Classe di duttilità: Classe B
- Quota di riferimento: 0.00 <m>
- Altezza della struttura: 2.50 <m>
- Numero piani edificio: 1
- Coefficiente θ : 0.00
- Edificio regolare in altezza: Sì
- Edificio regolare in pianta: No
- Forze orizzontali convenzionali per stati limite non sismici: 1.00%
- Genera stati limite per verifiche di resistenza al fuoco: No

Dati di piano

Simbologia

- Imp. = Numero dell'impalcato
- Lx = Dimensione del piano in dir. X
- Ly = Dimensione del piano in dir. Y
- Ex = Eccentricità in dir. X
- Ey = Eccentricità in dir. Y
- Ea = Eccentricità complessiva

Imp.	Lx <m>	Ly <m>	Ex <m>	Ey <m>	Ea <m>
1	12	3.2	0.6	0.16	0.62

Dati di calcolo

- Categoria del suolo di fondazione: C
- Tipologia edificio: c.a. o prefabbricato a pareti accoppiate
- Coeff. C_1 : 0.05
- Periodo T_1 : 0.09941
- Coeff. λ SLO: 1.00
- Coeff. λ SLD: 1.00
- Coeff. λ SLV: 1.00
- Rapporto di sovraresistenza (α_n/α_1): 1.10
- Valore di riferimento del fattore di struttura (q_0): 3.30
- Fattore riduttivo (K_w): 0.50
- Fattore riduttivo regolarità in altezza (K_R): 1.00
- Fattore di struttura (q): 1.65
- Categoria topografica: T1 - Superficie pianeggiante, pendii e rilievi isolati con inclinazione media $i \leq 15^\circ$
- Coeff. amplificazione topografica S_T : 1.00
- Fattore di struttura per sisma verticale (q_v): 1.50
- Smorzamento spettro: 5.00%

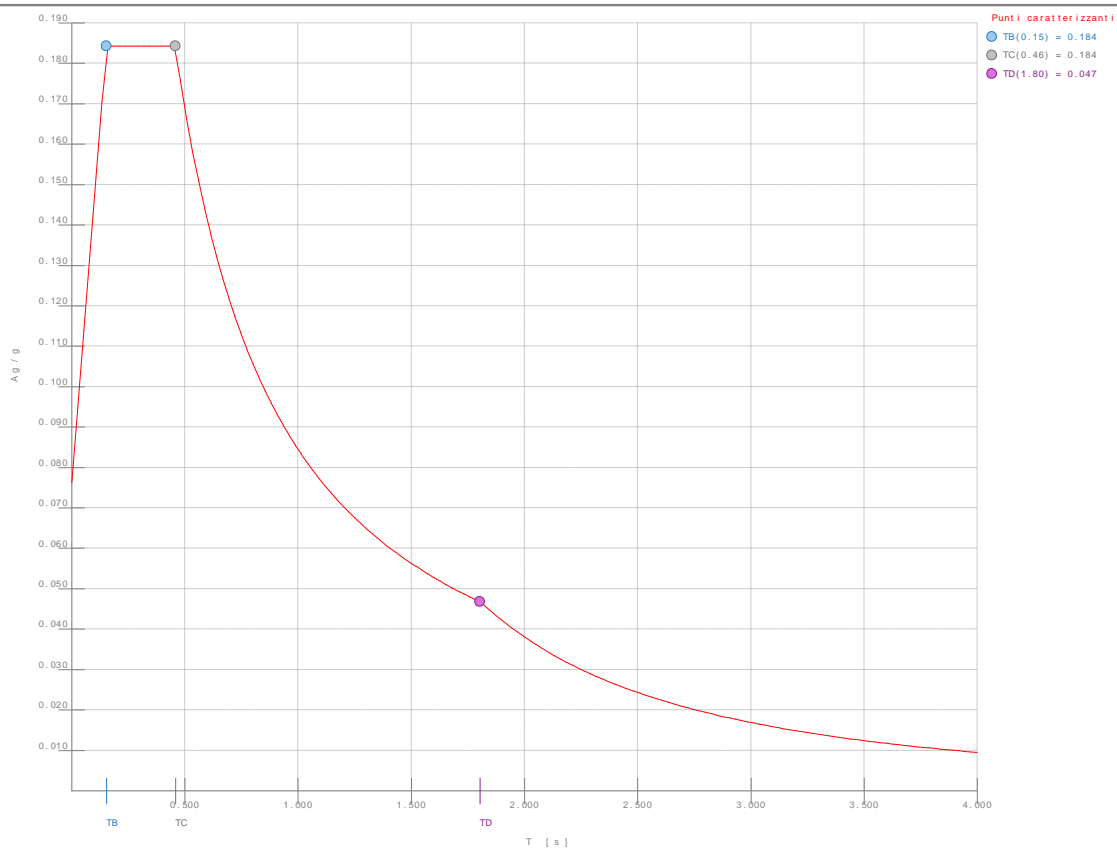


Figura numero 1: Spettro SLO

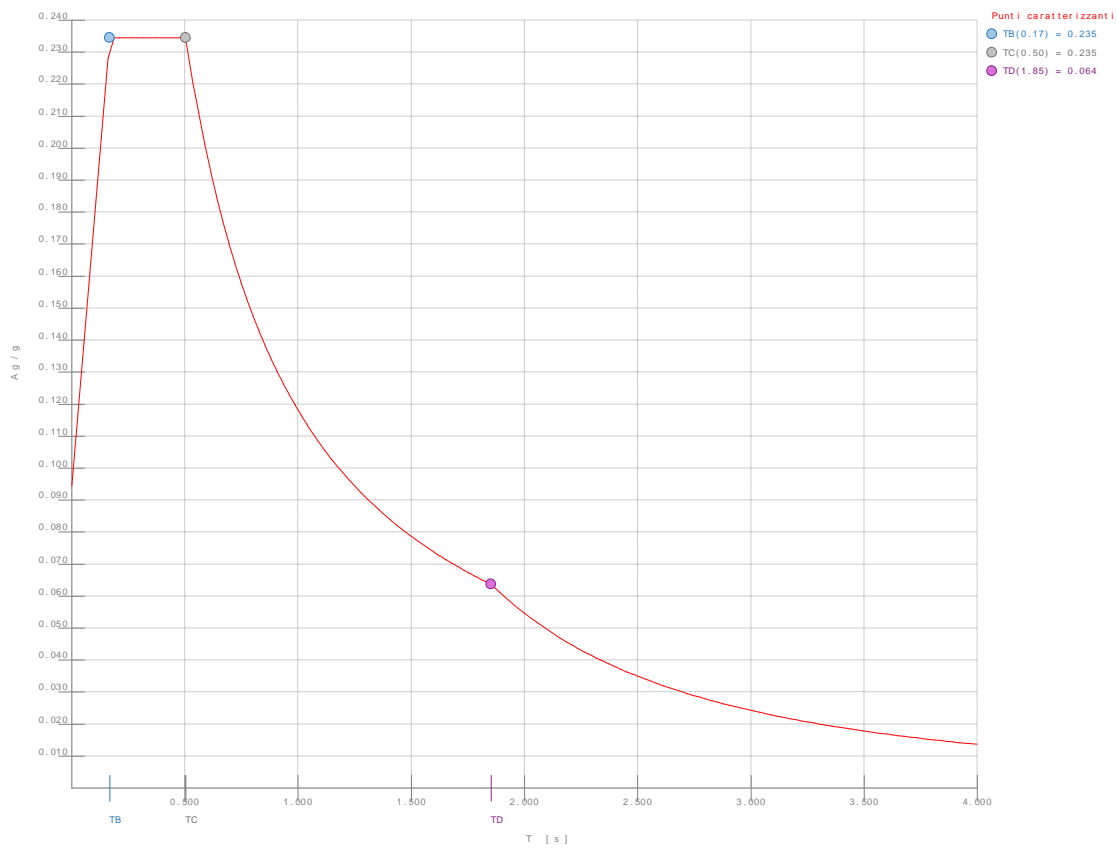


Figura numero 2: Spettro SLD

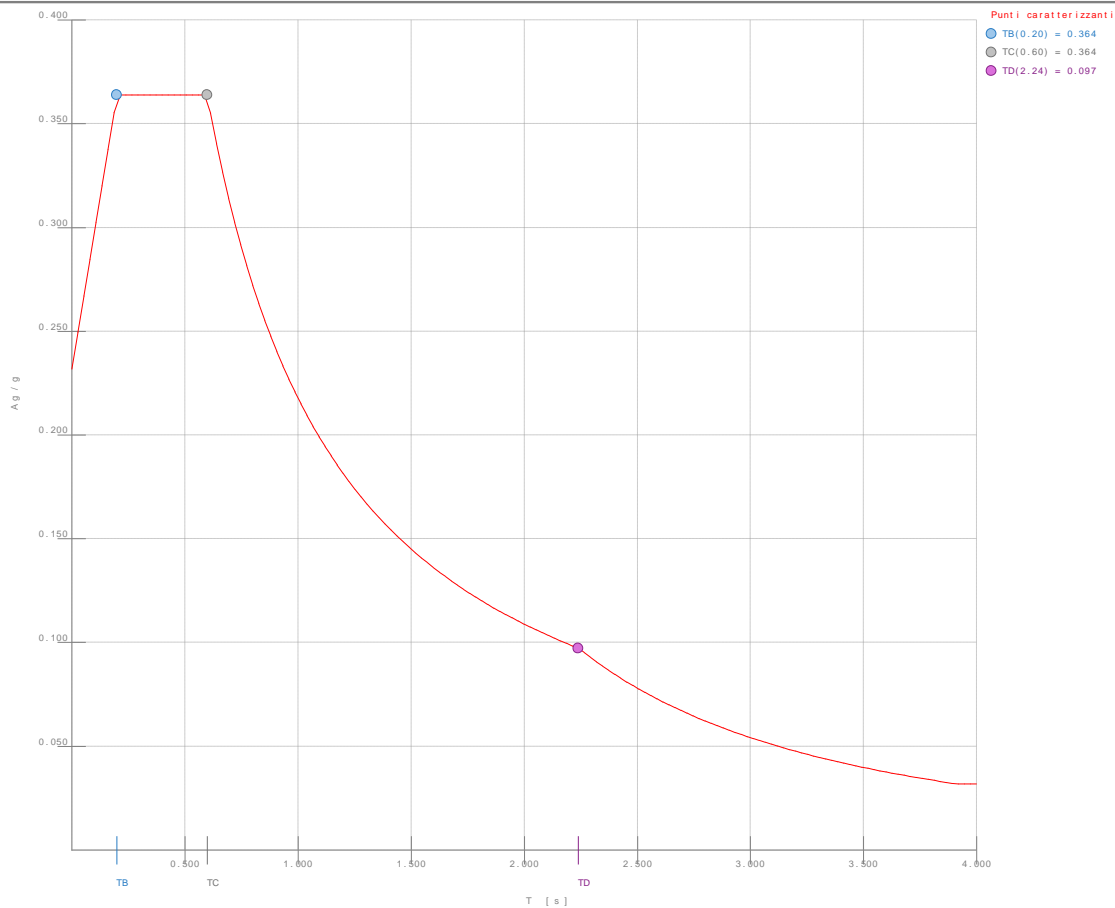


Figura numero 3: Spettro SLV

- Angolo di ingresso del sisma: 0.00 <grad>
- Tipo di combinazione sismica: 30% esteso

Condizioni di carico elementari

Simbologia

- CCE =Numero della condizione di carico elementare
- Comm. =Commento
- Tipo CCE =Tipo di CCE per calcolo agli stati limite
- Sic. =Contributo alla sicurezza
 - F = a favore
 - S = a sfavore
 - A = ambigua
- Var. =Tipo di variabilità
 - B = di base
 - I = indipendente
 - A = ambigua
- Dir. =Direzione del vento
- Tipo =Tipologia di pressione vento
 - M = Massimizzata
 - E = Esterna
 - I = Interna
- Mx =Moltiplicatore della massa in dir. X
- My =Moltiplicatore della massa in dir. Y
- Mz =Moltiplicatore della massa in dir. Z
- Jpx =Moltiplicatore del momento d'inerzia intorno all'asse X
- Jpy =Moltiplicatore del momento d'inerzia intorno all'asse Y
- Jpz =Moltiplicatore del momento d'inerzia intorno all'asse Z

CCE	Comm.	Tipo CCE	Sic.	Var.	Dir. <grad>	Tipo	Mx	My	Mz	Jpx	Jpy	Jpz
1	Permanenti strutturali	1	S	--	--	--	1	1	0	0	0	1
2	Permanenti non strutturali	2	S	--	--	--	1	1	0	0	0	1
3	Carichi variabili	5	S	B	--	--	1	1	0	0	0	1

Elenco tipi CCE definiti

Simbologia

- Tipo CCE =Tipo condizione di carico elementare

Relazione di calcolo

Comm. = Commento
 Tipo = Tipologia
 G = Permanente
 Qv = Variabile vento
 Q = Variabile
 I = Da ignorare
 A = Azione eccezionale
 P = Precompressione
 Durata = Durata del carico
 N = Non definita
 P = Permanente
 L = Lunga
 M = Media
 B = Breve
 I = Istantanea
 $\gamma_{min.}$ = Coeff. $\gamma_{min.}$
 γ_{max} = Coeff. γ_{max}
 ψ_0 = Coeff. ψ_0
 ψ_1 = Coeff. ψ_1
 ψ_2 = Coeff. ψ_2
 $\psi_{0,s}$ = Coeff. ψ_0 sismico (D.M. 96)

Tipo CCE	Comm.	Tipo	Durata	$\gamma_{min.}$	γ_{max}	ψ_0	ψ_1	ψ_2	$\psi_{0,s}$
1	D.M. 08 Permanenti strutturali	G	N	1	1.3				
2	D.M. 08 Permanenti non strutturali	G	N	0	1.5				
5	D.M. 08 Variabili Categoria C Ambienti suscettibili di affollamento	Q	N	0	1.5	0.7	0.7	0.6	0

Ambienti di carico

Simbologia

N = Numero
 Comm. = Commento
 1 = Permanenti strutturali
 2 = Permanenti non strutturali
 3 = Carichi variabili
 F = azioni orizzontali convenzionali
 SLU = Stato limite ultimo
 SLR = Stato limite per combinazioni rare
 SLF = Stato limite per combinazioni frequenti
 SLQ/D = Stato limite per combinazioni quasi permanenti o di danno
 S = Sì
 N = No

N	Comm.	1	2	3	F	SLU	SLR	SLF	SLQ
1	Calcolo sismico	S	S	S	N	S	N	N	N
2	Calcolo statico	S	S	S	N	S	S	S	S

Elenco combinazioni di carico simboliche

Simbologia

CC = Numero della combinazione delle condizioni di carico elementari
 Comm. = Commento
 TCC = Tipo di combinazione di carico
 SLU = Stato limite ultimo
 SLU S = Stato limite ultimo (azione sismica)
 SLE R = Stato limite d'esercizio, combinazione rara
 SLE F = Stato limite d'esercizio, combinazione frequente
 SLE Q = Stato limite d'esercizio, combinazione quasi permanente
 SLD = Stato limite di danno
 SLV = Stato limite di salvaguardia della vita
 SLC = Stato limite di prevenzione del collasso
 SLO = Stato limite di operatività
 SLU I = Stato limite di resistenza al fuoco

CC	Comm.	TCC	1	2	3	F	S
1	Amb. 1 (Sisma)	SLU S	1	1	ψ_2	-----	1
2	Amb. 2 (SLU)	SLU	γ_{max}	γ_{max}	γ_{max}	1	-----
3	Amb. 2 (SLE R)	SLE R	1	1	1	1	-----
4	Amb. 2 (SLE F)	SLE F	1	1	ψ_1	1	-----
5	Amb. 2 (SLE Q)	SLE Q	1	1	ψ_2	1	-----

Genera le combinazioni con un solo carico di tipo variabile come di base: No

Considera sollecitazioni dinamiche con segno dei modi principali: No

Combinazioni delle CCE

Simbologia

CC = Numero della combinazione delle condizioni di carico elementari
 Comm. = Commento
 TCC = Tipo di combinazione di carico

Relazione di calcolo

SLU = Stato limite ultimo
 SLU S = Stato limite ultimo (azione sismica)
 SLE R = Stato limite d'esercizio, combinazione rara
 SLE F = Stato limite d'esercizio, combinazione frequente
 SLE Q = Stato limite d'esercizio, combinazione quasi permanente
 SLD = Stato limite di danno
 SLV = Stato limite di salvaguardia della vita
 SLC = Stato limite di prevenzione del collasso
 SLO = Stato limite di operatività
 SLU I = Stato limite di resistenza al fuoco
 An. = Tipo di analisi
 L = Lineare
 NL = Non lineare
 Bk = Buckling
 S = Sì
 N = No

CC	Comm.	TCC	An.	Bk	1	2	3	F X	F Y	Mt	S X	S Y
1	CC 1 - Amb. 1 (SLU S) S Mt+X+0.3Y	SLV	L	N	1	1	0.6	0	0	1	1	0.3
2	CC 2 - Amb. 1 (SLE) S Mt+X+0.3Y	SLD	L	N	1	1	0.6	0	0	1	1	0.3
3	CC 3 - Amb. 1 (SLE) S Mt+X+0.3Y	SLO	L	N	1	1	0.6	0	0	1	1	0.3
4	CC 4 - Amb. 1 (SLU S) S Mt+X-0.3Y	SLV	L	N	1	1	0.6	0	0	1	1	-0.3
5	CC 5 - Amb. 1 (SLE) S Mt+X-0.3Y	SLD	L	N	1	1	0.6	0	0	1	1	-0.3
6	CC 6 - Amb. 1 (SLE) S Mt+X-0.3Y	SLO	L	N	1	1	0.6	0	0	1	1	-0.3
7	CC 7 - Amb. 1 (SLU S) S Mt-X+0.3Y	SLV	L	N	1	1	0.6	0	0	1	-1	0.3
8	CC 8 - Amb. 1 (SLE) S Mt-X+0.3Y	SLD	L	N	1	1	0.6	0	0	1	-1	0.3
9	CC 9 - Amb. 1 (SLE) S Mt-X+0.3Y	SLO	L	N	1	1	0.6	0	0	1	-1	0.3
10	CC 10 - Amb. 1 (SLU S) S Mt-X-0.3Y	SLV	L	N	1	1	0.6	0	0	1	-1	-0.3
11	CC 11 - Amb. 1 (SLE) S Mt-X-0.3Y	SLD	L	N	1	1	0.6	0	0	1	-1	-0.3
12	CC 12 - Amb. 1 (SLE) S Mt-X-0.3Y	SLO	L	N	1	1	0.6	0	0	1	-1	-0.3
13	CC 13 - Amb. 1 (SLU S) S Mt+0.3X+Y	SLV	L	N	1	1	0.6	0	0	1	0.3	1
14	CC 14 - Amb. 1 (SLE) S Mt+0.3X+Y	SLD	L	N	1	1	0.6	0	0	1	0.3	1
15	CC 15 - Amb. 1 (SLE) S Mt+0.3X+Y	SLO	L	N	1	1	0.6	0	0	1	0.3	1
16	CC 16 - Amb. 1 (SLU S) S Mt-0.3X+Y	SLV	L	N	1	1	0.6	0	0	1	-0.3	1
17	CC 17 - Amb. 1 (SLE) S Mt-0.3X+Y	SLD	L	N	1	1	0.6	0	0	1	-0.3	1
18	CC 18 - Amb. 1 (SLE) S Mt-0.3X+Y	SLO	L	N	1	1	0.6	0	0	1	-0.3	1
19	CC 19 - Amb. 1 (SLU S) S Mt+0.3X-Y	SLV	L	N	1	1	0.6	0	0	1	0.3	-1
20	CC 20 - Amb. 1 (SLE) S Mt+0.3X-Y	SLD	L	N	1	1	0.6	0	0	1	0.3	-1
21	CC 21 - Amb. 1 (SLE) S Mt+0.3X-Y	SLO	L	N	1	1	0.6	0	0	1	0.3	-1
22	CC 22 - Amb. 1 (SLU S) S Mt-0.3X-Y	SLV	L	N	1	1	0.6	0	0	1	-0.3	-1
23	CC 23 - Amb. 1 (SLE) S Mt-0.3X-Y	SLD	L	N	1	1	0.6	0	0	1	-0.3	-1
24	CC 24 - Amb. 1 (SLE) S Mt-0.3X-Y	SLO	L	N	1	1	0.6	0	0	1	-0.3	-1
25	CC 25 - Amb. 1 (SLU S) S -Mt+X+0.3Y	SLV	L	N	1	1	0.6	0	0	-1	1	0.3
26	CC 26 - Amb. 1 (SLE) S -Mt+X+0.3Y	SLD	L	N	1	1	0.6	0	0	-1	1	0.3
27	CC 27 - Amb. 1 (SLE) S -Mt+X+0.3Y	SLO	L	N	1	1	0.6	0	0	-1	1	0.3
28	CC 28 - Amb. 1 (SLU S) S -Mt+X-0.3Y	SLV	L	N	1	1	0.6	0	0	-1	1	-0.3
29	CC 29 - Amb. 1 (SLE) S -Mt+X-0.3Y	SLD	L	N	1	1	0.6	0	0	-1	1	-0.3
30	CC 30 - Amb. 1 (SLE) S -Mt+X-0.3Y	SLO	L	N	1	1	0.6	0	0	-1	1	-0.3
31	CC 31 - Amb. 1 (SLU S) S -Mt-X+0.3Y	SLV	L	N	1	1	0.6	0	0	-1	-1	0.3
32	CC 32 - Amb. 1 (SLE) S -Mt-X+0.3Y	SLD	L	N	1	1	0.6	0	0	-1	-1	0.3
33	CC 33 - Amb. 1 (SLE) S -Mt-X+0.3Y	SLO	L	N	1	1	0.6	0	0	-1	-1	0.3
34	CC 34 - Amb. 1 (SLU S) S -Mt-X-0.3Y	SLV	L	N	1	1	0.6	0	0	-1	-1	-0.3
35	CC 35 - Amb. 1 (SLE) S -Mt-X-0.3Y	SLD	L	N	1	1	0.6	0	0	-1	-1	-0.3
36	CC 36 - Amb. 1 (SLE) S -Mt-X-0.3Y	SLO	L	N	1	1	0.6	0	0	-1	-1	-0.3
37	CC 37 - Amb. 1 (SLU S) S -Mt+0.3X+Y	SLV	L	N	1	1	0.6	0	0	-1	0.3	1
38	CC 38 - Amb. 1 (SLE) S -Mt+0.3X+Y	SLD	L	N	1	1	0.6	0	0	-1	0.3	1
39	CC 39 - Amb. 1 (SLE) S -Mt+0.3X+Y	SLO	L	N	1	1	0.6	0	0	-1	0.3	1
40	CC 40 - Amb. 1 (SLU S) S -Mt-0.3X+Y	SLV	L	N	1	1	0.6	0	0	-1	-0.3	1
41	CC 41 - Amb. 1 (SLE) S -Mt-0.3X+Y	SLD	L	N	1	1	0.6	0	0	-1	-0.3	1
42	CC 42 - Amb. 1 (SLE) S -Mt-0.3X+Y	SLO	L	N	1	1	0.6	0	0	-1	-0.3	1
43	CC 43 - Amb. 1 (SLU S) S -Mt+0.3X-Y	SLV	L	N	1	1	0.6	0	0	-1	0.3	-1
44	CC 44 - Amb. 1 (SLE) S -Mt+0.3X-Y	SLD	L	N	1	1	0.6	0	0	-1	0.3	-1
45	CC 45 - Amb. 1 (SLE) S -Mt+0.3X-Y	SLO	L	N	1	1	0.6	0	0	-1	0.3	-1
46	CC 46 - Amb. 1 (SLU S) S -Mt-0.3X-Y	SLV	L	N	1	1	0.6	0	0	-1	-0.3	-1
47	CC 47 - Amb. 1 (SLE) S -Mt-0.3X-Y	SLD	L	N	1	1	0.6	0	0	-1	-0.3	-1
48	CC 48 - Amb. 1 (SLE) S -Mt-0.3X-Y	SLO	L	N	1	1	0.6	0	0	-1	-0.3	-1
49	CC 49 - Amb. 2 (SLU) F X	SLU	L	N	1.3	1.5	1.5	1	0	0	0	0
50	CC 50 - Amb. 2 (SLU) F -X	SLU	L	N	1.3	1.5	1.5	-1	0	0	0	0
51	CC 51 - Amb. 2 (SLU) F Y	SLU	L	N	1.3	1.5	1.5	0	1	0	0	0
52	CC 52 - Amb. 2 (SLU) F -Y	SLU	L	N	1.3	1.5	1.5	0	-1	0	0	0
53	CC 53 - Amb. 2 (SLE R) F X	SLE R	L	N	1	1	1	1	0	0	0	0
54	CC 54 - Amb. 2 (SLE R) F -X	SLE R	L	N	1	1	1	-1	0	0	0	0
55	CC 55 - Amb. 2 (SLE R) F Y	SLE R	L	N	1	1	1	0	1	0	0	0
56	CC 56 - Amb. 2 (SLE R) F -Y	SLE R	L	N	1	1	1	0	-1	0	0	0
57	CC 57 - Amb. 2 (SLE F) F X	SLE F	L	N	1	1	0.7	1	0	0	0	0
58	CC 58 - Amb. 2 (SLE F) F -X	SLE F	L	N	1	1	0.7	-1	0	0	0	0
59	CC 59 - Amb. 2 (SLE F) F Y	SLE F	L	N	1	1	0.7	0	1	0	0	0
60	CC 60 - Amb. 2 (SLE F) F -Y	SLE F	L	N	1	1	0.7	0	-1	0	0	0
61	CC 61 - Amb. 2 (SLE Q) F X	SLE Q	L	N	1	1	0.6	1	0	0	0	0
62	CC 62 - Amb. 2 (SLE Q) F -X	SLE Q	L	N	1	1	0.6	-1	0	0	0	0

Relazione di calcolo

63	CC 63 - Amb. 2 (SLE Q) F Y	SLE Q	L	N	1	1	0.6	0	1	0	0	0
64	CC 64 - Amb. 2 (SLE Q) F -Y	SLE Q	L	N	1	1	0.6	0	-1	0	0	0

Elenco baricentri e masse impalcati

Simbologia

Imp. = Numero dell'impalcato
X = Coordinata X
Y = Coordinata Y
Z = Coordinata Z
Mo = Massa orizzontale
Jpz = Momento d'inerzia polare intorno all'asse Z

Imp.	X <m>	Y <m>	Z <m>	Mo <kg>	Jpz <kg*m ² >
1	6	1.6	2.5	200673	2695330

Totali masse impalcati

Mo <kg>	Jpz <kg*m ² >
200673	2695330

Elenco forze sismiche di impalcato allo SLO

Simbologia

Imp. = Numero dell'impalcato
cx = Coeff. c in dir. X
cy = Coeff. c in dir. Y
Fx = Forza in dir. X
Fy = Forza in dir. Y
Mz = Momento intorno all'asse Z

Imp.	cx	cy	Fx <daN>	Fy <daN>	Mz <daNm>
1	1	1	28857.3	28857.3	17919.4

Totali forze sismiche

Fx <daN>	Fy <daN>	Mz <daNm>
28857.3	28857.3	17919.4

Elenco forze sismiche di impalcato allo SLD

Imp.	cx	cy	Fx <daN>	Fy <daN>	Mz <daNm>
1	1	1	34943.4	34943.4	21698.7

Totali forze sismiche

Fx <daN>	Fy <daN>	Mz <daNm>
34943.4	34943.4	21698.7

Elenco forze sismiche di impalcato allo SLV

Imp.	cx	cy	Fx <daN>	Fy <daN>	Mz <daNm>
1	1	1	58603.5	58603.5	36390.8

Totali forze sismiche

Fx <daN>	Fy <daN>	Mz <daNm>
58603.5	58603.5	36390.8

Elenco pesi e forze fittizie impalcati

Simbologia

Imp. = Numero dell'impalcato
Peso = Peso
Fx = Forza in dir. X
Fy = Forza in dir. Y

Imp.	Peso <daN>	Fx <daN>	Fy <daN>
1	242940	2429.4	2429.4

Spostamenti dei nodi allo stato limite ultimo

Simbologia

Nodo = Numero del nodo
Sx = Spostamento in dir. X

Relazione di calcolo

CC =Numero della combinazione delle condizioni di carico elementari
 Sy =Spostamento in dir. Y
 Sz =Spostamento in dir. Z
 Rx =Rotazione intorno all'asse X
 Ry =Rotazione intorno all'asse Y
 Rz =Rotazione intorno all'asse Z

Nodo		Sx <cm>	CC	Sy <cm>	CC	Sz <cm>	CC	Rx <rad>	CC	Ry <rad>	CC	Rz <rad>	CC
-182	Max	1.78	25	25.14	13	13.29	22	0.1	19	0.01	28	0	1
-182	Min.	-1.78	7	-25.14	43	-21.14	37	-0.1	40	-0.01	7	0	25
-181	Max	1.78	25	25.14	13	13.07	22	0.1	19	0.01	25	0	1
-181	Min.	-1.78	7	-25.14	43	-20.92	37	-0.1	40	-0.01	10	0	25
-180	Max	1.78	25	25.14	13	12.86	22	0.1	19	0.01	25	0	1
-180	Min.	-1.78	7	-25.14	43	-20.71	37	-0.1	40	-0.01	10	0	25
-179	Max	1.78	25	25.14	13	12.65	22	0.1	19	0.01	28	0	1
-179	Min.	-1.78	7	-25.14	43	-20.5	37	-0.1	40	-0.01	7	0	25
-178	Max	1.78	25	25.14	13	12.43	22	0.1	19	0.01	25	0	1
-178	Min.	-1.78	7	-25.14	43	-20.28	37	-0.1	40	-0.01	10	0	25
-177	Max	1.78	25	25.14	13	12.22	22	0.1	19	0.01	28	0	1
-177	Min.	-1.78	7	-25.14	43	-20.07	37	-0.1	40	-0.01	7	0	25
-176	Max	1.78	25	25.14	13	12.01	19	0.1	19	0.01	25	0	1
-176	Min.	-1.78	7	-25.14	19	-19.86	13	-0.1	13	-0.01	7	0	25
-175	Max	1.78	25	25.14	37	12.22	43	0.1	46	0.01	25	0	1
-175	Min.	-1.78	7	-25.14	19	-20.07	16	-0.1	13	-0.01	10	0	25
-174	Max	1.78	25	25.14	37	12.43	43	0.1	46	0.01	28	0	1
-174	Min.	-1.78	7	-25.14	19	-20.28	16	-0.1	13	-0.01	7	0	25
-173	Max	1.78	25	25.14	37	12.65	43	0.1	46	0.01	25	0	1
-173	Min.	-1.78	7	-25.14	19	-20.5	16	-0.1	13	-0.01	10	0	25
-172	Max	1.78	25	25.14	37	12.86	43	0.1	46	0.01	28	0	1
-172	Min.	-1.78	7	-25.14	19	-20.71	16	-0.1	13	-0.01	7	0	25
-171	Max	1.78	25	25.14	37	13.07	43	0.1	46	0.01	28	0	1
-171	Min.	-1.78	7	-25.14	19	-20.92	16	-0.1	13	-0.01	7	0	25
-170	Max	1.78	25	25.14	37	13.29	43	0.1	46	0.01	25	0	1
-170	Min.	-1.78	7	-25.14	19	-21.14	16	-0.1	13	-0.01	10	0	25
-169	Max	1.78	25	25.14	13	5.3	22	0.1	19	0.01	28	0	1
-169	Min.	-1.78	7	-25.14	43	-13.17	37	-0.1	40	-0.01	7	0	25
-168	Max	1.78	25	25.14	13	5.09	22	0.1	19	0.01	25	0	1
-168	Min.	-1.78	7	-25.14	43	-12.96	37	-0.1	40	-0.01	10	0	25
-167	Max	1.78	25	25.14	13	4.88	22	0.1	19	0.01	25	0	1
-167	Min.	-1.78	7	-25.14	43	-12.75	37	-0.1	40	-0.01	10	0	25
-166	Max	1.78	25	25.14	13	4.66	22	0.1	19	0.01	28	0	1
-166	Min.	-1.78	7	-25.14	43	-12.53	37	-0.1	40	-0.01	7	0	25
-165	Max	1.78	25	25.14	13	4.45	22	0.1	19	0.01	25	0	1
-165	Min.	-1.78	7	-25.14	43	-12.32	37	-0.1	40	-0.01	10	0	25
-164	Max	1.78	25	25.14	13	4.24	22	0.1	19	0.01	25	0	1
-164	Min.	-1.78	7	-25.14	43	-12.11	37	-0.1	40	-0.01	10	0	25
-163	Max	1.78	25	25.14	13	4.02	19	0.1	19	0.01	25	0	1
-163	Min.	-1.78	7	-25.14	19	-11.89	13	-0.1	13	-0.01	7	0	25
-162	Max	1.78	25	25.14	37	4.24	43	0.1	46	0.01	28	0	1
-162	Min.	-1.78	7	-25.14	19	-12.11	16	-0.1	13	-0.01	7	0	25
-161	Max	1.78	25	25.14	37	4.45	43	0.1	46	0.01	28	0	1
-161	Min.	-1.78	7	-25.14	19	-12.32	16	-0.1	13	-0.01	7	0	25
-160	Max	1.78	25	25.14	37	4.66	43	0.1	46	0.01	25	0	1
-160	Min.	-1.78	7	-25.14	19	-12.53	16	-0.1	13	-0.01	10	0	25
-159	Max	1.78	25	25.14	37	4.88	43	0.1	46	0.01	28	0	1
-159	Min.	-1.78	7	-25.14	19	-12.75	16	-0.1	13	-0.01	7	0	25
-158	Max	1.78	25	25.14	37	5.09	43	0.1	46	0.01	28	0	1
-158	Min.	-1.78	7	-25.14	19	-12.96	16	-0.1	13	-0.01	7	0	25
-157	Max	1.78	25	25.14	37	5.3	43	0.1	46	0.01	25	0	1
-157	Min.	-1.78	7	-25.14	19	-13.17	16	-0.1	13	-0.01	10	0	25
-156	Max	1.78	1	25.14	13	0.32	7	0.1	19	0.01	1	0	1
-156	Min.	-1.78	7	-25.14	43	-8.2	1	-0.1	37	-0.01	7	0	25
-155	Max	1.78	1	25.14	13	-0.39	7	0.1	19	0.01	1	0	1
-155	Min.	-1.78	7	-25.14	43	-7.49	1	-0.1	37	-0.01	7	0	25
-154	Max	1.78	1	25.14	13	-1.1	7	0.1	19	0.01	1	0	1
-154	Min.	-1.78	7	-25.14	43	-6.97	49	-0.1	37	-0.01	7	0	25
-153	Max	1.78	1	25.14	13	-1.81	7	0.1	19	0.01	1	0	1
-153	Min.	-1.78	7	-25.14	43	-6.97	49	-0.1	37	-0.01	7	0	25
-152	Max	1.78	1	25.14	13	-2.52	7	0.1	19	0.01	1	0	1
-152	Min.	-1.78	7	-25.14	43	-6.96	49	-0.1	37	-0.01	7	0	25
-151	Max	1.78	1	25.14	13	-3.23	7	0.1	19	0.01	1	0	1
-151	Min.	-1.78	7	-25.14	43	-6.95	49	-0.1	37	-0.01	7	0	25
-150	Max	1.78	1	25.14	13	-3.94	1	0.1	19	0.01	1	0	1
-150	Min.	-1.78	7	-25.14	19	-6.95	49	-0.1	13	-0.01	7	0	25
-149	Max	1.78	1	25.14	37	-3.23	1	0.1	43	0.01	1	0	1
-149	Min.	-1.78	7	-25.14	19	-6.95	50	-0.1	13	-0.01	7	0	25
-148	Max	1.78	1	25.14	37	-2.52	1	0.1	43	0.01	1	0	1
-148	Min.	-1.78	7	-25.14	19	-6.96	50	-0.1	13	-0.01	7	0	25
-147	Max	1.78	1	25.14	37	-1.81	1	0.1	43	0.01	1	0	1

Relazione di calcolo

-147	Min.	-1.78	7	-25.14	19	-6.97	50	-0.1	13	-0.01	7	0	25
-146	Max	1.78	1	25.14	37	-1.1	1	0.1	43	0.01	1	0	1
-146	Min.	-1.78	7	-25.14	19	-6.97	50	-0.1	13	-0.01	7	0	25
-145	Max	1.78	1	25.14	37	-0.39	1	0.1	43	0.01	1	0	1
-145	Min.	-1.78	7	-25.14	19	-7.49	7	-0.1	13	-0.01	7	0	25
-144	Max	1.78	1	25.14	37	0.32	1	0.1	43	0.01	1	0	1
-144	Min.	-1.78	7	-25.14	19	-8.2	7	-0.1	13	-0.01	7	0	25
-143	Max	1.78	1	25.14	13	5.3	40	0.1	22	0.01	1	0	1
-143	Min.	-1.78	31	-25.14	43	-13.17	19	-0.1	37	-0.01	34	0	25
-142	Max	1.78	1	25.14	13	5.09	40	0.1	22	0.01	4	0	1
-142	Min.	-1.78	31	-25.14	43	-12.96	19	-0.1	37	-0.01	31	0	25
-141	Max	1.78	1	25.14	13	4.88	40	0.1	22	0.01	4	0	1
-141	Min.	-1.78	31	-25.14	43	-12.75	19	-0.1	37	-0.01	31	0	25
-140	Max	1.78	1	25.14	13	4.66	40	0.1	22	0.01	1	0	1
-140	Min.	-1.78	31	-25.14	43	-12.53	19	-0.1	37	-0.01	34	0	25
-139	Max	1.78	1	25.14	13	4.45	40	0.1	22	0.01	4	0	1
-139	Min.	-1.78	31	-25.14	43	-12.32	19	-0.1	37	-0.01	31	0	25
-138	Max	1.78	1	25.14	13	4.24	40	0.1	22	0.01	4	0	1
-138	Min.	-1.78	31	-25.14	43	-12.11	19	-0.1	37	-0.01	31	0	25
-137	Max	1.78	1	25.14	13	4.02	13	0.1	19	0.01	1	0	1
-137	Min.	-1.78	31	-25.14	19	-11.89	19	-0.1	13	-0.01	31	0	25
-136	Max	1.78	1	25.14	37	4.24	13	0.1	43	0.01	1	0	1
-136	Min.	-1.78	31	-25.14	19	-12.11	46	-0.1	16	-0.01	34	0	25
-135	Max	1.78	1	25.14	37	4.45	13	0.1	43	0.01	1	0	1
-135	Min.	-1.78	31	-25.14	19	-12.32	46	-0.1	16	-0.01	34	0	25
-134	Max	1.78	1	25.14	37	4.66	13	0.1	43	0.01	4	0	1
-134	Min.	-1.78	31	-25.14	19	-12.53	46	-0.1	16	-0.01	31	0	25
-133	Max	1.78	1	25.14	37	4.88	13	0.1	43	0.01	1	0	1
-133	Min.	-1.78	31	-25.14	19	-12.75	46	-0.1	16	-0.01	34	0	25
-132	Max	1.78	1	25.14	37	5.09	13	0.1	43	0.01	1	0	1
-132	Min.	-1.78	31	-25.14	19	-12.96	46	-0.1	16	-0.01	34	0	25
-131	Max	1.78	1	25.14	37	5.3	13	0.1	43	0.01	4	0	1
-131	Min.	-1.78	31	-25.14	19	-13.17	46	-0.1	16	-0.01	31	0	25
-130	Max	1.78	1	25.14	13	13.29	40	0.1	22	0.01	1	0	1
-130	Min.	-1.78	31	-25.14	43	-21.14	19	-0.1	37	-0.01	34	0	25
-129	Max	1.78	1	25.14	13	13.07	40	0.1	22	0.01	4	0	1
-129	Min.	-1.78	31	-25.14	43	-20.92	19	-0.1	37	-0.01	31	0	25
-128	Max	1.78	1	25.14	13	12.86	40	0.1	22	0.01	4	0	1
-128	Min.	-1.78	31	-25.14	43	-20.71	19	-0.1	37	-0.01	31	0	25
-127	Max	1.78	1	25.14	13	12.65	40	0.1	22	0.01	1	0	1
-127	Min.	-1.78	31	-25.14	43	-20.5	19	-0.1	37	-0.01	34	0	25
-126	Max	1.78	1	25.14	13	12.43	40	0.1	22	0.01	4	0	1
-126	Min.	-1.78	31	-25.14	43	-20.28	19	-0.1	37	-0.01	31	0	25
-125	Max	1.78	1	25.14	13	12.22	40	0.1	22	0.01	1	0	1
-125	Min.	-1.78	31	-25.14	43	-20.07	19	-0.1	37	-0.01	34	0	25
-124	Max	1.78	1	25.14	13	12.01	13	0.1	19	0.01	1	0	1
-124	Min.	-1.78	31	-25.14	19	-19.86	19	-0.1	13	-0.01	31	0	25
-123	Max	1.78	1	25.14	37	12.22	13	0.1	43	0.01	4	0	1
-123	Min.	-1.78	31	-25.14	19	-20.07	46	-0.1	16	-0.01	31	0	25
-122	Max	1.78	1	25.14	37	12.43	13	0.1	43	0.01	1	0	1
-122	Min.	-1.78	31	-25.14	19	-20.28	46	-0.1	16	-0.01	34	0	25
-121	Max	1.78	1	25.14	37	12.65	13	0.1	43	0.01	4	0	1
-121	Min.	-1.78	31	-25.14	19	-20.5	46	-0.1	16	-0.01	31	0	25
-120	Max	1.78	1	25.14	37	12.86	13	0.1	43	0.01	1	0	1
-120	Min.	-1.78	31	-25.14	19	-20.71	46	-0.1	16	-0.01	34	0	25
-119	Max	1.78	1	25.14	37	13.07	13	0.1	43	0.01	1	0	1
-119	Min.	-1.78	31	-25.14	19	-20.92	46	-0.1	16	-0.01	34	0	25
-118	Max	1.78	1	25.14	37	13.29	13	0.1	43	0.01	4	0	1
-118	Min.	-1.78	31	-25.14	19	-21.14	46	-0.1	16	-0.01	31	0	25
-117	Max	1.19	25	16.79	13	13.29	22	0.1	43	0.01	28	0	13
-117	Min.	-1.19	10	-16.77	46	-21.14	37	-0.1	16	-0.01	7	0	46
-116	Max	1.19	25	16.79	13	13.07	22	0.1	43	0.01	28	0	19
-116	Min.	-1.19	10	-16.77	46	-20.92	37	-0.1	16	-0.01	7	0	40
-115	Max	1.19	25	16.79	13	12.86	22	0.1	43	0.01	28	0	1
-115	Min.	-1.19	10	-16.77	46	-20.71	37	-0.1	16	-0.01	7	0	34
-114	Max	1.19	25	16.78	13	12.65	22	0.1	43	0.01	28	0	4
-114	Min.	-1.19	10	-16.77	46	-20.5	37	-0.1	16	-0.01	7	0	31
-113	Max	1.19	25	16.78	13	12.43	22	0.1	43	0.01	28	0	1
-113	Min.	-1.19	10	-16.77	46	-20.28	37	-0.1	16	-0.01	7	0	34
-112	Max	1.19	25	16.78	13	12.22	22	0.1	43	0.01	28	0	4
-112	Min.	-1.19	10	-16.77	46	-20.07	37	-0.1	16	-0.01	7	0	31
-111	Max	1.19	25	16.78	13	12.01	19	0.1	19	0.01	25	0	1
-111	Min.	-1.19	7	-16.77	19	-19.86	13	-0.1	13	-0.01	7	0	31
-110	Max	1.19	28	16.78	40	12.22	43	0.1	22	0.01	25	0	1
-110	Min.	-1.19	7	-16.77	19	-20.07	16	-0.1	37	-0.01	10	0	34
-109	Max	1.19	28	16.78	40	12.43	43	0.1	22	0.01	25	0	4
-109	Min.	-1.19	7	-16.77	19	-20.28	16	-0.1	37	-0.01	10	0	31
-108	Max	1.19	28	16.78	40	12.65	43	0.1	22	0.01	25	0	1
-108	Min.	-1.19	7	-16.77	19	-20.5	16	-0.1	37	-0.01	10	0	34

Relazione di calcolo

-107	Max	1.19	28	16.79	40	12.86	43	0.1	22	0.01	25	0	4
-107	Min.	-1.19	7	-16.77	19	-20.71	16	-0.1	37	-0.01	10	0	31
-106	Max	1.19	28	16.79	40	13.07	43	0.1	22	0.01	25	0	13
-106	Min.	-1.19	7	-16.77	19	-20.92	16	-0.1	37	-0.01	10	0	46
-105	Max	1.19	28	16.79	40	13.29	43	0.1	22	0.01	25	0	19
-105	Min.	-1.19	7	-16.77	19	-21.14	16	-0.1	37	-0.01	10	0	40
-104	Max	1.19	4	16.77	16	13.29	40	0.1	46	0.01	1	0	16
-104	Min.	-1.19	31	-16.79	43	-21.14	19	-0.1	13	-0.01	34	0	43
-103	Max	1.19	4	16.77	16	13.07	40	0.1	46	0.01	1	0	22
-103	Min.	-1.19	31	-16.79	43	-20.92	19	-0.1	13	-0.01	34	0	37
-102	Max	1.19	4	16.77	16	12.86	40	0.1	46	0.01	1	0	7
-102	Min.	-1.19	31	-16.79	43	-20.71	19	-0.1	13	-0.01	34	0	28
-101	Max	1.19	4	16.77	16	12.65	40	0.1	46	0.01	1	0	10
-101	Min.	-1.19	31	-16.78	43	-20.5	19	-0.1	13	-0.01	34	0	25
-100	Max	1.19	4	16.77	16	12.43	40	0.1	46	0.01	1	0	7
-100	Min.	-1.19	31	-16.78	43	-20.28	19	-0.1	13	-0.01	34	0	28
-99	Max	1.19	4	16.77	16	12.22	40	0.1	46	0.01	1	0	10
-99	Min.	-1.19	31	-16.78	43	-20.07	19	-0.1	13	-0.01	34	0	25
-98	Max	1.19	1	16.77	13	12.01	13	0.1	19	0.01	1	0	7
-98	Min.	-1.19	31	-16.78	19	-19.86	19	-0.1	13	-0.01	31	0	25
-97	Max	1.19	1	16.77	37	12.22	13	0.1	19	0.01	4	0	7
-97	Min.	-1.19	34	-16.78	22	-20.07	46	-0.1	40	-0.01	31	0	28
-96	Max	1.19	1	16.77	37	12.43	13	0.1	19	0.01	4	0	10
-96	Min.	-1.19	34	-16.78	22	-20.28	46	-0.1	40	-0.01	31	0	25
-95	Max	1.19	1	16.77	37	12.65	13	0.1	19	0.01	4	0	7
-95	Min.	-1.19	34	-16.78	22	-20.5	46	-0.1	40	-0.01	31	0	28
-94	Max	1.19	1	16.77	37	12.86	13	0.1	19	0.01	4	0	10
-94	Min.	-1.19	34	-16.79	22	-20.71	46	-0.1	40	-0.01	31	0	25
-93	Max	1.19	1	16.77	37	13.07	13	0.1	19	0.01	4	0	16
-93	Min.	-1.19	34	-16.79	22	-20.92	46	-0.1	40	-0.01	31	0	43
-92	Max	1.19	1	16.77	37	13.29	13	0.1	19	0.01	4	0	22
-92	Min.	-1.19	34	-16.79	22	-21.14	46	-0.1	40	-0.01	31	0	37
-91	Max	0.59	25	8.38	13	13.29	22	0.1	46	0.01	25	0	19
-91	Min.	-0.59	10	-8.36	46	-21.13	37	-0.1	13	-0.01	10	0	40
-90	Max	0.59	25	8.38	13	13.07	22	0.1	46	0.01	28	0	13
-90	Min.	-0.59	10	-8.36	46	-20.92	37	-0.1	13	-0.01	7	0	46
-89	Max	0.59	25	8.38	13	12.86	22	0.1	46	0.01	28	0	4
-89	Min.	-0.59	10	-8.36	46	-20.71	37	-0.1	13	-0.01	7	0	31
-88	Max	0.59	25	8.38	13	12.65	22	0.1	46	0.01	28	0	1
-88	Min.	-0.59	10	-8.36	46	-20.49	37	-0.1	13	-0.01	7	0	34
-87	Max	0.59	25	8.37	13	12.43	22	0.1	46	0.01	28	0	4
-87	Min.	-0.59	10	-8.36	46	-20.28	37	-0.1	13	-0.01	7	0	31
-86	Max	0.59	25	8.37	13	12.22	22	0.1	46	0.01	28	0	1
-86	Min.	-0.59	10	-8.36	46	-20.07	37	-0.1	13	-0.01	7	0	34
-85	Max	0.59	25	8.37	13	12.01	19	0.1	19	0.01	25	0	1
-85	Min.	-0.59	7	-8.36	19	-19.85	13	-0.1	13	-0.01	7	0	31
-84	Max	0.59	28	8.37	40	12.22	43	0.1	19	0.01	25	0	4
-84	Min.	-0.59	7	-8.36	19	-20.07	16	-0.1	40	-0.01	10	0	31
-83	Max	0.59	28	8.37	40	12.43	43	0.1	19	0.01	25	0	1
-83	Min.	-0.59	7	-8.36	19	-20.28	16	-0.1	40	-0.01	10	0	34
-82	Max	0.59	28	8.38	40	12.65	43	0.1	19	0.01	25	0	4
-82	Min.	-0.59	7	-8.36	19	-20.49	16	-0.1	40	-0.01	10	0	31
-81	Max	0.59	28	8.38	40	12.86	43	0.1	19	0.01	25	0	1
-81	Min.	-0.59	7	-8.36	19	-20.71	16	-0.1	40	-0.01	10	0	34
-80	Max	0.59	28	8.38	40	13.07	43	0.1	19	0.01	25	0	19
-80	Min.	-0.59	7	-8.36	19	-20.92	16	-0.1	40	-0.01	10	0	40
-79	Max	0.59	28	8.38	40	13.29	43	0.1	19	0.01	28	0	13
-79	Min.	-0.59	7	-8.36	19	-21.13	16	-0.1	40	-0.01	7	0	46
-78	Max	0.59	4	8.36	16	13.29	40	0.1	43	0.01	4	0	22
-78	Min.	-0.59	31	-8.38	43	-21.13	19	-0.1	16	-0.01	31	0	37
-77	Max	0.59	4	8.36	16	13.07	40	0.1	43	0.01	1	0	16
-77	Min.	-0.59	31	-8.38	43	-20.92	19	-0.1	16	-0.01	34	0	43
-76	Max	0.59	4	8.36	16	12.86	40	0.1	43	0.01	1	0	10
-76	Min.	-0.59	31	-8.38	43	-20.71	19	-0.1	16	-0.01	34	0	25
-75	Max	0.59	4	8.36	16	12.65	40	0.1	43	0.01	1	0	7
-75	Min.	-0.59	31	-8.38	43	-20.49	19	-0.1	16	-0.01	34	0	28
-74	Max	0.59	4	8.36	16	12.43	40	0.1	43	0.01	1	0	10
-74	Min.	-0.59	31	-8.37	43	-20.28	19	-0.1	16	-0.01	34	0	25
-73	Max	0.59	4	8.36	16	12.22	40	0.1	43	0.01	1	0	7
-73	Min.	-0.59	31	-8.37	43	-20.07	19	-0.1	16	-0.01	34	0	28
-72	Max	0.59	1	8.36	13	12.01	13	0.1	19	0.01	1	0	7
-72	Min.	-0.59	31	-8.37	19	-19.85	19	-0.1	13	-0.01	31	0	25
-71	Max	0.59	1	8.36	37	12.22	13	0.1	22	0.01	4	0	10
-71	Min.	-0.59	34	-8.37	22	-20.07	46	-0.1	37	-0.01	31	0	25
-70	Max	0.59	1	8.36	37	12.43	13	0.1	22	0.01	4	0	7
-70	Min.	-0.59	34	-8.37	22	-20.28	46	-0.1	37	-0.01	31	0	28
-69	Max	0.59	1	8.36	37	12.65	13	0.1	22	0.01	4	0	10
-69	Min.	-0.59	34	-8.38	22	-20.49	46	-0.1	37	-0.01	31	0	25
-68	Max	0.59	1	8.36	37	12.86	13	0.1	22	0.01	4	0	7

Relazione di calcolo

-68	Min.	-0.59	34	-8.38	22	-20.71	46	-0.1	37	-0.01	31	0	28
-67	Max	0.59	1	8.36	37	13.07	13	0.1	22	0.01	4	0	22
-67	Min.	-0.59	34	-8.38	22	-20.92	46	-0.1	37	-0.01	31	0	37
-66	Max	0.59	1	8.36	37	13.29	13	0.1	22	0.01	1	0	16
-66	Min.	-0.59	34	-8.38	22	-21.13	46	-0.1	37	-0.01	34	0	43
-65	Max	0	1	0	1	13.29	22	0.1	22	0.01	28	0	1
-65	Min.	0	1	0	1	-21.13	37	-0.1	37	-0.01	7	0	1
-64	Max	0	1	0	1	13.07	22	0.1	22	0.01	25	0	1
-64	Min.	0	1	0	1	-20.92	37	-0.1	37	-0.01	10	0	1
-63	Max	0	1	0	1	12.86	22	0.1	22	0.01	28	0	1
-63	Min.	0	1	0	1	-20.71	37	-0.1	37	-0.01	7	0	1
-62	Max	0	1	0	1	12.65	22	0.1	22	0.01	28	0	1
-62	Min.	0	1	0	1	-20.49	37	-0.1	37	-0.01	7	0	1
-61	Max	0	1	0	1	12.43	22	0.1	22	0.01	28	0	1
-61	Min.	0	1	0	1	-20.28	37	-0.1	37	-0.01	7	0	1
-60	Max	0	1	0	1	12.22	22	0.1	22	0.01	28	0	1
-60	Min.	0	1	0	1	-20.07	37	-0.1	37	-0.01	7	0	1
-59	Max	0	1	0	1	12.01	19	0.1	19	0.01	25	0	1
-59	Min.	0	1	0	1	-19.85	13	-0.1	13	-0.01	7	0	1
-58	Max	0	1	0	1	12.22	43	0.1	43	0.01	25	0	1
-58	Min.	0	1	0	1	-20.07	16	-0.1	16	-0.01	10	0	1
-57	Max	0	1	0	1	12.43	43	0.1	43	0.01	25	0	1
-57	Min.	0	1	0	1	-20.28	16	-0.1	16	-0.01	10	0	1
-56	Max	0	1	0	1	12.65	43	0.1	43	0.01	25	0	1
-56	Min.	0	1	0	1	-20.49	16	-0.1	16	-0.01	10	0	1
-55	Max	0	1	0	1	12.86	43	0.1	43	0.01	25	0	1
-55	Min.	0	1	0	1	-20.71	16	-0.1	16	-0.01	10	0	1
-54	Max	0	1	0	1	13.07	43	0.1	43	0.01	28	0	1
-54	Min.	0	1	0	1	-20.92	16	-0.1	16	-0.01	7	0	1
-53	Max	0	1	0	1	13.29	43	0.1	43	0.01	25	0	1
-53	Min.	0	1	0	1	-21.13	16	-0.1	16	-0.01	10	0	1
-52	Max	0	1	0	1	5.32	22	0.1	22	0.01	28	0	1
-52	Min.	0	1	0	1	-13.14	37	-0.1	37	-0.01	7	0	1
-51	Max	0	1	0	1	5.1	22	0.1	22	0.01	25	0	1
-51	Min.	0	1	0	1	-12.93	37	-0.1	37	-0.01	10	0	1
-50	Max	0	1	0	1	4.89	22	0.1	22	0.01	25	0	1
-50	Min.	0	1	0	1	-12.71	37	-0.1	37	-0.01	10	0	1
-49	Max	0	1	0	1	4.68	22	0.1	22	0.01	28	0	1
-49	Min.	0	1	0	1	-12.5	37	-0.1	37	-0.01	7	0	1
-48	Max	0	1	0	1	4.47	22	0.1	22	0.01	28	0	1
-48	Min.	0	1	0	1	-12.29	37	-0.1	37	-0.01	7	0	1
-47	Max	0	1	0	1	4.26	22	0.1	22	0.01	28	0	1
-47	Min.	0	1	0	1	-12.08	37	-0.1	37	-0.01	7	0	1
-46	Max	0	1	0	1	4.04	19	0.1	19	0.01	25	0	1
-46	Min.	0	1	0	1	-11.87	13	-0.1	13	-0.01	7	0	1
-45	Max	0	1	0	1	4.26	43	0.1	43	0.01	25	0	1
-45	Min.	0	1	0	1	-12.08	16	-0.1	16	-0.01	10	0	1
-44	Max	0	1	0	1	4.47	43	0.1	43	0.01	25	0	1
-44	Min.	0	1	0	1	-12.29	16	-0.1	16	-0.01	10	0	1
-43	Max	0	1	0	1	4.68	43	0.1	43	0.01	25	0	1
-43	Min.	0	1	0	1	-12.5	16	-0.1	16	-0.01	10	0	1
-42	Max	0	1	0	1	4.89	43	0.1	43	0.01	28	0	1
-42	Min.	0	1	0	1	-12.71	16	-0.1	16	-0.01	7	0	1
-41	Max	0	1	0	1	5.1	43	0.1	43	0.01	28	0	1
-41	Min.	0	1	0	1	-12.93	16	-0.1	16	-0.01	7	0	1
-40	Max	0	1	0	1	5.32	43	0.1	43	0.01	25	0	1
-40	Min.	0	1	0	1	-13.14	16	-0.1	16	-0.01	10	0	1
-39	Max	0	1	0	1	0.33	7	0.1	19	0.01	1	0	1
-39	Min.	0	1	0	1	-8.14	1	-0.1	37	-0.01	7	0	1
-38	Max	0	1	0	1	-0.38	7	0.1	19	0.01	1	0	1
-38	Min.	0	1	0	1	-7.43	1	-0.1	37	-0.01	7	0	1
-37	Max	0	1	0	1	-1.09	7	0.1	19	0.01	1	0	1
-37	Min.	0	1	0	1	-6.91	49	-0.1	37	-0.01	7	0	1
-36	Max	0	1	0	1	-1.79	7	0.1	19	0.01	1	0	1
-36	Min.	0	1	0	1	-6.91	49	-0.1	37	-0.01	7	0	1
-35	Max	0	1	0	1	-2.5	7	0.1	19	0.01	1	0	1
-35	Min.	0	1	0	1	-6.9	49	-0.1	37	-0.01	7	0	1
-34	Max	0	1	0	1	-3.2	7	0.1	19	0.01	1	0	1
-34	Min.	0	1	0	1	-6.89	49	-0.1	37	-0.01	7	0	1
-33	Max	0	1	0	1	-3.91	1	0.1	19	0.01	1	0	1
-33	Min.	0	1	0	1	-6.89	49	-0.1	13	-0.01	7	0	1
-32	Max	0	1	0	1	-3.2	1	0.1	43	0.01	1	0	1
-32	Min.	0	1	0	1	-6.89	50	-0.1	13	-0.01	7	0	1
-31	Max	0	1	0	1	-2.5	1	0.1	43	0.01	1	0	1
-31	Min.	0	1	0	1	-6.9	50	-0.1	13	-0.01	7	0	1
-30	Max	0	1	0	1	-1.79	1	0.1	43	0.01	1	0	1
-30	Min.	0	1	0	1	-6.91	50	-0.1	13	-0.01	7	0	1
-29	Max	0	1	0	1	-1.09	1	0.1	43	0.01	1	0	1
-29	Min.	0	1	0	1	-6.91	50	-0.1	13	-0.01	7	0	1

Relazione di calcolo

-28	Max	0	1	0	1	-0.38	1	0.1	43	0.01	1	0	1
-28	Min.	0	1	0	1	-7.43	7	-0.1	13	-0.01	7	0	1
-27	Max	0	1	0	1	0.33	1	0.1	43	0.01	1	0	1
-27	Min.	0	1	0	1	-8.14	7	-0.1	13	-0.01	7	0	1
-26	Max	0	1	0	1	5.32	40	0.1	19	0.01	1	0	1
-26	Min.	0	1	0	1	-13.14	19	-0.1	40	-0.01	34	0	1
-25	Max	0	1	0	1	5.1	40	0.1	19	0.01	4	0	1
-25	Min.	0	1	0	1	-12.93	19	-0.1	40	-0.01	31	0	1
-24	Max	0	1	0	1	4.89	40	0.1	19	0.01	4	0	1
-24	Min.	0	1	0	1	-12.71	19	-0.1	40	-0.01	31	0	1
-23	Max	0	1	0	1	4.68	40	0.1	19	0.01	1	0	1
-23	Min.	0	1	0	1	-12.5	19	-0.1	40	-0.01	34	0	1
-22	Max	0	1	0	1	4.47	40	0.1	19	0.01	1	0	1
-22	Min.	0	1	0	1	-12.29	19	-0.1	40	-0.01	34	0	1
-21	Max	0	1	0	1	4.26	40	0.1	19	0.01	1	0	1
-21	Min.	0	1	0	1	-12.08	19	-0.1	40	-0.01	34	0	1
-20	Max	0	1	0	1	4.04	13	0.1	19	0.01	1	0	1
-20	Min.	0	1	0	1	-11.87	19	-0.1	13	-0.01	31	0	1
-19	Max	0	1	0	1	4.26	13	0.1	46	0.01	4	0	1
-19	Min.	0	1	0	1	-12.08	46	-0.1	13	-0.01	31	0	1
-18	Max	0	1	0	1	4.47	13	0.1	46	0.01	4	0	1
-18	Min.	0	1	0	1	-12.29	46	-0.1	13	-0.01	31	0	1
-17	Max	0	1	0	1	4.68	13	0.1	46	0.01	4	0	1
-17	Min.	0	1	0	1	-12.5	46	-0.1	13	-0.01	31	0	1
-16	Max	0	1	0	1	4.89	13	0.1	46	0.01	1	0	1
-16	Min.	0	1	0	1	-12.71	46	-0.1	13	-0.01	34	0	1
-15	Max	0	1	0	1	5.1	13	0.1	46	0.01	1	0	1
-15	Min.	0	1	0	1	-12.93	46	-0.1	13	-0.01	34	0	1
-14	Max	0	1	0	1	5.32	13	0.1	46	0.01	4	0	1
-14	Min.	0	1	0	1	-13.14	46	-0.1	13	-0.01	31	0	1
-13	Max	0	1	0	1	13.29	40	0.1	19	0.01	1	0	1
-13	Min.	0	1	0	1	-21.13	19	-0.1	40	-0.01	34	0	1
-12	Max	0	1	0	1	13.07	40	0.1	19	0.01	4	0	1
-12	Min.	0	1	0	1	-20.92	19	-0.1	40	-0.01	31	0	1
-11	Max	0	1	0	1	12.86	40	0.1	19	0.01	1	0	1
-11	Min.	0	1	0	1	-20.71	19	-0.1	40	-0.01	34	0	1
-10	Max	0	1	0	1	12.65	40	0.1	19	0.01	1	0	1
-10	Min.	0	1	0	1	-20.49	19	-0.1	40	-0.01	34	0	1
-9	Max	0	1	0	1	12.43	40	0.1	19	0.01	1	0	1
-9	Min.	0	1	0	1	-20.28	19	-0.1	40	-0.01	34	0	1
-8	Max	0	1	0	1	12.22	40	0.1	19	0.01	1	0	1
-8	Min.	0	1	0	1	-20.07	19	-0.1	40	-0.01	34	0	1
-7	Max	0	1	0	1	12.01	13	0.1	19	0.01	1	0	1
-7	Min.	0	1	0	1	-19.85	19	-0.1	13	-0.01	31	0	1
-6	Max	0	1	0	1	12.22	13	0.1	46	0.01	4	0	1
-6	Min.	0	1	0	1	-20.07	46	-0.1	13	-0.01	31	0	1
-5	Max	0	1	0	1	12.43	13	0.1	46	0.01	4	0	1
-5	Min.	0	1	0	1	-20.28	46	-0.1	13	-0.01	31	0	1
-4	Max	0	1	0	1	12.65	13	0.1	46	0.01	4	0	1
-4	Min.	0	1	0	1	-20.49	46	-0.1	13	-0.01	31	0	1
-3	Max	0	1	0	1	12.86	13	0.1	46	0.01	4	0	1
-3	Min.	0	1	0	1	-20.71	46	-0.1	13	-0.01	31	0	1
-2	Max	0	1	0	1	13.07	13	0.1	46	0.01	1	0	1
-2	Min.	0	1	0	1	-20.92	46	-0.1	13	-0.01	34	0	1
-1	Max	0	1	0	1	13.29	13	0.1	46	0.01	4	0	1
-1	Min.	0	1	0	1	-21.13	46	-0.1	13	-0.01	31	0	1

Min = -25.14

Max = 25.14

Reazioni vincolari

Simbologia

Nodo =Numero del nodo

Rx =Reazione vincolare (forza) in dir. X

CC =Numero della combinazione delle condizioni di carico elementari

Ry =Reazione vincolare (forza) in dir. Y

Rz =Reazione vincolare (forza) in dir. Z

Mx =Reazione vincolare (momento) intorno all'asse X

My =Reazione vincolare (momento) intorno all'asse Y

Mz =Reazione vincolare (momento) intorno all'asse Z

Nodo		Rx <daN>	CC	Ry <daN>	CC	Rz <daN>	CC	Mx <daNm>	CC	My <daNm>	CC	Mz <daNm>	CC
-65	Max	158.38	10	1824.76	43	0	4	0	40	0	51	31.47	16
-65	Min.	-1140.82	25	-895.93	16	0	31	0	19	0	31	-120.59	43
-64	Max	1150.11	10	3973.08	43	0	16	0	49	0	46	17.52	34
-64	Min.	-1844.94	25	-1851.19	16	0	43	0	19	0	51	-44.71	1
-63	Max	2304.43	10	3691.97	43	0	16	0	37	0	7	32.29	31
-63	Min.	-2516.85	25	-1668.32	16	0	43	0	22	0	55	-33.77	4

Relazione di calcolo

-62	Max	3174.41	10	3665.1	43	0	46	0	43	0	22	37.68	31
-62	Min.	-3242.06	25	-1638.99	16	0	13	0	16	0	51	-35.79	4
-61	Max	3770.53	10	3592.22	43	0	46	0	51	0	22	39.98	34
-61	Min.	-3806.82	25	-1560.38	16	0	13	0	56	0	51	-38.12	1
-60	Max	4129.89	10	3524.47	43	0	22	0	37	0	16	40.65	31
-60	Min.	-4145.17	25	-1493.87	16	0	52	0	22	0	43	-39.64	4
-59	Max	4253.83	7	3457.64	19	0	40	0	16	0	22	40.48	31
-59	Min.	-4253.83	25	-1427.6	13	0	19	0	43	0	37	-40.48	1
-58	Max	4145.17	7	3524.47	22	0	51	0	52	0	37	39.64	34
-58	Min.	-4129.89	28	-1493.87	37	0	43	0	46	0	22	-40.65	1
-57	Max	3806.82	7	3592.22	22	0	19	0	51	0	16	38.12	31
-57	Min.	-3770.53	28	-1560.38	37	0	40	0	40	0	43	-39.98	4
-56	Max	3242.06	7	3665.1	22	0	16	0	7	0	37	35.79	34
-56	Min.	-3174.41	28	-1638.99	37	0	43	0	28	0	51	-37.68	1
-55	Max	2516.85	7	3691.97	22	0	37	0	16	0	52	33.77	34
-55	Min.	-2304.43	28	-1668.32	37	0	22	0	43	0	63	-32.29	1
-54	Max	1844.94	7	3973.08	22	0	46	0	52	0	43	44.71	31
-54	Min.	-1150.11	28	-1851.19	37	0	13	0	19	0	16	-17.52	4
-53	Max	1140.82	7	1824.76	22	0	43	0	51	0	43	120.59	22
-53	Min.	-158.38	28	-895.93	37	0	16	0	16	0	16	-31.47	37
-52	Max	0	1	0	1	0	13	0	40	0	31	0	1
-52	Min.	0	1	0	1	0	46	0	19	0	4	0	1
-51	Max	0	1	0	1	0	40	0	22	0	51	0	1
-51	Min.	0	1	0	1	0	19	0	50	0	64	0	1
-50	Max	0	1	0	1	0	43	0	46	0	52	0	1
-50	Min.	0	1	0	1	0	51	0	51	0	43	0	1
-49	Max	0	1	0	1	0	37	0	16	0	43	0	1
-49	Min.	0	1	0	1	0	22	0	43	0	16	0	1
-48	Max	0	1	0	1	0	50	0	19	0	43	0	1
-48	Min.	0	1	0	1	0	43	0	52	0	50	0	1
-47	Max	0	1	0	1	0	16	0	22	0	37	0	1
-47	Min.	0	1	0	1	0	43	0	37	0	52	0	1
-46	Max	0	1	0	1	0	37	0	16	0	46	0	1
-46	Min.	0	1	0	1	0	52	0	43	0	13	0	1
-45	Max	0	1	0	1	0	37	0	22	0	22	0	1
-45	Min.	0	1	0	1	0	22	0	37	0	52	0	1
-44	Max	0	1	0	1	0	16	0	19	0	51	0	1
-44	Min.	0	1	0	1	0	43	0	40	0	13	0	1
-43	Max	0	1	0	1	0	13	0	19	0	37	0	1
-43	Min.	0	1	0	1	0	49	0	40	0	51	0	1
-42	Max	0	1	0	1	0	52	0	40	0	7	0	1
-42	Min.	0	1	0	1	0	25	0	19	0	51	0	1
-41	Max	0	1	0	1	0	46	0	19	0	16	0	1
-41	Min.	0	1	0	1	0	13	0	51	0	52	0	1
-40	Max	0	1	0	1	0	43	0	13	0	13	0	1
-40	Min.	0	1	0	1	0	16	0	51	0	46	0	1
-39	Max	0	1	0	1	0	7	0	52	0	52	0	1
-39	Min.	0	1	0	1	0	49	0	13	0	25	0	1
-38	Max	0	1	0	1	0	7	0	43	0	28	0	1
-38	Min.	0	1	0	1	0	49	0	16	0	7	0	1
-37	Max	0	1	0	1	0	16	0	28	0	16	0	1
-37	Min.	0	1	0	1	0	43	0	7	0	52	0	1
-36	Max	0	1	0	1	0	13	0	51	0	37	0	1
-36	Min.	0	1	0	1	0	49	0	4	0	22	0	1
-35	Max	0	1	0	1	0	22	0	40	0	37	0	1
-35	Min.	0	1	0	1	0	37	0	19	0	51	0	1
-34	Max	0	1	0	1	0	19	0	43	0	22	0	1
-34	Min.	0	1	0	1	0	51	0	16	0	52	0	1
-33	Max	0	1	0	1	0	43	0	19	0	22	0	1
-33	Min.	0	1	0	1	0	51	0	40	0	37	0	1
-32	Max	0	1	0	1	0	13	0	43	0	40	0	1
-32	Min.	0	1	0	1	0	49	0	51	0	51	0	1
-31	Max	0	1	0	1	0	55	0	13	0	43	0	1
-31	Min.	0	1	0	1	0	52	0	46	0	51	0	1
-30	Max	0	1	0	1	0	43	0	37	0	40	0	1
-30	Min.	0	1	0	1	0	50	0	22	0	49	0	1
-29	Max	0	1	0	1	0	25	0	16	0	51	0	1
-29	Min.	0	1	0	1	0	50	0	43	0	28	0	1
-28	Max	0	1	0	1	0	46	0	16	0	31	0	1
-28	Min.	0	1	0	1	0	51	0	52	0	4	0	1
-27	Max	0	1	0	1	0	22	0	4	0	50	0	1
-27	Min.	0	1	0	1	0	37	0	31	0	43	0	1
-26	Max	0	1	0	1	0	51	0	22	0	19	0	1
-26	Min.	0	1	0	1	0	37	0	37	0	40	0	1
-25	Max	0	1	0	1	0	49	0	46	0	16	0	1
-25	Min.	0	1	0	1	0	19	0	49	0	43	0	1
-24	Max	0	1	0	1	0	52	0	22	0	34	0	1
-24	Min.	0	1	0	1	0	16	0	52	0	51	0	1
-23	Max	0	1	0	1	0	46	0	43	0	34	0	1

Relazione di calcolo

-23	Min.	0	1	0	1	0	13	0	16	0	1	0	1
-22	Max	0	1	0	1	0	22	0	46	0	19	0	1
-22	Min.	0	1	0	1	0	52	0	13	0	51	0	1
-21	Max	0	1	0	1	0	51	0	56	0	52	0	1
-21	Min.	0	1	0	1	0	46	0	51	0	1	0	1
-20	Max	0	1	0	1	0	52	0	52	0	40	0	1
-20	Min.	0	1	0	1	0	16	0	43	0	49	0	1
-19	Max	0	1	0	1	0	40	0	52	0	46	0	1
-19	Min.	0	1	0	1	0	19	0	19	0	51	0	1
-18	Max	0	1	0	1	0	51	0	22	0	43	0	1
-18	Min.	0	1	0	1	0	16	0	37	0	16	0	1
-17	Max	0	1	0	1	0	22	0	37	0	28	0	1
-17	Min.	0	1	0	1	0	37	0	51	0	51	0	1
-16	Max	0	1	0	1	0	50	0	40	0	7	0	1
-16	Min.	0	1	0	1	0	16	0	19	0	28	0	1
-15	Max	0	1	0	1	0	52	0	43	0	4	0	1
-15	Min.	0	1	0	1	0	40	0	16	0	49	0	1
-14	Max	0	1	0	1	0	52	0	46	0	46	0	1
-14	Min.	0	1	0	1	0	31	0	13	0	52	0	1
-13	Max	158.38	31	895.93	46	0	34	0	13	0	51	120.59	13
-13	Min.	-1140.82	4	-1824.76	13	0	1	0	46	0	31	-31.47	46
-12	Max	1150.11	31	1851.19	46	0	16	0	34	0	16	44.71	28
-12	Min.	-1844.94	4	-3973.08	13	0	43	0	1	0	43	-17.52	7
-11	Max	2304.43	31	1668.32	46	0	46	0	46	0	16	33.77	25
-11	Min.	-2516.85	4	-3691.97	13	0	49	0	13	0	43	-32.29	10
-10	Max	3174.41	31	1638.99	46	0	40	0	19	0	46	35.79	25
-10	Min.	-3242.06	4	-3665.11	13	0	19	0	40	0	13	-37.68	10
-9	Max	3770.53	31	1560.38	46	0	16	0	22	0	52	38.12	28
-9	Min.	-3806.82	4	-3592.22	13	0	43	0	37	0	46	-39.98	7
-8	Max	4129.89	31	1493.87	46	0	40	0	52	0	56	39.64	25
-8	Min.	-4145.17	4	-3524.47	13	0	19	0	43	0	34	-40.65	10
-7	Max	4253.83	31	1427.6	19	0	40	0	22	0	52	40.48	25
-7	Min.	-4253.83	1	-3457.64	13	0	52	0	56	0	37	-40.48	7
-6	Max	4145.17	34	1493.87	19	0	13	0	19	0	52	40.65	28
-6	Min.	-4129.89	1	-3524.47	40	0	46	0	40	0	16	-39.64	7
-5	Max	3806.82	34	1560.38	19	0	16	0	16	0	13	39.98	25
-5	Min.	-3770.53	1	-3592.22	40	0	43	0	52	0	46	-38.12	10
-4	Max	3242.06	34	1638.99	19	0	13	0	43	0	13	37.68	28
-4	Min.	-3174.41	1	-3665.11	40	0	46	0	16	0	46	-35.79	7
-3	Max	2516.85	34	1668.32	19	0	4	0	13	0	16	32.29	28
-3	Min.	-2304.43	1	-3691.97	40	0	52	0	52	0	43	-33.77	7
-2	Max	1844.94	34	1851.19	19	0	40	0	16	0	40	17.52	25
-2	Min.	-1150.11	1	-3973.08	40	0	52	0	52	0	19	-44.71	10
-1	Max	1140.82	34	895.93	19	0	13	0	46	0	19	31.47	19
-1	Min.	-158.38	1	-1824.76	40	0	46	0	52	0	40	-120.59	40

Tensioni sul terreno

Simbologia

Nodo = Numero del nodo

σ_t = Tensione sul terreno

CC = Numero della combinazione delle condizioni di carico elementari

Nodo		σ_t <daN/cmq>	CC	Nodo		σ_t <daN/cmq>	CC	Nodo		σ_t <daN/cmq>	CC	Nodo		σ_t <daN/cmq>	CC	Nodo		σ_t <daN/cmq>	CC
-65	Max	1.52	37	-65	Min.	-0.02	22	-64	Max	1.51	37	-64	Min.	-0.01	22	-63	Max	1.5	37
-63	Min.	-0.01	22	-62	Max	1.49	37	-62	Min.	0	22	-61	Max	1.48	37	-61	Min.	0.01	22
-60	Max	1.47	37	-60	Min.	0.02	22	-59	Max	1.46	13	-59	Min.	0.03	19	-58	Max	1.47	16
-58	Min.	0.02	43	-57	Max	1.48	16	-57	Min.	0.01	43	-56	Max	1.49	16	-56	Min.	0	43
-55	Max	1.5	16	-55	Min.	-0.01	43	-54	Max	1.51	16	-54	Min.	-0.01	43	-53	Max	1.52	16
-53	Min.	-0.02	43	-52	Max	1.33	51	-52	Min.	0.33	22	-51	Max	1.33	51	-51	Min.	0.34	22
-50	Max	1.33	51	-50	Min.	0.35	22	-49	Max	1.33	51	-49	Min.	0.36	22	-48	Max	1.33	51
-48	Min.	0.37	22	-47	Max	1.33	51	-47	Min.	0.38	22	-46	Max	1.33	51	-46	Min.	0.39	19
-45	Max	1.33	51	-45	Min.	0.38	43	-44	Max	1.33	51	-44	Min.	0.37	43	-43	Max	1.33	51
-43	Min.	0.36	43	-42	Max	1.33	51	-42	Min.	0.35	43	-41	Max	1.33	51	-41	Min.	0.34	43
-40	Max	1.33	51	-40	Min.	0.33	43	-39	Max	1.32	49	-39	Min.	0.56	7	-38	Max	1.32	49
-38	Min.	0.59	7	-37	Max	1.32	49	-37	Min.	0.62	7	-36	Max	1.32	49	-36	Min.	0.65	7
-35	Max	1.32	49	-35	Min.	0.68	7	-34	Max	1.32	49	-34	Min.	0.71	7	-33	Max	1.32	49
-33	Min.	0.75	1	-32	Max	1.32	50	-32	Min.	0.71	1	-31	Max	1.32	50	-31	Min.	0.68	1
-30	Max	1.32	50	-30	Min.	0.65	1	-29	Max	1.32	50	-29	Min.	0.62	1	-28	Max	1.32	50
-28	Min.	0.59	1	-27	Max	1.32	50	-27	Min.	0.56	1	-26	Max	1.33	52	-26	Min.	0.33	40
-25	Max	1.33	52	-25	Min.	0.34	40	-24	Max	1.33	52	-24	Min.	0.35	40	-23	Max	1.33	52
-23	Min.	0.36	40	-22	Max	1.33	52	-22	Min.	0.37	40	-21	Max	1.33	52	-21	Min.	0.38	40
-20	Max	1.33	52	-20	Min.	0.39	13	-19	Max	1.33	52	-19	Min.	0.38	13	-18	Max	1.33	52
-18	Min.	0.37	13	-17	Max	1.33	52	-17	Min.	0.36	13	-16	Max	1.33	52	-16	Min.	0.35	13
-15	Max	1.33	52	-15	Min.	0.34	13	-14	Max	1.33	52	-14	Min.	0.33	13	-13	Max	1.52	19
-13	Min.	-0.02	40	-12	Max	1.51	19	-12	Min.	-0.01	40	-11	Max	1.5	19	-11	Min.	-0.01	40
-10	Max	1.49	19	-10	Min.	0	40	-9	Max	1.48	19	-9	Min.	0.01	40	-8	Max	1.47	19
-8	Min.	0.02	40	-7	Max	1.46	19	-7	Min.	0.03	13	-6	Max	1.47	46	-6	Min.	0.02	13

Relazione di calcolo

-5Max	1.4846	-5Min.	0.0113	-4Max	1.4946	-4Min.	013	-3Max	1.546
-3Min.	-0.0113	-2Max	1.5146	-2Min.	-0.0113	-1Max	1.5246	-1Min.	-0.0213

Sollecitazioni elementi bidimensionali

Simbologia

Bid.=Numero del muro/elemento bidimensionale

Nodo=Numero del nodo

σ_{xx} =Tensione normale sulle facce perp. all'asse X

CC =Numero della combinazione delle condizioni di carico elementari

σ_{zz} =Tensione normale sulle facce perp. all'asse Z

τ_{xz} =Tensione in dir. Z sulle facce perp. all'asse X

Mxx =Momento che provoca variazione di tensione sulle facce perp. all'asse X

Mzz =Momento che provoca variazione di tensione sulle facce perp. all'asse Z

Mxz =Momento che provoca variazione di tensione tangenziale sulle facce perp. all'asse X

τ_{zy} =Tensione in dir. Y sulle facce perp. all'asse Z

τ_{xy} =Tensione in dir. Y sulle facce perp. all'asse X

Bid.		Nodo	σ_{xx} <daN/mq>	CC	σ_{zz} <daN/mq>	CC	τ_{xz} <daN/mq>	CC	Mxx <daNm/m>	CC	Mzz <daNm/m>	CC	Mxz <daNm/m>	CC	τ_{zy} <daN/mq>	CC	τ_{xy} <daN/mq>	CC
105	Max	-53	-889.12	28	-16778.2	28	2204.13	28	281.4	22	3334.5	22	54.82	34	7308.35	37	507.07	43
105	Max	-54	-889.12	28	-16778.2	28	2204.13	28	281.4	22	3334.5	22	54.82	34	7308.35	37	507.07	43
105	Max	-80	-889.12	28	-16778.2	28	2204.13	28	281.4	22	3334.5	22	54.82	34	7308.35	37	507.07	43
105	Max	-79	-889.12	28	-16778.2	28	2204.13	28	281.4	22	3334.5	22	54.82	34	7308.35	37	507.07	43
105	Min.	-53	-3071.41	50	-49465.5	50	-5044.45	7	-134.59	37	-1379.3	37	-4.39	1	-11536.8	22	-302.44	16
105	Min.	-54	-3071.41	50	-49465.5	50	-5044.45	7	-134.59	37	-1379.3	37	-4.39	1	-11536.8	22	-302.44	16
105	Min.	-80	-3071.41	50	-49465.5	50	-5044.45	7	-134.59	37	-1379.3	37	-4.39	1	-11536.8	22	-302.44	16
105	Min.	-79	-3071.41	50	-49465.5	50	-5044.45	7	-134.59	37	-1379.3	37	-4.39	1	-11536.8	22	-302.44	16
105	Max	-58	-2056.06	43	-20681.1	43	14180.9	28	300.65	22	3004.33	22	37.4	31	6052.06	37	183.45	28
105	Max	-59	-2056.06	43	-20681.1	43	14180.9	28	300.65	22	3004.33	22	37.4	31	6052.06	37	183.45	28
105	Max	-85	-2056.06	43	-20681.1	43	14180.9	28	300.65	22	3004.33	22	37.4	31	6052.06	37	183.45	28
105	Max	-84	-2056.06	43	-20681.1	43	14180.9	28	300.65	22	3004.33	22	37.4	31	6052.06	37	183.45	28
105	Min.	-58	-4826.48	51	-48529.6	51	-14199.8	7	-107.28	37	-1074.32	37	-37.79	4	-10458	22	-182.66	7
105	Min.	-59	-4826.48	51	-48529.6	51	-14199.8	7	-107.28	37	-1074.32	37	-37.79	4	-10458	22	-182.66	7
105	Min.	-85	-4826.48	51	-48529.6	51	-14199.8	7	-107.28	37	-1074.32	37	-37.79	4	-10458	22	-182.66	7
105	Min.	-84	-4826.48	51	-48529.6	51	-14199.8	7	-107.28	37	-1074.32	37	-37.79	4	-10458	22	-182.66	7
105	Max	-59	-2056.06	22	-20681.1	22	14199.8	25	300.65	43	3004.33	43	37.79	34	6052.06	16	182.66	25
105	Max	-60	-2056.06	22	-20681.1	22	14199.8	25	300.65	43	3004.33	43	37.79	34	6052.06	16	182.66	25
105	Max	-86	-2056.06	22	-20681.1	22	14199.8	25	300.65	43	3004.33	43	37.79	34	6052.06	16	182.66	25
105	Max	-85	-2056.06	22	-20681.1	22	14199.8	25	300.65	43	3004.33	43	37.79	34	6052.06	16	182.66	25
105	Min.	-59	-4826.48	51	-48529.6	51	-14180.9	10	-107.28	16	-1074.32	16	-37.4	1	-10458	43	-183.45	10
105	Min.	-60	-4826.48	51	-48529.6	51	-14180.9	10	-107.28	16	-1074.32	16	-37.4	1	-10458	43	-183.45	10
105	Min.	-86	-4826.48	51	-48529.6	51	-14180.9	10	-107.28	16	-1074.32	16	-37.4	1	-10458	43	-183.45	10
105	Min.	-85	-4826.48	51	-48529.6	51	-14180.9	10	-107.28	16	-1074.32	16	-37.4	1	-10458	43	-183.45	10
105	Max	-60	-1993.3	22	-20169.7	22	13447.1	25	306.93	43	3068.1	43	37.75	31	6264.57	16	179.7	28
105	Max	-61	-1993.3	22	-20169.7	22	13447.1	25	306.93	43	3068.1	43	37.75	31	6264.57	16	179.7	28
105	Max	-87	-1993.3	22	-20169.7	22	13447.1	25	306.93	43	3068.1	43	37.75	31	6264.57	16	179.7	28
105	Max	-86	-1993.3	22	-20169.7	22	13447.1	25	306.93	43	3068.1	43	37.75	31	6264.57	16	179.7	28
105	Min.	-60	-4798.61	51	-48534.3	51	-13380.9	10	-113.58	16	-1139.07	16	-36.43	4	-10670.8	43	-183.23	7
105	Min.	-61	-4798.61	51	-48534.3	51	-13380.9	10	-113.58	16	-1139.07	16	-36.43	4	-10670.8	43	-183.23	7
105	Min.	-87	-4798.61	51	-48534.3	51	-13380.9	10	-113.58	16	-1139.07	16	-36.43	4	-10670.8	43	-183.23	7
105	Min.	-86	-4798.61	51	-48534.3	51	-13380.9	10	-113.58	16	-1139.07	16	-36.43	4	-10670.8	43	-183.23	7
105	Max	-61	-1913.75	22	-19605.2	22	11934	25	314.15	43	3130.65	43	36.86	34	6524.52	16	178.13	28
105	Max	-62	-1913.75	22	-19605.2	22	11934	25	314.15	43	3130.65	43	36.86	34	6524.52	16	178.13	28
105	Max	-88	-1913.75	22	-19605.2	22	11934	25	314.15	43	3130.65	43	36.86	34	6524.52	16	178.13	28
105	Max	-87	-1913.75	22	-19605.2	22	11934	25	314.15	43	3130.65	43	36.86	34	6524.52	16	178.13	28
105	Min.	-61	-4729.07	51	-48463.7	51	-11796.2	10	-121.52	16	-1204.47	16	-35.1	1	-10944.7	43	-186.96	7
105	Min.	-62	-4729.07	51	-48463.7	51	-11796.2	10	-121.52	16	-1204.47	16	-35.1	1	-10944.7	43	-186.96	7
105	Min.	-88	-4729.07	51	-48463.7	51	-11796.2	10	-121.52	16	-1204.47	16	-35.1	1	-10944.7	43	-186.96	7
105	Min.	-87	-4729.07	51	-48463.7	51	-11796.2	10	-121.52	16	-1204.47	16	-35.1	1	-10944.7	43	-186.96	7
105	Max	-62	-1861.84	22	-18957	22	9694.19	25	315.23	43	3193.21	43	34.38	31	6686.34	16	161.88	25
105	Max	-63	-1861.84	22	-18957	22	9694.19	25	315.23	43	3193.21	43	34.38	31	6686.34	16	161.88	25
105	Max	-89	-1861.84	22	-18957	22	9694.19	25	315.23	43	3193.21	43	34.38	31	6686.34	16	161.88	25
105	Max	-88	-1861.84	22	-18957	22	9694.19	25	315.23	43	3193.21	43	34.38	31	6686.34	16	161.88	25
105	Min.	-62	-4607.61	51	-48335.7	51	-9409.19	10	-124.11	16	-1272.06	16	-33	4	-11008.3	43	-170.16	10
105	Min.	-63	-4607.61	51	-48335.7	51	-9409.19	10	-124.11	16	-1272.06	16	-33	4	-11008.3	43	-170.16	10
105	Min.	-89	-4607.61	51	-48335.7	51	-9409.19	10	-124.11	16	-1272.06	16	-33	4	-11008.3	43	-170.16	10
105	Min.	-88	-4607.61	51	-48335.7	51	-9409.19	10	-124.11	16	-1272.06	16	-33	4	-11008.3	43	-170.16	10
105	Max	-63	-1554.47	10	-18739.8	22	7179.3	25	338.02	43	3263.15	43	28.63	34	6998.19	16	263.03	43
105	Max	-64	-1554.47	10	-18739.8	22	7179.3	25	338.02	43	3263.15	43	28.63	34	6998.19	16	263.03	43
105	Max	-90	-1554.47	10	-18739.8	22	7179.3	25	338.02	43	3263.15	43	28.63	34	6998.19	16	263.03	43
105	Max	-89	-1554.47	10	-18739.8	22	7179.3	25	338.02	43	3263.15	43	28.63	34	6998.19	16	263.03	43
105	Min.	-63	-4213.33	49	-47755.4	51	-6096.09	10	-146.41	16	-1334.04	16	-32.88	1	-11641.8	43	-246.82	16
105	Min.	-64	-4213.33	49	-47755.4	51	-6096.09	10	-146.41	16	-1334.04	16	-32.88	1	-11641.8	43	-246.82	16
105	Min.	-90	-4213.33	49	-47755.4	51	-6096.09	10	-146.41	16	-1334.04	16	-32.88	1	-11641.8	43	-246.82	16
105	Min.	-89	-4213.33	49	-47755.4	51	-6096.09	10	-146.41	16	-1334.04	16	-32.88	1	-11641.8	43	-246.82	16
105	Max	-64	-889.12	10	-16778.2	10	5044.45	25	281.4	43	3334.5	43	4.39	31	7308.35	16	302.44	37
105	Max	-65	-889.12	10	-16778.2	10	5044.45	25	281.4	43	3334.5	43	4.39	31	7308.35	16	302.44	37
105	Max	-91	-889.12	10	-16778.2	10	5044.45	25	281.4	43	3334.5	43	4.39	31	7308.35	16	302.44	37

Relazione di calcolo

105	Max	-90	-889.12	10	-16778.2	10	5044.45	25	281.4	43	3334.5	43	4.39	31	7308.35	16	302.44	37
105	Min.	-64	-3071.41	49	-49465.5	49	-2204.13	10	-134.59	16	-1379.3	16	-54.82	4	-11536.8	43	-507.07	22
105	Min.	-65	-3071.41	49	-49465.5	49	-2204.13	10	-134.59	16	-1379.3	16	-54.82	4	-11536.8	43	-507.07	22
105	Min.	-91	-3071.41	49	-49465.5	49	-2204.13	10	-134.59	16	-1379.3	16	-54.82	4	-11536.8	43	-507.07	22
105	Min.	-90	-3071.41	49	-49465.5	49	-2204.13	10	-134.59	16	-1379.3	16	-54.82	4	-11536.8	43	-507.07	22
105	Max	-79	-369.37	28	-17477.4	43	2922.79	28	42.18	50	1252.65	50	41.68	37	9228.08	37	299.39	50
105	Max	-80	-369.37	28	-17477.4	43	2922.79	28	42.18	50	1252.65	50	41.68	37	9228.08	37	299.39	50
105	Max	-106	-369.37	28	-17477.4	43	2922.79	28	42.18	50	1252.65	50	41.68	37	9228.08	37	299.39	50
105	Max	-105	-369.37	28	-17477.4	43	2922.79	28	42.18	50	1252.65	50	41.68	37	9228.08	37	299.39	50
105	Min.	-79	-912.39	50	-45554.1	51	-2918.18	7	13.24	28	531.4	28	-44.86	22	-9880.64	22	151.85	28
105	Min.	-80	-912.39	50	-45554.1	51	-2918.18	7	13.24	28	531.4	28	-44.86	22	-9880.64	22	151.85	28
105	Min.	-106	-912.39	50	-45554.1	51	-2918.18	7	13.24	28	531.4	28	-44.86	22	-9880.64	22	151.85	28
105	Min.	-105	-912.39	50	-45554.1	51	-2918.18	7	13.24	28	531.4	28	-44.86	22	-9880.64	22	151.85	28
105	Max	-80	-1421.84	43	-17802.9	43	6818.15	28	118.11	50	1222.93	50	37.55	28	8649.15	37	85.32	25
105	Max	-81	-1421.84	43	-17802.9	43	6818.15	28	118.11	50	1222.93	50	37.55	28	8649.15	37	85.32	25
105	Max	-107	-1421.84	43	-17802.9	43	6818.15	28	118.11	50	1222.93	50	37.55	28	8649.15	37	85.32	25
105	Max	-106	-1421.84	43	-17802.9	43	6818.15	28	118.11	50	1222.93	50	37.55	28	8649.15	37	85.32	25
105	Min.	-80	-3464.24	51	-46149.9	51	-6890.36	7	46.19	28	530.53	28	-37.15	7	-9252.61	22	-78.71	10
105	Min.	-81	-3464.24	51	-46149.9	51	-6890.36	7	46.19	28	530.53	28	-37.15	7	-9252.61	22	-78.71	10
105	Min.	-107	-3464.24	51	-46149.9	51	-6890.36	7	46.19	28	530.53	28	-37.15	7	-9252.61	22	-78.71	10
105	Min.	-106	-3464.24	51	-46149.9	51	-6890.36	7	46.19	28	530.53	28	-37.15	7	-9252.61	22	-78.71	10
105	Max	-81	-1652.89	43	-17797.8	43	9632.01	25	121.59	50	1224.05	50	37.25	25	8733.32	37	99.19	25
105	Max	-82	-1652.89	43	-17797.8	43	9632.01	25	121.59	50	1224.05	50	37.25	25	8733.32	37	99.19	25
105	Max	-108	-1652.89	43	-17797.8	43	9632.01	25	121.59	50	1224.05	50	37.25	25	8733.32	37	99.19	25
105	Max	-107	-1652.89	43	-17797.8	43	9632.01	25	121.59	50	1224.05	50	37.25	25	8733.32	37	99.19	25
105	Min.	-81	-4111.56	51	-45574.51	51	-9644.88	10	52.25	28	550.47	28	-37.45	10	-9367.28	22	-94.85	10
105	Min.	-82	-4111.56	51	-45574.51	51	-9644.88	10	52.25	28	550.47	28	-37.45	10	-9367.28	22	-94.85	10
105	Min.	-108	-4111.56	51	-45574.51	51	-9644.88	10	52.25	28	550.47	28	-37.45	10	-9367.28	22	-94.85	10
105	Min.	-107	-4111.56	51	-45574.51	51	-9644.88	10	52.25	28	550.47	28	-37.45	10	-9367.28	22	-94.85	10
105	Max	-82	-1734.99	43	-18184.1	43	11945.4	28	122.14	50	1223.48	50	36.34	28	8345.7	37	110.76	28
105	Max	-83	-1734.99	43	-18184.1	43	11945.4	28	122.14	50	1223.48	50	36.34	28	8345.7	37	110.76	28
105	Max	-109	-1734.99	43	-18184.1	43	11945.4	28	122.14	50	1223.48	50	36.34	28	8345.7	37	110.76	28
105	Max	-108	-1734.99	43	-18184.1	43	11945.4	28	122.14	50	1223.48	50	36.34	28	8345.7	37	110.76	28
105	Min.	-82	-4349.06	51	-45817.1	51	-11944.2	7	56.28	28	574.58	28	-36.12	7	-8963.47	22	-92.79	7
105	Min.	-83	-4349.06	51	-45817.1	51	-11944.2	7	56.28	28	574.58	28	-36.12	7	-8963.47	22	-92.79	7
105	Min.	-109	-4349.06	51	-45817.1	51	-11944.2	7	56.28	28	574.58	28	-36.12	7	-8963.47	22	-92.79	7
105	Min.	-108	-4349.06	51	-45817.1	51	-11944.2	7	56.28	28	574.58	28	-36.12	7	-8963.47	22	-92.79	7
105	Max	-83	-1801.7	43	-18471.2	43	13506.7	28	123.26	50	1223.94	50	36.64	25	8179.66	37	109.42	28
105	Max	-84	-1801.7	43	-18471.2	43	13506.7	28	123.26	50	1223.94	50	36.64	25	8179.66	37	109.42	28
105	Max	-110	-1801.7	43	-18471.2	43	13506.7	28	123.26	50	1223.94	50	36.64	25	8179.66	37	109.42	28
105	Max	-109	-1801.7	43	-18471.2	43	13506.7	28	123.26	50	1223.94	50	36.64	25	8179.66	37	109.42	28
105	Min.	-83	-4473.92	51	-45837.7	51	-13506.2	7	60.03	28	601.18	28	-36.61	10	-8806.49	22	-103.1	7
105	Min.	-84	-4473.92	51	-45837.7	51	-13506.2	7	60.03	28	601.18	28	-36.61	10	-8806.49	22	-103.1	7
105	Min.	-110	-4473.92	51	-45837.7	51	-13506.2	7	60.03	28	601.18	28	-36.61	10	-8806.49	22	-103.1	7
105	Min.	-109	-4473.92	51	-45837.7	51	-13506.2	7	60.03	28	601.18	28	-36.61	10	-8806.49	22	-103.1	7
105	Max	-84	-1849.08	43	-18733.43	43	14286.2	28	123.12	51	1224.71	51	36.56	28	7936.22	37	108.29	25
105	Max	-85	-1849.08	43	-18733.43	43	14286.2	28	123.12	51	1224.71	51	36.56	28	7936.22	37	108.29	25
105	Max	-111	-1849.08	43	-18733.43	43	14286.2	28	123.12	51	1224.71	51	36.56	28	7936.22	37	108.29	25
105	Max	-110	-1849.08	43	-18733.43	43	14286.2	28	123.12	51	1224.71	51	36.56	28	7936.22	37	108.29	25
105	Min.	-84	-4530.9	51	-45838.3	51	-14285.8	7	62.15	43	618.41	43	-36.54	7	-8561.32	22	-107.11	10
105	Min.	-85	-4530.9	51	-45838.3	51	-14285.8	7	62.15	43	618.41	43	-36.54	7	-8561.32	22	-107.11	10
105	Min.	-111	-4530.9	51	-45838.3	51	-14285.8	7	62.15	43	618.41	43	-36.54	7	-8561.32	22	-107.11	10
105	Min.	-110	-4530.9	51	-45838.3	51	-14285.8	7	62.15	43	618.41	43	-36.54	7	-8561.32	22	-107.11	10
105	Max	-85	-1849.08	22	-18733.22	22	14285.8	25	123.12	51	1224.71	51	36.54	25	7936.22	16	107.11	28
105	Max	-86	-1849.08	22	-18733.22	22	14285.8	25	123.12	51	1224.71	51	36.54	25	7936.22	16	107.11	28
105	Max	-112	-1849.08	22	-18733.22	22	14285.8	25	123.12	51	1224.71	51	36.54	25	7936.22	16	107.11	28
105	Max	-111	-1849.08	22	-18733.22	22	14285.8	25	123.12	51	1224.71	51	36.54	25	7936.22	16	107.11	28
105	Min.	-85	-4530.9	51	-45838.3	51	-14286.2	10	62.15	22	618.41	22	-36.56	10	-8561.32	43	-108.29	7
105	Min.	-86	-4530.9	51	-45838.3	51	-14286.2	10	62.15	22	618.41	22	-36.56	10	-8561.32	43	-108.29	7
105	Min.	-112	-4530.9	51	-45838.3	51	-14286.2	10	62.15	22	618.41	22	-36.56	10	-8561.32	43	-108.29	7
105	Min.	-111	-4530.9	51	-45838.3	51	-14286.2	10	62.15	22	618.41	22	-36.56	10	-8561.32	43	-108.29	7
105	Max	-86	-1801.7	22	-18471.2	22	13506.2	25	123.26	49	1223.94	49	36.61	28	8179.66	16	103.1	25
105	Max	-87	-1801.7	22	-18471.2	22	13506.2	25	123.26	49	1223.94	49	36.61	28	8179.66	16	103.1	25
105	Max	-113	-1801.7	22	-18471.2	22	13506.2	25	123.26	49	1223.94	49	36.61	28	8179.66	16	103.1	25
105	Max	-112	-1801.7	22	-18471.2	22	13506.2	25	123.26	49	1223.94	49	36.61	28	8179.66	16	103.1	25
105	Min.	-86	-4473.92	51	-45837.7	51	-13506.7	10	60.03	10	601.18	10	-36.64	7	-8806.49	43	-109.42	10
105	Min.	-87	-4473.92	51	-45837.7	51	-13506.7	10	60.03	10	601.18	10	-36.64	7	-8806.49	43	-109.42	10
105	Min.	-113	-4473.92	51	-45837.7	51	-13506.7	10	60.03	10	601.18	10	-36.64	7	-8806.49	43	-109.42	10
105	Min.	-112	-4473.92	51	-45837.7	51	-13506.7	10	60.03	10	601.18	10	-36.64	7	-8806.49	43	-109.42	10
105	Max	-87	-1734.99	22	-18184.1	22	11944.2	25	122.14	49	1223.48	49	36.12	25	8345.7	16	92.79	25
105	Max	-88	-1734.99	22	-18184.1	22	11944.2	25	122.14	49	1223.48	49	36.12	25	8345.7	16	92.79	25
105	Max	-114	-1734.99	22	-18184.1	22	11944.2	25	122.14	49	1223.48							

Relazione di calcolo

105	Max	-115	-1652.89	22	-17797.8	22	9644.88	28	121.59	49	1224.05	49	37.45	28	8733.32	16	94.85	28
105	Max	-114	-1652.89	22	-17797.8	22	9644.88	28	121.59	49	1224.05	49	37.45	28	8733.32	16	94.85	28
105	Min.	-88	-4111.56	51	-45574	51	-9632.01	7	52.25	10	550.47	10	-37.25	7	-9367.28	43	-99.19	7
105	Min.	-89	-4111.56	51	-45574	51	-9632.01	7	52.25	10	550.47	10	-37.25	7	-9367.28	43	-99.19	7
105	Min.	-115	-4111.56	51	-45574	51	-9632.01	7	52.25	10	550.47	10	-37.25	7	-9367.28	43	-99.19	7
105	Min.	-114	-4111.56	51	-45574	51	-9632.01	7	52.25	10	550.47	10	-37.25	7	-9367.28	43	-99.19	7
105	Max	-89	-1421.84	22	-17802.9	22	6890.36	25	118.11	49	1222.93	49	37.15	25	8649.15	16	78.71	28
105	Max	-90	-1421.84	22	-17802.9	22	6890.36	25	118.11	49	1222.93	49	37.15	25	8649.15	16	78.71	28
105	Max	-116	-1421.84	22	-17802.9	22	6890.36	25	118.11	49	1222.93	49	37.15	25	8649.15	16	78.71	28
105	Max	-115	-1421.84	22	-17802.9	22	6890.36	25	118.11	49	1222.93	49	37.15	25	8649.15	16	78.71	28
105	Min.	-89	-3464.24	51	-46149.9	51	-6818.15	10	46.19	10	530.53	10	-37.55	10	-9252.61	43	-85.32	7
105	Min.	-90	-3464.24	51	-46149.9	51	-6818.15	10	46.19	10	530.53	10	-37.55	10	-9252.61	43	-85.32	7
105	Min.	-116	-3464.24	51	-46149.9	51	-6818.15	10	46.19	10	530.53	10	-37.55	10	-9252.61	43	-85.32	7
105	Min.	-115	-3464.24	51	-46149.9	51	-6818.15	10	46.19	10	530.53	10	-37.55	10	-9252.61	43	-85.32	7
105	Max	-90	-369.37	10	-17477.4	22	2918.18	25	42.18	49	1252.65	49	44.86	43	9228.08	16	-151.85	10
105	Max	-91	-369.37	10	-17477.4	22	2918.18	25	42.18	49	1252.65	49	44.86	43	9228.08	16	-151.85	10
105	Max	-117	-369.37	10	-17477.4	22	2918.18	25	42.18	49	1252.65	49	44.86	43	9228.08	16	-151.85	10
105	Max	-116	-369.37	10	-17477.4	22	2918.18	25	42.18	49	1252.65	49	44.86	43	9228.08	16	-151.85	10
105	Min.	-90	-912.39	49	-45554.1	51	-2922.79	10	13.24	10	531.4	10	-41.68	16	-9880.64	43	-299.39	49
105	Min.	-91	-912.39	49	-45554.1	51	-2922.79	10	13.24	10	531.4	10	-41.68	16	-9880.64	43	-299.39	49
105	Min.	-117	-912.39	49	-45554.1	51	-2922.79	10	13.24	10	531.4	10	-41.68	16	-9880.64	43	-299.39	49
105	Min.	-116	-912.39	49	-45554.1	51	-2922.79	10	13.24	10	531.4	10	-41.68	16	-9880.64	43	-299.39	49
105	Max	-105	-1192.8	22	-16219.1	19	4164.66	28	254.36	37	3032.92	37	-3.2	28	9939.11	37	472.3	16
105	Max	-106	-1192.8	22	-16219.1	19	4164.66	28	254.36	37	3032.92	37	-3.2	28	9939.11	37	472.3	16
105	Max	-171	-1192.8	22	-16219.1	19	4164.66	28	254.36	37	3032.92	37	-3.2	28	9939.11	37	472.3	16
105	Max	-170	-1192.8	22	-16219.1	19	4164.66	28	254.36	37	3032.92	37	-3.2	28	9939.11	37	472.3	16
105	Min.	-105	-2609.28	51	-43845.1	51	-1671.96	7	-156.14	22	-1634.24	22	-44.01	7	-8868.89	22	-352.14	43
105	Min.	-106	-2609.28	51	-43845.1	51	-1671.96	7	-156.14	22	-1634.24	22	-44.01	7	-8868.89	22	-352.14	43
105	Min.	-171	-2609.28	51	-43845.1	51	-1671.96	7	-156.14	22	-1634.24	22	-44.01	7	-8868.89	22	-352.14	43
105	Min.	-170	-2609.28	51	-43845.1	51	-1671.96	7	-156.14	22	-1634.24	22	-44.01	7	-8868.89	22	-352.14	43
105	Max	-106	-1340.24	19	-15237.3	19	7156.25	25	306.63	37	2975.92	37	20.6	25	10036.2	37	240.05	22
105	Max	-107	-1340.24	19	-15237.3	19	7156.25	25	306.63	37	2975.92	37	20.6	25	10036.2	37	240.05	22
105	Max	-172	-1340.24	19	-15237.3	19	7156.25	25	306.63	37	2975.92	37	20.6	25	10036.2	37	240.05	22
105	Max	-171	-1340.24	19	-15237.3	19	7156.25	25	306.63	37	2975.92	37	20.6	25	10036.2	37	240.05	22
105	Min.	-106	-3661.1	51	-42449.8	51	-6204.4	10	-172.05	22	-1594.74	22	-25.04	10	-8553.82	22	-217.23	37
105	Min.	-107	-3661.1	51	-42449.8	51	-6204.4	10	-172.05	22	-1594.74	22	-25.04	10	-8553.82	22	-217.23	37
105	Min.	-172	-3661.1	51	-42449.8	51	-6204.4	10	-172.05	22	-1594.74	22	-25.04	10	-8553.82	22	-217.23	37
105	Min.	-171	-3661.1	51	-42449.8	51	-6204.4	10	-172.05	22	-1594.74	22	-25.04	10	-8553.82	22	-217.23	37
105	Max	-107	-1518.59	19	-16124.9	19	9816	25	287.86	37	2920.82	37	25.75	28	9455.31	37	90.11	13
105	Max	-108	-1518.59	19	-16124.9	19	9816	25	287.86	37	2920.82	37	25.75	28	9455.31	37	90.11	13
105	Max	-173	-1518.59	19	-16124.9	19	9816	25	287.86	37	2920.82	37	25.75	28	9455.31	37	90.11	13
105	Max	-172	-1518.59	19	-16124.9	19	9816	25	287.86	37	2920.82	37	25.75	28	9455.31	37	90.11	13
105	Min.	-107	-4075.15	51	-42950.3	51	-9555.24	10	-150.47	22	-1546.4	22	-24.26	7	-8244.56	22	-94.05	46
105	Min.	-108	-4075.15	51	-42950.3	51	-9555.24	10	-150.47	22	-1546.4	22	-24.26	7	-8244.56	22	-94.05	46
105	Min.	-173	-4075.15	51	-42950.3	51	-9555.24	10	-150.47	22	-1546.4	22	-24.26	7	-8244.56	22	-94.05	46
105	Min.	-172	-4075.15	51	-42950.3	51	-9555.24	10	-150.47	22	-1546.4	22	-24.26	7	-8244.56	22	-94.05	46
105	Max	-108	-1594.43	19	-16292.1	19	12047.1	25	287.93	37	2872.48	37	27.65	25	9370.04	37	85.43	10
105	Max	-109	-1594.43	19	-16292.1	19	12047.1	25	287.93	37	2872.48	37	27.65	25	9370.04	37	85.43	10
105	Max	-174	-1594.43	19	-16292.1	19	12047.1	25	287.93	37	2872.48	37	27.65	25	9370.04	37	85.43	10
105	Max	-173	-1594.43	19	-16292.1	19	12047.1	25	287.93	37	2872.48	37	27.65	25	9370.04	37	85.43	10
105	Min.	-108	-4189.27	51	-43046.2	51	-11912.7	10	-150.37	22	-1494.13	22	-26.11	10	-8094.37	22	-76.29	25
105	Min.	-109	-4189.27	51	-43046.2	51	-11912.7	10	-150.37	22	-1494.13	22	-26.11	10	-8094.37	22	-76.29	25
105	Min.	-174	-4189.27	51	-43046.2	51	-11912.7	10	-150.37	22	-1494.13	22	-26.11	10	-8094.37	22	-76.29	25
105	Min.	-173	-4189.27	51	-43046.2	51	-11912.7	10	-150.37	22	-1494.13	22	-26.11	10	-8094.37	22	-76.29	25
105	Max	-109	-1628.03	19	-16506.2	19	13572.6	25	282.5	37	2825.26	37	28.04	28	9101.05	37	76.63	10
105	Max	-110	-1628.03	19	-16506.2	19	13572.6	25	282.5	37	2825.26	37	28.04	28	9101.05	37	76.63	10
105	Max	-175	-1628.03	19	-16506.2	19	13572.6	25	282.5	37	2825.26	37	28.04	28	9101.05	37	76.63	10
105	Max	-174	-1628.03	19	-16506.2	19	13572.6	25	282.5	37	2825.26	37	28.04	28	9101.05	37	76.63	10
105	Min.	-109	-4256.75	51	-43117.8	51	-13504.8	10	-143.98	22	-1444.84	22	-26.75	7	-7831.5	22	-73.83	25
105	Min.	-110	-4256.75	51	-43117.8	51	-13504.8	10	-143.98	22	-1444.84	22	-26.75	7	-7831.5	22	-73.83	25
105	Min.	-175	-4256.75	51	-43117.8	51	-13504.8	10	-143.98	22	-1444.84	22	-26.75	7	-7831.5	22	-73.83	25
105	Min.	-174	-4256.75	51	-43117.8	51	-13504.8	10	-143.98	22	-1444.84	22	-26.75	7	-7831.5	22	-73.83	25
105	Max	-110	-1656.16	19	-16684.1	19	14334.4	25	277.92	37	2777.59	37	27.96	25	8887.42	37	75.57	7
105	Max	-111	-1656.16	19	-16684.1	19	14334.4	25	277.92	37	2777.59	37	27.96	25	8887.42	37	75.57	7
105	Max	-176	-1656.16	19	-16684.1	19	14334.4	25	277.92	37	2777.59	37	27.96	25	8887.42	37	75.57	7
105	Max	-175	-1656.16	19	-16684.1	19	14334.4	25	277.92	37	2777.59	37	27.96	25	8887.42	37	75.57	7
105	Min.	-110	-4284.73	51	-43111.8	51	-14314.5	10	-139.46	22	-1396.48	22	-27.59	10	-7622.28	22	-75.17	28
105	Min.	-111	-4284.73	51	-43111.8	51	-14314.5	10	-139.46	22	-1396.48	22	-27.59	10	-7622.28	22	-75.17	28
105	Min.	-176	-4284.73	51	-43111.8	51	-14314.5	10	-139.46	22	-1396.48	22	-27.59	10	-7622.28	22	-75.17	28
105	Min.	-175	-4284.73	51	-43111.8	51	-14314.5	10	-139.46	22	-1396.48	22	-27.59	10	-7622.28	22	-75.17	28
105	Max	-111	-1656.16	46	-16684.1	46	14314.5	28	277.92	16	2777.59	16	27.59	28	8887.42	16	75.17	10
105	Max	-112	-1656.16	46	-16684.1	46	14314.5	28	2									

Relazione di calcolo

105	Max	-113	-1628.03	46	-16506.2	46	13504.8	28	282.5	16	2825.26	16	26.75	25	9101.05	16	73.83	7
105	Max	-178	-1628.03	46	-16506.2	46	13504.8	28	282.5	16	2825.26	16	26.75	25	9101.05	16	73.83	7
105	Max	-177	-1628.03	46	-16506.2	46	13504.8	28	282.5	16	2825.26	16	26.75	25	9101.05	16	73.83	7
105	Min.	-112	-4256.75	51	-43117.8	51	-13572.6	7	-143.98	43	-1444.84	43	-28.04	10	-7831.5	43	-76.63	28
105	Min.	-113	-4256.75	51	-43117.8	51	-13572.6	7	-143.98	43	-1444.84	43	-28.04	10	-7831.5	43	-76.63	28
105	Min.	-178	-4256.75	51	-43117.8	51	-13572.6	7	-143.98	43	-1444.84	43	-28.04	10	-7831.5	43	-76.63	28
105	Min.	-177	-4256.75	51	-43117.8	51	-13572.6	7	-143.98	43	-1444.84	43	-28.04	10	-7831.5	43	-76.63	28
105	Max	-113	-1594.43	46	-16292.1	46	11912.7	28	287.93	16	2872.48	16	26.11	28	9370.04	16	76.29	7
105	Max	-114	-1594.43	46	-16292.1	46	11912.7	28	287.93	16	2872.48	16	26.11	28	9370.04	16	76.29	7
105	Max	-179	-1594.43	46	-16292.1	46	11912.7	28	287.93	16	2872.48	16	26.11	28	9370.04	16	76.29	7
105	Max	-178	-1594.43	46	-16292.1	46	11912.7	28	287.93	16	2872.48	16	26.11	28	9370.04	16	76.29	7
105	Min.	-113	-4189.27	51	-43046.2	51	-12047.1	7	-150.37	43	-1494.13	43	-27.65	7	-8094.37	43	-85.43	28
105	Min.	-114	-4189.27	51	-43046.2	51	-12047.1	7	-150.37	43	-1494.13	43	-27.65	7	-8094.37	43	-85.43	28
105	Min.	-179	-4189.27	51	-43046.2	51	-12047.1	7	-150.37	43	-1494.13	43	-27.65	7	-8094.37	43	-85.43	28
105	Min.	-178	-4189.27	51	-43046.2	51	-12047.1	7	-150.37	43	-1494.13	43	-27.65	7	-8094.37	43	-85.43	28
105	Max	-114	-1518.59	46	-16124.9	46	9555.24	28	287.86	16	2920.82	16	24.26	25	9455.31	16	94.05	19
105	Max	-115	-1518.59	46	-16124.9	46	9555.24	28	287.86	16	2920.82	16	24.26	25	9455.31	16	94.05	19
105	Max	-180	-1518.59	46	-16124.9	46	9555.24	28	287.86	16	2920.82	16	24.26	25	9455.31	16	94.05	19
105	Max	-179	-1518.59	46	-16124.9	46	9555.24	28	287.86	16	2920.82	16	24.26	25	9455.31	16	94.05	19
105	Min.	-114	-4075.15	51	-42950.3	51	-9816	7	-150.47	43	-1546.4	43	-25.75	10	-8244.56	43	-90.11	40
105	Min.	-115	-4075.15	51	-42950.3	51	-9816	7	-150.47	43	-1546.4	43	-25.75	10	-8244.56	43	-90.11	40
105	Min.	-180	-4075.15	51	-42950.3	51	-9816	7	-150.47	43	-1546.4	43	-25.75	10	-8244.56	43	-90.11	40
105	Min.	-179	-4075.15	51	-42950.3	51	-9816	7	-150.47	43	-1546.4	43	-25.75	10	-8244.56	43	-90.11	40
105	Max	-115	-1340.24	46	-15237.3	46	6204.39	28	306.63	16	2975.92	16	25.04	28	10036.2	16	217.24	16
105	Max	-116	-1340.24	46	-15237.3	46	6204.39	28	306.63	16	2975.92	16	25.04	28	10036.2	16	217.24	16
105	Max	-181	-1340.24	46	-15237.3	46	6204.39	28	306.63	16	2975.92	16	25.04	28	10036.2	16	217.24	16
105	Max	-180	-1340.24	46	-15237.3	46	6204.39	28	306.63	16	2975.92	16	25.04	28	10036.2	16	217.24	16
105	Min.	-115	-3661.1	51	-42449.8	51	-7156.26	7	-172.05	43	-1594.74	43	-20.6	7	-8553.82	43	-240.05	43
105	Min.	-116	-3661.1	51	-42449.8	51	-7156.26	7	-172.05	43	-1594.74	43	-20.6	7	-8553.82	43	-240.05	43
105	Min.	-181	-3661.1	51	-42449.8	51	-7156.26	7	-172.05	43	-1594.74	43	-20.6	7	-8553.82	43	-240.05	43
105	Min.	-180	-3661.1	51	-42449.8	51	-7156.26	7	-172.05	43	-1594.74	43	-20.6	7	-8553.82	43	-240.05	43
105	Max	-116	-1192.8	43	-16219.1	46	1671.96	25	254.36	16	3032.92	16	44.01	25	9939.11	16	352.14	22
105	Max	-117	-1192.8	43	-16219.1	46	1671.96	25	254.36	16	3032.92	16	44.01	25	9939.11	16	352.14	22
105	Max	-182	-1192.8	43	-16219.1	46	1671.96	25	254.36	16	3032.92	16	44.01	25	9939.11	16	352.14	22
105	Max	-181	-1192.8	43	-16219.1	46	1671.96	25	254.36	16	3032.92	16	44.01	25	9939.11	16	352.14	22
105	Min.	-116	-2609.28	51	-43845.1	51	-4164.66	10	-156.14	43	-1634.24	43	3.2	10	-8868.89	43	-472.3	37
105	Min.	-117	-2609.28	51	-43845.1	51	-4164.66	10	-156.14	43	-1634.24	43	3.2	10	-8868.89	43	-472.3	37
105	Min.	-182	-2609.28	51	-43845.1	51	-4164.66	10	-156.14	43	-1634.24	43	3.2	10	-8868.89	43	-472.3	37
105	Min.	-181	-2609.28	51	-43845.1	51	-4164.66	10	-156.14	43	-1634.24	43	3.2	10	-8868.89	43	-472.3	37
105	Max	-57	-1993.3	43	-20169.7	43	13380.9	28	306.93	22	3068.1	22	36.43	34	6264.57	37	183.23	25
105	Max	-58	-1993.3	43	-20169.7	43	13380.9	28	306.93	22	3068.1	22	36.43	34	6264.57	37	183.23	25
105	Max	-84	-1993.3	43	-20169.7	43	13380.9	28	306.93	22	3068.1	22	36.43	34	6264.57	37	183.23	25
105	Max	-83	-1993.3	43	-20169.7	43	13380.9	28	306.93	22	3068.1	22	36.43	34	6264.57	37	183.23	25
105	Min.	-57	-4798.61	51	-48534.3	51	-13447.1	7	-113.58	37	-1139.07	37	-37.75	1	-10670.8	22	-179.7	10
105	Min.	-58	-4798.61	51	-48534.3	51	-13447.1	7	-113.58	37	-1139.07	37	-37.75	1	-10670.8	22	-179.7	10
105	Min.	-84	-4798.61	51	-48534.3	51	-13447.1	7	-113.58	37	-1139.07	37	-37.75	1	-10670.8	22	-179.7	10
105	Min.	-83	-4798.61	51	-48534.3	51	-13447.1	7	-113.58	37	-1139.07	37	-37.75	1	-10670.8	22	-179.7	10
105	Max	-55	-1861.84	43	-18957.43	9409.19	28	315.23	22	3193.21	22	33	34	6686.34	37	170.16	28	
105	Max	-56	-1861.84	43	-18957.43	9409.19	28	315.23	22	3193.21	22	33	34	6686.34	37	170.16	28	
105	Max	-82	-1861.84	43	-18957.43	9409.19	28	315.23	22	3193.21	22	33	34	6686.34	37	170.16	28	
105	Max	-81	-1861.84	43	-18957.43	9409.19	28	315.23	22	3193.21	22	33	34	6686.34	37	170.16	28	
105	Min.	-55	-4607.61	51	-48335.7	51	-9694.19	7	-124.11	37	-1272.06	37	-34.38	1	-11008.3	22	-161.88	7
105	Min.	-56	-4607.61	51	-48335.7	51	-9694.19	7	-124.11	37	-1272.06	37	-34.38	1	-11008.3	22	-161.88	7
105	Min.	-82	-4607.61	51	-48335.7	51	-9694.19	7	-124.11	37	-1272.06	37	-34.38	1	-11008.3	22	-161.88	7
105	Min.	-81	-4607.61	51	-48335.7	51	-9694.19	7	-124.11	37	-1272.06	37	-34.38	1	-11008.3	22	-161.88	7
105	Max	-54	-1554.47	28	-18739.8	43	6096.09	28	338.02	22	3263.15	22	32.88	31	6998.19	37	246.82	37
105	Max	-55	-1554.47	28	-18739.8	43	6096.09	28	338.02	22	3263.15	22	32.88	31	6998.19	37	246.82	37
105	Max	-81	-1554.47	28	-18739.8	43	6096.09	28	338.02	22	3263.15	22	32.88	31	6998.19	37	246.82	37
105	Max	-80	-1554.47	28	-18739.8	43	6096.09	28	338.02	22	3263.15	22	32.88	31	6998.19	37	246.82	37
105	Min.	-54	-4213.33	50	-47755.4	51	-7179.3	7	-146.41	37	-1334.04	37	-28.63	4	-11641.8	22	-263.03	22
105	Min.	-55	-4213.33	50	-47755.4	51	-7179.3	7	-146.41	37	-1334.04	37	-28.63	4	-11641.8	22	-263.03	22
105	Min.	-81	-4213.33	50	-47755.4	51	-7179.3	7	-146.41	37	-1334.04	37	-28.63	4	-11641.8	22	-263.03	22
105	Min.	-80	-4213.33	50	-47755.4	51	-7179.3	7	-146.41	37	-1334.04	37	-28.63	4	-11641.8	22	-263.03	22
105	Max	-56	-1913.75	43	-19605.2	43	11796.2	28	314.15	22	3130.65	22	35.1	31	6524.52	37	186.96	25
105	Max	-57	-1913.75	43	-19605.2	43	11796.2	28	314.15	22	3130.65	22	35.1	31	6524.52	37	186.96	25
105	Max	-83	-1913.75	43	-19605.2	43	11796.2	28	314.15	22	3130.65	22	35.1	31	6524.52	37	186.96	25
105	Max	-82	-1913.75	43	-19605.2	43	11796.2	28	314.15	22	3130.65	22	35.1	31	6524.52	37	186.96	25
105	Min.	-56	-4729.07	51	-48463.7	51	-11934	7	-121.52	37	-1204.47	37	-36.86	4	-10944.7	22	-178.13	10
105	Min.	-57	-4729.07	51	-48463.7	51	-11934	7	-121.52	37	-1204.47	37	-36.86	4	-10944.7	22	-178.13	10
105	Min.	-83	-4729.07	51	-48463.7	51	-11934	7	-121.52	37	-1204.47	37	-36.86	4	-10944.7	22	-178.13	10
105	Min.	-82	-4729.07	51	-48463.7	51	-11934	7	-121.52	37	-1204.47	37	-36.86	4	-10944.7	22	-178.13	10
106	Max	-98	-1656.16	37	-16684.1	37	14314.5	31	277.92	19	2777.59	19	27.59					

Relazione di calcolo

106	Max	-94	-1340.24	37	-15237.3	37	6204.39	31	306.63	19	2975.92	19	25.04	31	10036.2	19	217.24	19
106	Max	-93	-1340.24	37	-15237.3	37	6204.39	31	306.63	19	2975.92	19	25.04	31	10036.2	19	217.24	19
106	Max	-119	-1340.24	37	-15237.3	37	6204.39	31	306.63	19	2975.92	19	25.04	31	10036.2	19	217.24	19
106	Max	-120	-1340.24	37	-15237.3	37	6204.39	31	306.63	19	2975.92	19	25.04	31	10036.2	19	217.24	19
106	Min.	-94	-3661.1	52	-42449.8	52	-7156.26	4	-172.05	40	-1594.74	40	-20.6	4	-8553.82	40	-240.05	40
106	Min.	-93	-3661.1	52	-42449.8	52	-7156.26	4	-172.05	40	-1594.74	40	-20.6	4	-8553.82	40	-240.05	40
106	Min.	-119	-3661.1	52	-42449.8	52	-7156.26	4	-172.05	40	-1594.74	40	-20.6	4	-8553.82	40	-240.05	40
106	Min.	-120	-3661.1	52	-42449.8	52	-7156.26	4	-172.05	40	-1594.74	40	-20.6	4	-8553.82	40	-240.05	40
106	Max	-93	-1192.8	40	-16219.1	37	1671.96	34	254.36	19	3032.92	19	44.01	34	9939.11	19	352.14	13
106	Max	-92	-1192.8	40	-16219.1	37	1671.96	34	254.36	19	3032.92	19	44.01	34	9939.11	19	352.14	13
106	Max	-118	-1192.8	40	-16219.1	37	1671.96	34	254.36	19	3032.92	19	44.01	34	9939.11	19	352.14	13
106	Max	-119	-1192.8	40	-16219.1	37	1671.96	34	254.36	19	3032.92	19	44.01	34	9939.11	19	352.14	13
106	Min.	-93	-2609.28	52	-43845.1	52	-4164.66	1	-156.14	40	-1634.24	40	3.2	1	-8868.89	40	-472.3	46
106	Min.	-92	-2609.28	52	-43845.1	52	-4164.66	1	-156.14	40	-1634.24	40	3.2	1	-8868.89	40	-472.3	46
106	Min.	-118	-2609.28	52	-43845.1	52	-4164.66	1	-156.14	40	-1634.24	40	3.2	1	-8868.89	40	-472.3	46
106	Min.	-119	-2609.28	52	-43845.1	52	-4164.66	1	-156.14	40	-1634.24	40	3.2	1	-8868.89	40	-472.3	46
106	Max	-97	-1628.03	37	-16506.2	37	13504.8	31	282.5	19	2825.26	19	26.75	34	9101.05	19	73.83	4
106	Max	-96	-1628.03	37	-16506.2	37	13504.8	31	282.5	19	2825.26	19	26.75	34	9101.05	19	73.83	4
106	Max	-122	-1628.03	37	-16506.2	37	13504.8	31	282.5	19	2825.26	19	26.75	34	9101.05	19	73.83	4
106	Max	-123	-1628.03	37	-16506.2	37	13504.8	31	282.5	19	2825.26	19	26.75	34	9101.05	19	73.83	4
106	Min.	-97	-4256.75	52	-43117.8	52	-13572.6	4	-143.98	40	-1444.84	40	-28.04	1	-7831.5	40	-76.63	31
106	Min.	-96	-4256.75	52	-43117.8	52	-13572.6	4	-143.98	40	-1444.84	40	-28.04	1	-7831.5	40	-76.63	31
106	Min.	-122	-4256.75	52	-43117.8	52	-13572.6	4	-143.98	40	-1444.84	40	-28.04	1	-7831.5	40	-76.63	31
106	Min.	-123	-4256.75	52	-43117.8	52	-13572.6	4	-143.98	40	-1444.84	40	-28.04	1	-7831.5	40	-76.63	31
106	Max	-96	-1594.43	37	-16292.1	37	11912.7	31	287.93	19	2872.48	19	26.11	31	9370.04	19	76.29	4
106	Max	-95	-1594.43	37	-16292.1	37	11912.7	31	287.93	19	2872.48	19	26.11	31	9370.04	19	76.29	4
106	Max	-121	-1594.43	37	-16292.1	37	11912.7	31	287.93	19	2872.48	19	26.11	31	9370.04	19	76.29	4
106	Max	-122	-1594.43	37	-16292.1	37	11912.7	31	287.93	19	2872.48	19	26.11	31	9370.04	19	76.29	4
106	Min.	-96	-4189.27	52	-43046.2	52	-12047.1	4	-150.37	40	-1494.13	40	-27.65	4	-8094.37	40	-85.43	31
106	Min.	-95	-4189.27	52	-43046.2	52	-12047.1	4	-150.37	40	-1494.13	40	-27.65	4	-8094.37	40	-85.43	31
106	Min.	-121	-4189.27	52	-43046.2	52	-12047.1	4	-150.37	40	-1494.13	40	-27.65	4	-8094.37	40	-85.43	31
106	Min.	-122	-4189.27	52	-43046.2	52	-12047.1	4	-150.37	40	-1494.13	40	-27.65	4	-8094.37	40	-85.43	31
106	Max	-95	-1518.59	37	-16124.9	37	9555.24	31	287.86	19	2920.82	19	24.26	34	9455.31	19	94.05	16
106	Max	-94	-1518.59	37	-16124.9	37	9555.24	31	287.86	19	2920.82	19	24.26	34	9455.31	19	94.05	16
106	Max	-120	-1518.59	37	-16124.9	37	9555.24	31	287.86	19	2920.82	19	24.26	34	9455.31	19	94.05	16
106	Max	-121	-1518.59	37	-16124.9	37	9555.24	31	287.86	19	2920.82	19	24.26	34	9455.31	19	94.05	16
106	Min.	-95	-4075.15	52	-42950.3	52	-9816	4	-150.47	40	-1546.4	40	-25.75	1	-8244.56	40	-90.11	43
106	Min.	-94	-4075.15	52	-42950.3	52	-9816	4	-150.47	40	-1546.4	40	-25.75	1	-8244.56	40	-90.11	43
106	Min.	-120	-4075.15	52	-42950.3	52	-9816	4	-150.47	40	-1546.4	40	-25.75	1	-8244.56	40	-90.11	43
106	Min.	-121	-4075.15	52	-42950.3	52	-9816	4	-150.47	40	-1546.4	40	-25.75	1	-8244.56	40	-90.11	43
106	Max	-99	-1656.16	16	-16684.1	16	14334.4	34	277.92	46	2777.59	46	27.96	34	8887.42	46	75.57	4
106	Max	-98	-1656.16	16	-16684.1	16	14334.4	34	277.92	46	2777.59	46	27.96	34	8887.42	46	75.57	4
106	Max	-124	-1656.16	16	-16684.1	16	14334.4	34	277.92	46	2777.59	46	27.96	34	8887.42	46	75.57	4
106	Max	-125	-1656.16	16	-16684.1	16	14334.4	34	277.92	46	2777.59	46	27.96	34	8887.42	46	75.57	4
106	Min.	-99	-4284.73	52	-43111.8	52	-14314.5	1	-139.46	13	-1396.48	13	-27.59	1	-7622.28	13	-75.17	31
106	Min.	-98	-4284.73	52	-43111.8	52	-14314.5	1	-139.46	13	-1396.48	13	-27.59	1	-7622.28	13	-75.17	31
106	Min.	-124	-4284.73	52	-43111.8	52	-14314.5	1	-139.46	13	-1396.48	13	-27.59	1	-7622.28	13	-75.17	31
106	Min.	-125	-4284.73	52	-43111.8	52	-14314.5	1	-139.46	13	-1396.48	13	-27.59	1	-7622.28	13	-75.17	31
106	Max	-13	-889.12	31	-16778.2	31	2204.13	31	281.4	13	3334.5	13	54.82	25	7308.35	46	507.07	40
106	Max	-12	-889.12	31	-16778.2	31	2204.13	31	281.4	13	3334.5	13	54.82	25	7308.35	46	507.07	40
106	Max	-77	-889.12	31	-16778.2	31	2204.13	31	281.4	13	3334.5	13	54.82	25	7308.35	46	507.07	40
106	Max	-78	-889.12	31	-16778.2	31	2204.13	31	281.4	13	3334.5	13	54.82	25	7308.35	46	507.07	40
106	Min.	-13	-3071.41	49	-49465.5	49	-5044.45	4	-134.59	46	-1379.3	46	-4.39	10	-11536.8	13	-302.44	19
106	Min.	-12	-3071.41	49	-49465.5	49	-5044.45	4	-134.59	46	-1379.3	46	-4.39	10	-11536.8	13	-302.44	19
106	Min.	-77	-3071.41	49	-49465.5	49	-5044.45	4	-134.59	46	-1379.3	46	-4.39	10	-11536.8	13	-302.44	19
106	Min.	-78	-3071.41	49	-49465.5	49	-5044.45	4	-134.59	46	-1379.3	46	-4.39	10	-11536.8	13	-302.44	19
106	Max	-70	-1734.99	13	-18184.1	13	11944.2	34	122.14	50	1223.48	50	36.12	34	8345.7	19	92.79	34
106	Max	-69	-1734.99	13	-18184.1	13	11944.2	34	122.14	50	1223.48	50	36.12	34	8345.7	19	92.79	34
106	Max	-95	-1734.99	13	-18184.1	13	11944.2	34	122.14	50	1223.48	50	36.12	34	8345.7	19	92.79	34
106	Max	-96	-1734.99	13	-18184.1	13	11944.2	34	122.14	50	1223.48	50	36.12	34	8345.7	19	92.79	34
106	Min.	-70	-4349.06	52	-45817.1	52	-11945.4	1	56.28	1	574.58	1	-36.34	1	-8963.47	40	-110.76	1
106	Min.	-69	-4349.06	52	-45817.1	52	-11945.4	1	56.28	1	574.58	1	-36.34	1	-8963.47	40	-110.76	1
106	Min.	-95	-4349.06	52	-45817.1	52	-11945.4	1	56.28	1	574.58	1	-36.34	1	-8963.47	40	-110.76	1
106	Min.	-96	-4349.06	52	-45817.1	52	-11945.4	1	56.28	1	574.58	1	-36.34	1	-8963.47	40	-110.76	1
106	Max	-69	-1652.89	13	-17797.8	13	9644.88	31	121.59	50	1224.05	50	37.45	31	8733.32	19	94.85	31
106	Max	-68	-1652.89	13	-17797.8	13	9644.88	31	121.59	50	1224.05	50	37.45	31	8733.32	19	94.85	31
106	Max	-94	-1652.89	13	-17797.8	13	9644.88	31	121.59	50	1224.05	50	37.45	31	8733.32	19	94.85	31
106	Max	-95	-1652.89	13	-17797.8	13	9644.88	31	121.59	50	1224.05	50	37.45	31	8733.32	19	94.85	31
106	Min.	-69	-4111.56	52	-45574	52	-9632.01	4	52.25	1	550.47	1	-37.25	4	-9367.28	40	-99.19	4
106	Min.	-68	-4111.56	52	-45574	52	-9632.01	4	52.25	1	550.47	1	-37.25	4	-9367.28	40	-99.19	4
106	Min.	-94	-4111.56	52	-45574	52	-9632.01	4	52.25	1	550.47	1	-37.25	4	-9367.28	40	-99.19	4
106	Min.	-95	-4111.56	52	-45574	52	-9632.01	4	52.25	1	550.47	1	-37.25	4	-9367.28	40	-99.19	4
106</																		

Relazione di calcolo

106	Min.	-77	-4213.33	49	-47755.4	52	-7179.3	4	-146.41	46	-1334.04	46	-28.63	7	-11641.8	13	-263.03	13
106	Max	-11	-1861.84	40	-18957	40	9409.19	31	315.23	13	3193.21	13	33	25	6686.34	46	170.16	31
106	Max	-10	-1861.84	40	-18957	40	9409.19	31	315.23	13	3193.21	13	33	25	6686.34	46	170.16	31
106	Max	-75	-1861.84	40	-18957	40	9409.19	31	315.23	13	3193.21	13	33	25	6686.34	46	170.16	31
106	Max	-76	-1861.84	40	-18957	40	9409.19	31	315.23	13	3193.21	13	33	25	6686.34	46	170.16	31
106	Min.	-11	-4607.61	52	-48335.7	52	-9694.19	4	-124.11	46	-1272.06	46	-34.38	10	-11008.3	13	-161.88	4
106	Min.	-10	-4607.61	52	-48335.7	52	-9694.19	4	-124.11	46	-1272.06	46	-34.38	10	-11008.3	13	-161.88	4
106	Min.	-75	-4607.61	52	-48335.7	52	-9694.19	4	-124.11	46	-1272.06	46	-34.38	10	-11008.3	13	-161.88	4
106	Min.	-76	-4607.61	52	-48335.7	52	-9694.19	4	-124.11	46	-1272.06	46	-34.38	10	-11008.3	13	-161.88	4
106	Max	-10	-1913.75	40	-19605.2	40	11796.2	31	314.15	13	3130.65	13	35.1	28	6524.52	46	186.96	34
106	Max	-9	-1913.75	40	-19605.2	40	11796.2	31	314.15	13	3130.65	13	35.1	28	6524.52	46	186.96	34
106	Max	-74	-1913.75	40	-19605.2	40	11796.2	31	314.15	13	3130.65	13	35.1	28	6524.52	46	186.96	34
106	Max	-75	-1913.75	40	-19605.2	40	11796.2	31	314.15	13	3130.65	13	35.1	28	6524.52	46	186.96	34
106	Min.	-10	-4729.07	52	-48463.7	52	-11934	4	-121.52	46	-1204.47	46	-36.86	7	-10944.7	13	-178.13	1
106	Min.	-9	-4729.07	52	-48463.7	52	-11934	4	-121.52	46	-1204.47	46	-36.86	7	-10944.7	13	-178.13	1
106	Min.	-74	-4729.07	52	-48463.7	52	-11934	4	-121.52	46	-1204.47	46	-36.86	7	-10944.7	13	-178.13	1
106	Min.	-75	-4729.07	52	-48463.7	52	-11934	4	-121.52	46	-1204.47	46	-36.86	7	-10944.7	13	-178.13	1
106	Max	-9	-1993.3	40	-20169.7	40	13380.9	31	306.93	13	3068.1	13	36.43	25	6264.57	46	183.23	34
106	Max	-8	-1993.3	40	-20169.7	40	13380.9	31	306.93	13	3068.1	13	36.43	25	6264.57	46	183.23	34
106	Max	-73	-1993.3	40	-20169.7	40	13380.9	31	306.93	13	3068.1	13	36.43	25	6264.57	46	183.23	34
106	Max	-74	-1993.3	40	-20169.7	40	13380.9	31	306.93	13	3068.1	13	36.43	25	6264.57	46	183.23	34
106	Min.	-9	-4798.61	52	-48534.3	52	-13447.1	4	-113.58	46	-1139.07	46	-37.75	10	-10670.8	13	-179.7	1
106	Min.	-8	-4798.61	52	-48534.3	52	-13447.1	4	-113.58	46	-1139.07	46	-37.75	10	-10670.8	13	-179.7	1
106	Min.	-73	-4798.61	52	-48534.3	52	-13447.1	4	-113.58	46	-1139.07	46	-37.75	10	-10670.8	13	-179.7	1
106	Min.	-74	-4798.61	52	-48534.3	52	-13447.1	4	-113.58	46	-1139.07	46	-37.75	10	-10670.8	13	-179.7	1
106	Max	-8	-2056.06	40	-20681.1	40	14180.9	31	300.65	13	3004.33	13	37.4	28	6052.06	46	183.45	31
106	Max	-7	-2056.06	40	-20681.1	40	14180.9	31	300.65	13	3004.33	13	37.4	28	6052.06	46	183.45	31
106	Max	-72	-2056.06	40	-20681.1	40	14180.9	31	300.65	13	3004.33	13	37.4	28	6052.06	46	183.45	31
106	Max	-73	-2056.06	40	-20681.1	40	14180.9	31	300.65	13	3004.33	13	37.4	28	6052.06	46	183.45	31
106	Min.	-8	-4826.48	52	-48529.6	52	-14199.8	4	-107.28	46	-1074.32	46	-37.79	7	-10458	13	-182.66	4
106	Min.	-7	-4826.48	52	-48529.6	52	-14199.8	4	-107.28	46	-1074.32	46	-37.79	7	-10458	13	-182.66	4
106	Min.	-72	-4826.48	52	-48529.6	52	-14199.8	4	-107.28	46	-1074.32	46	-37.79	7	-10458	13	-182.66	4
106	Min.	-73	-4826.48	52	-48529.6	52	-14199.8	4	-107.28	46	-1074.32	46	-37.79	7	-10458	13	-182.66	4
106	Max	-7	-2056.06	13	-20681.1	13	14199.8	34	300.65	40	3004.33	40	37.79	25	6052.06	19	182.66	34
106	Max	-6	-2056.06	13	-20681.1	13	14199.8	34	300.65	40	3004.33	40	37.79	25	6052.06	19	182.66	34
106	Max	-71	-2056.06	13	-20681.1	13	14199.8	34	300.65	40	3004.33	40	37.79	25	6052.06	19	182.66	34
106	Max	-72	-2056.06	13	-20681.1	13	14199.8	34	300.65	40	3004.33	40	37.79	25	6052.06	19	182.66	34
106	Min.	-7	-4826.48	52	-48529.6	52	-14180.9	1	-107.28	19	-1074.32	19	-37.4	10	-10458	40	-183.45	1
106	Min.	-6	-4826.48	52	-48529.6	52	-14180.9	1	-107.28	19	-1074.32	19	-37.4	10	-10458	40	-183.45	1
106	Min.	-71	-4826.48	52	-48529.6	52	-14180.9	1	-107.28	19	-1074.32	19	-37.4	10	-10458	40	-183.45	1
106	Min.	-72	-4826.48	52	-48529.6	52	-14180.9	1	-107.28	19	-1074.32	19	-37.4	10	-10458	40	-183.45	1
106	Max	-6	-1993.3	13	-20169.7	13	13447.1	34	306.93	40	3068.1	40	37.75	28	6264.57	19	179.7	31
106	Max	-5	-1993.3	13	-20169.7	13	13447.1	34	306.93	40	3068.1	40	37.75	28	6264.57	19	179.7	31
106	Max	-70	-1993.3	13	-20169.7	13	13447.1	34	306.93	40	3068.1	40	37.75	28	6264.57	19	179.7	31
106	Max	-71	-1993.3	13	-20169.7	13	13447.1	34	306.93	40	3068.1	40	37.75	28	6264.57	19	179.7	31
106	Min.	-6	-4798.61	52	-48534.3	52	-13380.9	1	-113.58	19	-1139.07	19	-36.43	7	-10670.8	40	-183.23	4
106	Min.	-5	-4798.61	52	-48534.3	52	-13380.9	1	-113.58	19	-1139.07	19	-36.43	7	-10670.8	40	-183.23	4
106	Min.	-70	-4798.61	52	-48534.3	52	-13380.9	1	-113.58	19	-1139.07	19	-36.43	7	-10670.8	40	-183.23	4
106	Min.	-71	-4798.61	52	-48534.3	52	-13380.9	1	-113.58	19	-1139.07	19	-36.43	7	-10670.8	40	-183.23	4
106	Max	-5	-1913.75	13	-19605.2	13	11934	34	314.15	40	3130.65	40	36.86	25	6524.52	19	178.13	31
106	Max	-4	-1913.75	13	-19605.2	13	11934	34	314.15	40	3130.65	40	36.86	25	6524.52	19	178.13	31
106	Max	-69	-1913.75	13	-19605.2	13	11934	34	314.15	40	3130.65	40	36.86	25	6524.52	19	178.13	31
106	Max	-70	-1913.75	13	-19605.2	13	11934	34	314.15	40	3130.65	40	36.86	25	6524.52	19	178.13	31
106	Min.	-5	-4729.07	52	-48463.7	52	-11796.2	1	-121.52	19	-1204.47	19	-35.1	10	-10944.7	40	-186.96	4
106	Min.	-4	-4729.07	52	-48463.7	52	-11796.2	1	-121.52	19	-1204.47	19	-35.1	10	-10944.7	40	-186.96	4
106	Min.	-69	-4729.07	52	-48463.7	52	-11796.2	1	-121.52	19	-1204.47	19	-35.1	10	-10944.7	40	-186.96	4
106	Min.	-70	-4729.07	52	-48463.7	52	-11796.2	1	-121.52	19	-1204.47	19	-35.1	10	-10944.7	40	-186.96	4
106	Max	-4	-1861.84	13	-18957	13	9694.19	34	315.23	40	3193.21	40	34.38	28	6686.34	19	161.88	34
106	Max	-3	-1861.84	13	-18957	13	9694.19	34	315.23	40	3193.21	40	34.38	28	6686.34	19	161.88	34
106	Max	-68	-1861.84	13	-18957	13	9694.19	34	315.23	40	3193.21	40	34.38	28	6686.34	19	161.88	34
106	Max	-69	-1861.84	13	-18957	13	9694.19	34	315.23	40	3193.21	40	34.38	28	6686.34	19	161.88	34
106	Min.	-4	-4607.61	52	-48335.7	52	-9409.19	1	-124.11	19	-1272.06	19	-33	7	-11008.3	40	-170.16	1
106	Min.	-3	-4607.61	52	-48335.7	52	-9409.19	1	-124.11	19	-1272.06	19	-33	7	-11008.3	40	-170.16	1
106	Min.	-68	-4607.61	52	-48335.7	52	-9409.19	1	-124.11	19	-1272.06	19	-33	7	-11008.3	40	-170.16	1
106	Min.	-69	-4607.61	52	-48335.7	52	-9409.19	1	-124.11	19	-1272.06	19	-33	7	-11008.3	40	-170.16	1
106	Max	-3	-1554.47	1	-18739.8	13	7179.3	34	338.02	40	3263.15	40	28.63	25	6998.19	19	263.03	40
106	Max	-2	-1554.47	1	-18739.8	13	7179.3	34	338.02	40	3263.15	40	28.63	25	6998.19	19	263.03	40
106	Max	-67	-1554.47	1	-18739.8	13	7179.3	34	338.02	40	3263.15	40	28.63	25	6998.19	19	263.03	40
106	Max	-68	-1554.47	1	-18739.8	13	7179.3	34	338.02	40	3263.15	40	28.63	25	6998.19	19	263.03	40
106	Min.	-3	-4213.33	50	-47755.4	52	-6096.09	1	-146.41	19	-1334.04	19	-32.88	10	-11641.8	40	-246.82	19
106	Min.	-2	-4213.33	50	-47755.4	52	-6096.09	1	-146.41	19	-1334.04	19	-32.88	10	-11641.8	40	-246.82	19
106	Min.	-67	-4213.33	50	-47755.4	52	-6096.09	1	-146.41	19	-1334.04	19	-32.88	10	-11641.8	40	-246.82	19
106	Min.	-68																

Relazione di calcolo

106	Min.	-66	-3071.41	50	-49465.5	50	-2204.13	1	-134.59	19	-1379.3	19	-54.82	7	-11536.8	40	-507.07	13
106	Min.	-67	-3071.41	50	-49465.5	50	-2204.13	1	-134.59	19	-1379.3	19	-54.82	7	-11536.8	40	-507.07	13
106	Max	-78	-369.37	31	-17477.4	40	2922.79	31	42.18	49	1252.65	49	41.68	46	9228.08	46	299.39	49
106	Max	-77	-369.37	31	-17477.4	40	2922.79	31	42.18	49	1252.65	49	41.68	46	9228.08	46	299.39	49
106	Max	-103	-369.37	31	-17477.4	40	2922.79	31	42.18	49	1252.65	49	41.68	46	9228.08	46	299.39	49
106	Max	-104	-369.37	31	-17477.4	40	2922.79	31	42.18	49	1252.65	49	41.68	46	9228.08	46	299.39	49
106	Min.	-78	-912.39	49	-45554.1	52	-2918.18	4	13.24	31	531.4	31	-44.86	13	-9880.64	13	151.85	31
106	Min.	-77	-912.39	49	-45554.1	52	-2918.18	4	13.24	31	531.4	31	-44.86	13	-9880.64	13	151.85	31
106	Min.	-103	-912.39	49	-45554.1	52	-2918.18	4	13.24	31	531.4	31	-44.86	13	-9880.64	13	151.85	31
106	Min.	-104	-912.39	49	-45554.1	52	-2918.18	4	13.24	31	531.4	31	-44.86	13	-9880.64	13	151.85	31
106	Max	-77	-1421.84	40	-17802.9	40	6818.15	31	118.11	49	1222.93	49	37.55	31	8649.15	46	85.32	34
106	Max	-76	-1421.84	40	-17802.9	40	6818.15	31	118.11	49	1222.93	49	37.55	31	8649.15	46	85.32	34
106	Max	-102	-1421.84	40	-17802.9	40	6818.15	31	118.11	49	1222.93	49	37.55	31	8649.15	46	85.32	34
106	Max	-103	-1421.84	40	-17802.9	40	6818.15	31	118.11	49	1222.93	49	37.55	31	8649.15	46	85.32	34
106	Min.	-77	-3464.24	52	-46149.9	52	-6890.36	4	46.19	31	530.53	31	-37.15	4	-9252.61	13	-78.71	1
106	Min.	-76	-3464.24	52	-46149.9	52	-6890.36	4	46.19	31	530.53	31	-37.15	4	-9252.61	13	-78.71	1
106	Min.	-102	-3464.24	52	-46149.9	52	-6890.36	4	46.19	31	530.53	31	-37.15	4	-9252.61	13	-78.71	1
106	Min.	-103	-3464.24	52	-46149.9	52	-6890.36	4	46.19	31	530.53	31	-37.15	4	-9252.61	13	-78.71	1
106	Max	-76	-1652.89	40	-17797.8	40	9632.01	34	121.59	49	1224.05	49	37.25	34	8733.32	46	99.19	34
106	Max	-75	-1652.89	40	-17797.8	40	9632.01	34	121.59	49	1224.05	49	37.25	34	8733.32	46	99.19	34
106	Max	-101	-1652.89	40	-17797.8	40	9632.01	34	121.59	49	1224.05	49	37.25	34	8733.32	46	99.19	34
106	Max	-102	-1652.89	40	-17797.8	40	9632.01	34	121.59	49	1224.05	49	37.25	34	8733.32	46	99.19	34
106	Min.	-76	-4111.56	52	-45574.5	52	-9644.88	1	52.25	31	550.47	31	-37.45	1	-9367.28	13	-94.85	1
106	Min.	-75	-4111.56	52	-45574.5	52	-9644.88	1	52.25	31	550.47	31	-37.45	1	-9367.28	13	-94.85	1
106	Min.	-101	-4111.56	52	-45574.5	52	-9644.88	1	52.25	31	550.47	31	-37.45	1	-9367.28	13	-94.85	1
106	Min.	-102	-4111.56	52	-45574.5	52	-9644.88	1	52.25	31	550.47	31	-37.45	1	-9367.28	13	-94.85	1
106	Max	-75	-1734.99	40	-18184.1	40	11945.4	31	122.14	49	1223.48	49	36.34	31	8345.7	46	110.76	31
106	Max	-74	-1734.99	40	-18184.1	40	11945.4	31	122.14	49	1223.48	49	36.34	31	8345.7	46	110.76	31
106	Max	-100	-1734.99	40	-18184.1	40	11945.4	31	122.14	49	1223.48	49	36.34	31	8345.7	46	110.76	31
106	Max	-101	-1734.99	40	-18184.1	40	11945.4	31	122.14	49	1223.48	49	36.34	31	8345.7	46	110.76	31
106	Min.	-75	-4349.06	52	-45817.1	52	-11944.2	4	56.28	31	574.58	31	-36.12	4	-8963.47	13	-92.79	4
106	Min.	-74	-4349.06	52	-45817.1	52	-11944.2	4	56.28	31	574.58	31	-36.12	4	-8963.47	13	-92.79	4
106	Min.	-100	-4349.06	52	-45817.1	52	-11944.2	4	56.28	31	574.58	31	-36.12	4	-8963.47	13	-92.79	4
106	Min.	-101	-4349.06	52	-45817.1	52	-11944.2	4	56.28	31	574.58	31	-36.12	4	-8963.47	13	-92.79	4
106	Max	-74	-1801.7	40	-18471.2	40	13506.7	31	123.26	49	1223.94	49	36.64	34	8179.66	46	109.42	31
106	Max	-73	-1801.7	40	-18471.2	40	13506.7	31	123.26	49	1223.94	49	36.64	34	8179.66	46	109.42	31
106	Max	-99	-1801.7	40	-18471.2	40	13506.7	31	123.26	49	1223.94	49	36.64	34	8179.66	46	109.42	31
106	Max	-100	-1801.7	40	-18471.2	40	13506.7	31	123.26	49	1223.94	49	36.64	34	8179.66	46	109.42	31
106	Min.	-74	-4473.92	52	-45837.7	52	-13506.2	4	60.03	31	601.18	31	-36.61	1	-8806.49	13	-103.1	4
106	Min.	-73	-4473.92	52	-45837.7	52	-13506.2	4	60.03	31	601.18	31	-36.61	1	-8806.49	13	-103.1	4
106	Min.	-99	-4473.92	52	-45837.7	52	-13506.2	4	60.03	31	601.18	31	-36.61	1	-8806.49	13	-103.1	4
106	Min.	-100	-4473.92	52	-45837.7	52	-13506.2	4	60.03	31	601.18	31	-36.61	1	-8806.49	13	-103.1	4
106	Max	-73	-1849.08	40	-18733.4	40	14286.2	31	123.12	52	1224.71	52	36.56	31	7936.22	46	108.29	34
106	Max	-72	-1849.08	40	-18733.4	40	14286.2	31	123.12	52	1224.71	52	36.56	31	7936.22	46	108.29	34
106	Max	-98	-1849.08	40	-18733.4	40	14286.2	31	123.12	52	1224.71	52	36.56	31	7936.22	46	108.29	34
106	Max	-99	-1849.08	40	-18733.4	40	14286.2	31	123.12	52	1224.71	52	36.56	31	7936.22	46	108.29	34
106	Min.	-73	-4530.9	52	-45838.3	52	-14285.8	4	62.15	40	618.41	40	-36.54	4	-8561.32	13	-107.11	1
106	Min.	-72	-4530.9	52	-45838.3	52	-14285.8	4	62.15	40	618.41	40	-36.54	4	-8561.32	13	-107.11	1
106	Min.	-98	-4530.9	52	-45838.3	52	-14285.8	4	62.15	40	618.41	40	-36.54	4	-8561.32	13	-107.11	1
106	Min.	-99	-4530.9	52	-45838.3	52	-14285.8	4	62.15	40	618.41	40	-36.54	4	-8561.32	13	-107.11	1
106	Max	-72	-1849.08	13	-18733.13	13	14285.8	34	123.12	52	1224.71	52	36.54	34	7936.22	19	107.11	31
106	Max	-71	-1849.08	13	-18733.13	13	14285.8	34	123.12	52	1224.71	52	36.54	34	7936.22	19	107.11	31
106	Max	-97	-1849.08	13	-18733.13	13	14285.8	34	123.12	52	1224.71	52	36.54	34	7936.22	19	107.11	31
106	Max	-98	-1849.08	13	-18733.13	13	14285.8	34	123.12	52	1224.71	52	36.54	34	7936.22	19	107.11	31
106	Min.	-72	-4530.9	52	-45838.3	52	-14286.2	1	62.15	13	618.41	13	-36.56	1	-8561.32	40	-108.29	4
106	Min.	-71	-4530.9	52	-45838.3	52	-14286.2	1	62.15	13	618.41	13	-36.56	1	-8561.32	40	-108.29	4
106	Min.	-97	-4530.9	52	-45838.3	52	-14286.2	1	62.15	13	618.41	13	-36.56	1	-8561.32	40	-108.29	4
106	Min.	-98	-4530.9	52	-45838.3	52	-14286.2	1	62.15	13	618.41	13	-36.56	1	-8561.32	40	-108.29	4
106	Max	-71	-1801.7	13	-18471.2	13	13506.2	34	123.26	50	1223.94	50	36.61	31	8179.66	19	103.1	34
106	Max	-70	-1801.7	13	-18471.2	13	13506.2	34	123.26	50	1223.94	50	36.61	31	8179.66	19	103.1	34
106	Max	-96	-1801.7	13	-18471.2	13	13506.2	34	123.26	50	1223.94	50	36.61	31	8179.66	19	103.1	34
106	Max	-97	-1801.7	13	-18471.2	13	13506.2	34	123.26	50	1223.94	50	36.61	31	8179.66	19	103.1	34
106	Min.	-71	-4473.92	52	-45837.7	52	-13506.7	1	60.03	1	601.18	1	-36.64	4	-8806.49	40	-109.42	1
106	Min.	-70	-4473.92	52	-45837.7	52	-13506.7	1	60.03	1	601.18	1	-36.64	4	-8806.49	40	-109.42	1
106	Min.	-96	-4473.92	52	-45837.7	52	-13506.7	1	60.03	1	601.18	1	-36.64	4	-8806.49	40	-109.42	1
106	Min.	-97	-4473.92	52	-45837.7	52	-13506.7	1	60.03	1	601.18	1	-36.64	4	-8806.49	40	-109.42	1
106	Max	-103	-1340.24	16	-15237.3	16	7156.25	34	306.63	46	2975.92	46	20.6	34	10036.2	46	240.05	13
106	Max	-102	-1340.24	16	-15237.3	16	7156.25	34	306.63	46	2975.92	46	20.6	34	10036.2	46	240.05	13
106	Max	-128	-1340.24	16	-15237.3	16	7156.25	34	306.63	46	2975.92	46	20.6	34	10036.2	46	240.05	13
106	Max	-129	-1340.24	16	-15237.3	16	7156.25	34	306.63	46	2975.92	46	20.6	34	10036.2	46	240.05	13
106	Min.	-103	-3661.1	52	-42449.8	52	-6204.4	1	-172.05	13	-1594.74	13	-25.04	1	-8553.82	13	-217.23	46
106	Min.	-102	-3661.1	52	-42449.8	52	-6204.4	1	-172.05	13	-1594.74	13	-25.04	1	-8553.82	13	-217.23	46

Relazione di calcolo

106	Min.	-101	-4075.15	52	-42950.3	52	-9555.24	1	-150.47	13	-1546.4	13	-24.26	4	-8244.56	13	-94.05	37
106	Min.	-127	-4075.15	52	-42950.3	52	-9555.24	1	-150.47	13	-1546.4	13	-24.26	4	-8244.56	13	-94.05	37
106	Min.	-128	-4075.15	52	-42950.3	52	-9555.24	1	-150.47	13	-1546.4	13	-24.26	4	-8244.56	13	-94.05	37
106	Max	-68	-1421.84	13	-17802.9	13	6890.36	34	118.11	50	1222.93	50	37.15	34	8649.15	19	78.71	31
106	Max	-67	-1421.84	13	-17802.9	13	6890.36	34	118.11	50	1222.93	50	37.15	34	8649.15	19	78.71	31
106	Max	-93	-1421.84	13	-17802.9	13	6890.36	34	118.11	50	1222.93	50	37.15	34	8649.15	19	78.71	31
106	Max	-94	-1421.84	13	-17802.9	13	6890.36	34	118.11	50	1222.93	50	37.15	34	8649.15	19	78.71	31
106	Min.	-68	-3464.24	52	-46149.9	52	-6818.15	1	46.19	1	530.53	1	-37.55	1	-9252.61	40	-85.32	4
106	Min.	-67	-3464.24	52	-46149.9	52	-6818.15	1	46.19	1	530.53	1	-37.55	1	-9252.61	40	-85.32	4
106	Min.	-93	-3464.24	52	-46149.9	52	-6818.15	1	46.19	1	530.53	1	-37.55	1	-9252.61	40	-85.32	4
106	Min.	-94	-3464.24	52	-46149.9	52	-6818.15	1	46.19	1	530.53	1	-37.55	1	-9252.61	40	-85.32	4
106	Max	-67	-369.37	1	-17477.4	13	2918.18	34	42.18	50	1252.65	50	44.86	40	9228.08	19	-151.85	1
106	Max	-66	-369.37	1	-17477.4	13	2918.18	34	42.18	50	1252.65	50	44.86	40	9228.08	19	-151.85	1
106	Max	-92	-369.37	1	-17477.4	13	2918.18	34	42.18	50	1252.65	50	44.86	40	9228.08	19	-151.85	1
106	Max	-93	-369.37	1	-17477.4	13	2918.18	34	42.18	50	1252.65	50	44.86	40	9228.08	19	-151.85	1
106	Min.	-67	-912.39	50	-45554.1	52	-2922.79	1	13.24	1	531.4	1	-41.68	19	-9880.64	40	-299.39	50
106	Min.	-66	-912.39	50	-45554.1	52	-2922.79	1	13.24	1	531.4	1	-41.68	19	-9880.64	40	-299.39	50
106	Min.	-92	-912.39	50	-45554.1	52	-2922.79	1	13.24	1	531.4	1	-41.68	19	-9880.64	40	-299.39	50
106	Min.	-93	-912.39	50	-45554.1	52	-2922.79	1	13.24	1	531.4	1	-41.68	19	-9880.64	40	-299.39	50
106	Max	-104	-1192.8	13	-16219.1	16	4164.66	31	254.36	46	3032.92	46	-3.2	31	9939.11	46	472.3	19
106	Max	-103	-1192.8	13	-16219.1	16	4164.66	31	254.36	46	3032.92	46	-3.2	31	9939.11	46	472.3	19
106	Max	-129	-1192.8	13	-16219.1	16	4164.66	31	254.36	46	3032.92	46	-3.2	31	9939.11	46	472.3	19
106	Max	-130	-1192.8	13	-16219.1	16	4164.66	31	254.36	46	3032.92	46	-3.2	31	9939.11	46	472.3	19
106	Min.	-104	-2609.28	52	-43845.1	52	-1671.96	4	-156.14	13	-1634.24	13	-44.01	4	-8868.89	13	-352.14	40
106	Min.	-103	-2609.28	52	-43845.1	52	-1671.96	4	-156.14	13	-1634.24	13	-44.01	4	-8868.89	13	-352.14	40
106	Min.	-129	-2609.28	52	-43845.1	52	-1671.96	4	-156.14	13	-1634.24	13	-44.01	4	-8868.89	13	-352.14	40
106	Min.	-130	-2609.28	52	-43845.1	52	-1671.96	4	-156.14	13	-1634.24	13	-44.01	4	-8868.89	13	-352.14	40
106	Max	-101	-1594.43	16	-16292.1	16	12047.1	34	287.93	46	2872.48	46	27.65	34	9370.04	46	85.43	1
106	Max	-100	-1594.43	16	-16292.1	16	12047.1	34	287.93	46	2872.48	46	27.65	34	9370.04	46	85.43	1
106	Max	-126	-1594.43	16	-16292.1	16	12047.1	34	287.93	46	2872.48	46	27.65	34	9370.04	46	85.43	1
106	Max	-127	-1594.43	16	-16292.1	16	12047.1	34	287.93	46	2872.48	46	27.65	34	9370.04	46	85.43	1
106	Min.	-101	-4189.27	52	-43046.2	52	-11912.7	1	-150.37	13	-1494.13	13	-26.11	1	-8094.37	13	-76.29	34
106	Min.	-100	-4189.27	52	-43046.2	52	-11912.7	1	-150.37	13	-1494.13	13	-26.11	1	-8094.37	13	-76.29	34
106	Min.	-126	-4189.27	52	-43046.2	52	-11912.7	1	-150.37	13	-1494.13	13	-26.11	1	-8094.37	13	-76.29	34
106	Min.	-127	-4189.27	52	-43046.2	52	-11912.7	1	-150.37	13	-1494.13	13	-26.11	1	-8094.37	13	-76.29	34
106	Max	-100	-1628.03	16	-16506.2	16	13572.6	34	282.54	46	2825.26	46	28.04	31	9101.05	46	76.63	1
106	Max	-99	-1628.03	16	-16506.2	16	13572.6	34	282.54	46	2825.26	46	28.04	31	9101.05	46	76.63	1
106	Max	-125	-1628.03	16	-16506.2	16	13572.6	34	282.54	46	2825.26	46	28.04	31	9101.05	46	76.63	1
106	Max	-126	-1628.03	16	-16506.2	16	13572.6	34	282.54	46	2825.26	46	28.04	31	9101.05	46	76.63	1
106	Min.	-100	-4256.75	52	-43117.8	52	-13504.8	1	-143.98	13	-1444.84	13	-26.75	4	-7831.5	13	-73.83	34
106	Min.	-99	-4256.75	52	-43117.8	52	-13504.8	1	-143.98	13	-1444.84	13	-26.75	4	-7831.5	13	-73.83	34
106	Min.	-125	-4256.75	52	-43117.8	52	-13504.8	1	-143.98	13	-1444.84	13	-26.75	4	-7831.5	13	-73.83	34
106	Min.	-126	-4256.75	52	-43117.8	52	-13504.8	1	-143.98	13	-1444.84	13	-26.75	4	-7831.5	13	-73.83	34
403	Max	-65	0	1	0	1	0	1	4543.75	13	199.63	13	312.99	25	1485.55	25	23147.8	49
403	Max	-52	0	1	0	1	0	1	4543.75	13	199.63	13	312.99	25	1485.55	25	23147.8	49
403	Max	-51	0	1	0	1	0	1	4543.75	13	199.63	13	312.99	25	1485.55	25	23147.8	49
403	Max	-64	0	1	0	1	0	1	4543.75	13	199.63	13	312.99	25	1485.55	25	23147.8	49
403	Min.	-65	0	1	0	1	0	1	-1885.42	46	-197.87	46	-68.68	10	-528.88	10	8062.09	7
403	Min.	-52	0	1	0	1	0	1	-1885.42	46	-197.87	46	-68.68	10	-528.88	10	8062.09	7
403	Min.	-51	0	1	0	1	0	1	-1885.42	46	-197.87	46	-68.68	10	-528.88	10	8062.09	7
403	Min.	-64	0	1	0	1	0	1	-1885.42	46	-197.87	46	-68.68	10	-528.88	10	8062.09	7
403	Max	-50	0	1	0	1	0	1	8355.44	51	830.51	49	156.33	25	621.28	34	11475.9	43
403	Max	-37	0	1	0	1	0	1	8355.44	51	830.51	49	156.33	25	621.28	34	11475.9	43
403	Max	-36	0	1	0	1	0	1	8355.44	51	830.51	49	156.33	25	621.28	34	11475.9	43
403	Max	-49	0	1	0	1	0	1	8355.44	51	830.51	49	156.33	25	621.28	34	11475.9	43
403	Min.	-50	0	1	0	1	0	1	3037.67	46	251.45	34	-162.43	10	-510.51	1	-2984.09	16
403	Min.	-37	0	1	0	1	0	1	3037.67	46	251.45	34	-162.43	10	-510.51	1	-2984.09	16
403	Min.	-36	0	1	0	1	0	1	3037.67	46	251.45	34	-162.43	10	-510.51	1	-2984.09	16
403	Min.	-49	0	1	0	1	0	1	3037.67	46	251.45	34	-162.43	10	-510.51	1	-2984.09	16
403	Max	-30	0	1	0	1	0	1	8355.44	52	830.51	50	156.33	34	510.51	10	2984.09	19
403	Max	-17	0	1	0	1	0	1	8355.44	52	830.51	50	156.33	34	510.51	10	2984.09	19
403	Max	-16	0	1	0	1	0	1	8355.44	52	830.51	50	156.33	34	510.51	10	2984.09	19
403	Max	-29	0	1	0	1	0	1	8355.44	52	830.51	50	156.33	34	510.51	10	2984.09	19
403	Min.	-30	0	1	0	1	0	1	3037.67	37	251.45	25	-162.43	1	-621.28	25	-11475.9	40
403	Min.	-17	0	1	0	1	0	1	3037.67	37	251.45	25	-162.43	1	-621.28	25	-11475.9	40
403	Min.	-16	0	1	0	1	0	1	3037.67	37	251.45	25	-162.43	1	-621.28	25	-11475.9	40
403	Min.	-29	0	1	0	1	0	1	3037.67	37	251.45	25	-162.43	1	-621.28	25	-11475.9	40
403	Max	-17	0	1	0	1	0	1	4386	22	453.57	22	195.7	31	518.34	4	-9557.24	4
403	Max	-4	0	1	0	1	0	1	4386	22	453.57	22	195.7	31	518.34	4	-9557.24	4
403	Max	-3	0	1	0	1	0	1	4386	22	453.57	22	195.7	31	518.34	4	-9557.24	4
403	Max	-16	0	1	0	1	0	1	4386	22	453.57	22	195.7	31	518.34	4	-9557.24	4
403	Min.	-17	0	1	0	1	0	1	-1774.15	37	-197.37	37	-212.54	4	-554.73	31	-22317.4	50
403	Min.	-4	0	1	0	1	0	1	-1774.15	37	-197.37	37	-212.54	4	-554.73	31	-22317.4	50
403	Min.	-3	0	1	0	1	0	1	-1774.15	37	-197.37	37	-212.54	4	-554.73	31	-22317.4	50
403	Min.	-16	0	1	0	1	0	1	-1774.15	37	-197.37	37	-212.54	4	-554.73	31	-22317.4	50
403	Max	-55	0	1	0	1	0	1	4455.46	40	433.7							

Relazione di calcolo

403	Min.	-55	0	1	0	1	0	1	-1848.22	19	-248.63	19	-219.2	7	-895.39	7	8717.42	25
403	Min.	-42	0	1	0	1	0	1	-1848.22	19	-248.63	19	-219.2	7	-895.39	7	8717.42	25
403	Min.	-41	0	1	0	1	0	1	-1848.22	19	-248.63	19	-219.2	7	-895.39	7	8717.42	25
403	Min.	-54	0	1	0	1	0	1	-1848.22	19	-248.63	19	-219.2	7	-895.39	7	8717.42	25
403	Max	-42	0	1	0	1	0	1	8372.16	51	720.49	50	147.39	28	272.41	34	11254.7	22
403	Max	-29	0	1	0	1	0	1	8372.16	51	720.49	50	147.39	28	272.41	34	11254.7	22
403	Max	-28	0	1	0	1	0	1	8372.16	51	720.49	50	147.39	28	272.41	34	11254.7	22
403	Max	-41	0	1	0	1	0	1	8372.16	51	720.49	50	147.39	28	272.41	34	11254.7	22
403	Min.	-42	0	1	0	1	0	1	2973.38	19	168.14	4	-172.05	7	-566.56	1	-3012.44	37
403	Min.	-29	0	1	0	1	0	1	2973.38	19	168.14	4	-172.05	7	-566.56	1	-3012.44	37
403	Min.	-28	0	1	0	1	0	1	2973.38	19	168.14	4	-172.05	7	-566.56	1	-3012.44	37
403	Min.	-41	0	1	0	1	0	1	2973.38	19	168.14	4	-172.05	7	-566.56	1	-3012.44	37
403	Max	-29	0	1	0	1	0	1	8372.16	52	720.49	50	172.05	34	272.41	7	3012.44	19
403	Max	-16	0	1	0	1	0	1	8372.16	52	720.49	50	172.05	34	272.41	7	3012.44	19
403	Max	-15	0	1	0	1	0	1	8372.16	52	720.49	50	172.05	34	272.41	7	3012.44	19
403	Max	-28	0	1	0	1	0	1	8372.16	52	720.49	50	172.05	34	272.41	7	3012.44	19
403	Min.	-29	0	1	0	1	0	1	2973.38	37	168.14	25	-147.39	1	-566.56	28	-11254.7	40
403	Min.	-16	0	1	0	1	0	1	2973.38	37	168.14	25	-147.39	1	-566.56	28	-11254.7	40
403	Min.	-15	0	1	0	1	0	1	2973.38	37	168.14	25	-147.39	1	-566.56	28	-11254.7	40
403	Min.	-28	0	1	0	1	0	1	2973.38	37	168.14	25	-147.39	1	-566.56	28	-11254.7	40
403	Max	-16	0	1	0	1	0	1	4455.46	22	433.79	22	219.2	34	472.15	1	-8717.42	4
403	Max	-3	0	1	0	1	0	1	4455.46	22	433.79	22	219.2	34	472.15	1	-8717.42	4
403	Max	-2	0	1	0	1	0	1	4455.46	22	433.79	22	219.2	34	472.15	1	-8717.42	4
403	Max	-15	0	1	0	1	0	1	4455.46	22	433.79	22	219.2	34	472.15	1	-8717.42	4
403	Min.	-16	0	1	0	1	0	1	-1848.22	37	-248.63	37	-171.12	1	-895.39	34	-21894.4	50
403	Min.	-3	0	1	0	1	0	1	-1848.22	37	-248.63	37	-171.12	1	-895.39	34	-21894.4	50
403	Min.	-2	0	1	0	1	0	1	-1848.22	37	-248.63	37	-171.12	1	-895.39	34	-21894.4	50
403	Min.	-15	0	1	0	1	0	1	-1848.22	37	-248.63	37	-171.12	1	-895.39	34	-21894.4	50
403	Max	-54	0	1	0	1	0	1	4543.75	40	199.63	40	68.68	28	528.88	28	23147.8	50
403	Max	-41	0	1	0	1	0	1	4543.75	40	199.63	40	68.68	28	528.88	28	23147.8	50
403	Max	-40	0	1	0	1	0	1	4543.75	40	199.63	40	68.68	28	528.88	28	23147.8	50
403	Max	-53	0	1	0	1	0	1	4543.75	40	199.63	40	68.68	28	528.88	28	23147.8	50
403	Min.	-54	0	1	0	1	0	1	-1885.42	19	-197.87	19	-312.99	7	-1485.55	7	8062.09	25
403	Min.	-41	0	1	0	1	0	1	-1885.42	19	-197.87	19	-312.99	7	-1485.55	7	8062.09	25
403	Min.	-40	0	1	0	1	0	1	-1885.42	19	-197.87	19	-312.99	7	-1485.55	7	8062.09	25
403	Min.	-53	0	1	0	1	0	1	-1885.42	19	-197.87	19	-312.99	7	-1485.55	7	8062.09	25
403	Max	-41	0	1	0	1	0	1	8486.63	51	368.12	50	98.54	25	-77.28	22	12174	22
403	Max	-28	0	1	0	1	0	1	8486.63	51	368.12	50	98.54	25	-77.28	22	12174	22
403	Max	-27	0	1	0	1	0	1	8486.63	51	368.12	50	98.54	25	-77.28	22	12174	22
403	Max	-40	0	1	0	1	0	1	8486.63	51	368.12	50	98.54	25	-77.28	22	12174	22
403	Min.	-41	0	1	0	1	0	1	2954.85	19	80.35	4	-228.16	10	-487.09	51	-3374.26	37
403	Min.	-28	0	1	0	1	0	1	2954.85	19	80.35	4	-228.16	10	-487.09	51	-3374.26	37
403	Min.	-27	0	1	0	1	0	1	2954.85	19	80.35	4	-228.16	10	-487.09	51	-3374.26	37
403	Min.	-40	0	1	0	1	0	1	2954.85	19	80.35	4	-228.16	10	-487.09	51	-3374.26	37
403	Max	-28	0	1	0	1	0	1	8486.63	52	368.12	50	228.16	31	-77.28	40	3374.26	19
403	Max	-15	0	1	0	1	0	1	8486.63	52	368.12	50	228.16	31	-77.28	40	3374.26	19
403	Max	-14	0	1	0	1	0	1	8486.63	52	368.12	50	228.16	31	-77.28	40	3374.26	19
403	Max	-27	0	1	0	1	0	1	8486.63	52	368.12	50	228.16	31	-77.28	40	3374.26	19
403	Min.	-28	0	1	0	1	0	1	2954.85	37	80.35	25	-98.54	4	-487.09	52	-12174	40
403	Min.	-15	0	1	0	1	0	1	2954.85	37	80.35	25	-98.54	4	-487.09	52	-12174	40
403	Min.	-14	0	1	0	1	0	1	2954.85	37	80.35	25	-98.54	4	-487.09	52	-12174	40
403	Min.	-27	0	1	0	1	0	1	2954.85	37	80.35	25	-98.54	4	-487.09	52	-12174	40
403	Max	-15	0	1	0	1	0	1	4543.75	22	199.63	22	312.99	34	528.88	1	-8062.09	4
403	Max	-2	0	1	0	1	0	1	4543.75	22	199.63	22	312.99	34	528.88	1	-8062.09	4
403	Max	-1	0	1	0	1	0	1	4543.75	22	199.63	22	312.99	34	528.88	1	-8062.09	4
403	Max	-14	0	1	0	1	0	1	4543.75	22	199.63	22	312.99	34	528.88	1	-8062.09	4
403	Min.	-15	0	1	0	1	0	1	-1885.42	37	-197.87	37	-68.68	1	-1485.55	34	-23147.8	50
403	Min.	-2	0	1	0	1	0	1	-1885.42	37	-197.87	37	-68.68	1	-1485.55	34	-23147.8	50
403	Min.	-1	0	1	0	1	0	1	-1885.42	37	-197.87	37	-68.68	1	-1485.55	34	-23147.8	50
403	Min.	-14	0	1	0	1	0	1	-1885.42	37	-197.87	37	-68.68	1	-1485.55	34	-23147.8	50
403	Max	-38	0	1	0	1	0	1	8372.16	52	720.49	49	147.39	31	566.56	10	3012.44	46
403	Max	-25	0	1	0	1	0	1	8372.16	52	720.49	49	147.39	31	566.56	10	3012.44	46
403	Max	-24	0	1	0	1	0	1	8372.16	52	720.49	49	147.39	31	566.56	10	3012.44	46
403	Max	-37	0	1	0	1	0	1	8372.16	52	720.49	49	147.39	31	566.56	10	3012.44	46
403	Min.	-38	0	1	0	1	0	1	2973.38	16	168.14	7	-172.05	4	-272.41	25	-11254.7	13
403	Min.	-25	0	1	0	1	0	1	2973.38	16	168.14	7	-172.05	4	-272.41	25	-11254.7	13
403	Min.	-24	0	1	0	1	0	1	2973.38	16	168.14	7	-172.05	4	-272.41	25	-11254.7	13
403	Min.	-37	0	1	0	1	0	1	2973.38	16	168.14	7	-172.05	4	-272.41	25	-11254.7	13
403	Max	-25	0	1	0	1	0	1	4455.46	43	433.79	43	171.12	31	895.39	4	-8717.42	34
403	Max	-12	0	1	0	1	0	1	4455.46	43	433.79	43	171.12	31	895.39	4	-8717.42	34
403	Max	-11	0	1	0	1	0	1	4455.46	43	433.79	43	171.12	31	895.39	4	-8717.42	34
403	Max	-24	0	1	0	1	0	1	4455.46	43	433.79	43	171.12	31	895.39	4	-8717.42	34
403	Min.	-25	0	1	0	1	0	1	-1848.22	16	-248.63	16	-219.2	4	-472.15	31	-21894.4	49
403	Min.	-12	0	1	0	1	0	1	-1848.22	16	-248.63	16	-219.2	4	-472.15	31	-21894.4	49
403	Min.	-11	0	1	0	1	0	1	-1848.22	16	-248.63	16	-219.2	4	-472.15	31	-21894.4	49
403	Min.	-24	0	1	0	1	0	1	-1848.22	16	-248.63	16	-219.2	4	-472.15	31	-21894.4	49
403	Max	-63	0	1	0	1	0	1	4386	13	453.57	13	195.7	28	554.73	28	22317.4	49
403	Max	-50	0	1	0	1	0	1	4386	13	453.57	13	195.7	28	554.73	28	22317.4	49
403	Max	-49	0	1	0	1	0	1	4386	13	453.57	13	195.7	28	554.73	28	22317.4	49

Relazione di calcolo

403	Max	-62	0	1	0	1	0	1	4386	13	453.57	13	195.7	28	554.73	28	22317.4	49
403	Min.	-63	0	1	0	1	0	1	-1774.15	46	-197.37	46	-212.54	7	-518.34	7	9557.24	7
403	Min.	-50	0	1	0	1	0	1	-1774.15	46	-197.37	46	-212.54	7	-518.34	7	9557.24	7
403	Min.	-49	0	1	0	1	0	1	-1774.15	46	-197.37	46	-212.54	7	-518.34	7	9557.24	7
403	Min.	-62	0	1	0	1	0	1	-1774.15	46	-197.37	46	-212.54	7	-518.34	7	9557.24	7
403	Max	-32	0	1	0	1	0	1	8386.15	52	845.62	52	162.55	31	624.68	10	2628.1	19
403	Max	-19	0	1	0	1	0	1	8386.15	52	845.62	52	162.55	31	624.68	10	2628.1	19
403	Max	-18	0	1	0	1	0	1	8386.15	52	845.62	52	162.55	31	624.68	10	2628.1	19
403	Max	-31	0	1	0	1	0	1	8386.15	52	845.62	52	162.55	31	624.68	10	2628.1	19
403	Min.	-32	0	1	0	1	0	1	3237	37	319.7	37	-166.09	4	-634.35	25	-11124.5	40
403	Min.	-19	0	1	0	1	0	1	3237	37	319.7	37	-166.09	4	-634.35	25	-11124.5	40
403	Min.	-18	0	1	0	1	0	1	3237	37	319.7	37	-166.09	4	-634.35	25	-11124.5	40
403	Min.	-31	0	1	0	1	0	1	3237	37	319.7	37	-166.09	4	-634.35	25	-11124.5	40
403	Max	-37	0	1	0	1	0	1	8355.44	52	830.51	49	162.43	31	621.28	7	2984.09	46
403	Max	-24	0	1	0	1	0	1	8355.44	52	830.51	49	162.43	31	621.28	7	2984.09	46
403	Max	-23	0	1	0	1	0	1	8355.44	52	830.51	49	162.43	31	621.28	7	2984.09	46
403	Max	-36	0	1	0	1	0	1	8355.44	52	830.51	49	162.43	31	621.28	7	2984.09	46
403	Min.	-37	0	1	0	1	0	1	3037.67	16	251.45	7	-156.33	4	-510.51	28	-11475.9	13
403	Min.	-24	0	1	0	1	0	1	3037.67	16	251.45	7	-156.33	4	-510.51	28	-11475.9	13
403	Min.	-23	0	1	0	1	0	1	3037.67	16	251.45	7	-156.33	4	-510.51	28	-11475.9	13
403	Min.	-36	0	1	0	1	0	1	3037.67	16	251.45	7	-156.33	4	-510.51	28	-11475.9	13
403	Max	-24	0	1	0	1	0	1	4386	43	453.57	43	212.54	34	554.73	1	-9557.24	34
403	Max	-11	0	1	0	1	0	1	4386	43	453.57	43	212.54	34	554.73	1	-9557.24	34
403	Max	-10	0	1	0	1	0	1	4386	43	453.57	43	212.54	34	554.73	1	-9557.24	34
403	Max	-23	0	1	0	1	0	1	4386	43	453.57	43	212.54	34	554.73	1	-9557.24	34
403	Min.	-24	0	1	0	1	0	1	-1774.15	16	-197.37	16	-195.7	1	-518.34	34	-22317.4	49
403	Min.	-11	0	1	0	1	0	1	-1774.15	16	-197.37	16	-195.7	1	-518.34	34	-22317.4	49
403	Min.	-10	0	1	0	1	0	1	-1774.15	16	-197.37	16	-195.7	1	-518.34	34	-22317.4	49
403	Min.	-23	0	1	0	1	0	1	-1774.15	16	-197.37	16	-195.7	1	-518.34	34	-22317.4	49
403	Max	-62	0	1	0	1	0	1	4324.17	13	443.75	13	211.83	25	523.17	25	22332.2	49
403	Max	-49	0	1	0	1	0	1	4324.17	13	443.75	13	211.83	25	523.17	25	22332.2	49
403	Max	-48	0	1	0	1	0	1	4324.17	13	443.75	13	211.83	25	523.17	25	22332.2	49
403	Max	-61	0	1	0	1	0	1	4324.17	13	443.75	13	211.83	25	523.17	25	22332.2	49
403	Min.	-62	0	1	0	1	0	1	-1706.98	46	-175.65	46	-224.04	10	-556.4	10	10377.1	7
403	Min.	-49	0	1	0	1	0	1	-1706.98	46	-175.65	46	-224.04	10	-556.4	10	10377.1	7
403	Min.	-48	0	1	0	1	0	1	-1706.98	46	-175.65	46	-224.04	10	-556.4	10	10377.1	7
403	Min.	-61	0	1	0	1	0	1	-1706.98	46	-175.65	46	-224.04	10	-556.4	10	10377.1	7
403	Max	-49	0	1	0	1	0	1	8374.61	51	846.27	51	159.77	28	634.53	31	11259.8	43
403	Max	-36	0	1	0	1	0	1	8374.61	51	846.27	51	159.77	28	634.53	31	11259.8	43
403	Max	-35	0	1	0	1	0	1	8374.61	51	846.27	51	159.77	28	634.53	31	11259.8	43
403	Max	-48	0	1	0	1	0	1	8374.61	51	846.27	51	159.77	28	634.53	31	11259.8	43
403	Min.	-49	0	1	0	1	0	1	3136.24	46	304.89	46	-166.63	7	-594.41	4	-2790.87	16
403	Min.	-36	0	1	0	1	0	1	3136.24	46	304.89	46	-166.63	7	-594.41	4	-2790.87	16
403	Min.	-35	0	1	0	1	0	1	3136.24	46	304.89	46	-166.63	7	-594.41	4	-2790.87	16
403	Min.	-48	0	1	0	1	0	1	3136.24	46	304.89	46	-166.63	7	-594.41	4	-2790.87	16
403	Max	-36	0	1	0	1	0	1	8374.61	52	846.27	52	166.63	34	634.53	10	2790.87	46
403	Max	-23	0	1	0	1	0	1	8374.61	52	846.27	52	166.63	34	634.53	10	2790.87	46
403	Max	-22	0	1	0	1	0	1	8374.61	52	846.27	52	166.63	34	634.53	10	2790.87	46
403	Max	-35	0	1	0	1	0	1	8374.61	52	846.27	52	166.63	34	634.53	10	2790.87	46
403	Min.	-36	0	1	0	1	0	1	3136.24	16	304.89	16	-159.77	1	-594.41	25	-11259.8	13
403	Min.	-23	0	1	0	1	0	1	3136.24	16	304.89	16	-159.77	1	-594.41	25	-11259.8	13
403	Min.	-22	0	1	0	1	0	1	3136.24	16	304.89	16	-159.77	1	-594.41	25	-11259.8	13
403	Min.	-35	0	1	0	1	0	1	3136.24	16	304.89	16	-159.77	1	-594.41	25	-11259.8	13
403	Max	-23	0	1	0	1	0	1	4324.17	43	443.75	43	224.04	31	523.17	4	-10377.1	34
403	Max	-10	0	1	0	1	0	1	4324.17	43	443.75	43	224.04	31	523.17	4	-10377.1	34
403	Max	-9	0	1	0	1	0	1	4324.17	43	443.75	43	224.04	31	523.17	4	-10377.1	34
403	Max	-22	0	1	0	1	0	1	4324.17	43	443.75	43	224.04	31	523.17	4	-10377.1	34
403	Min.	-23	0	1	0	1	0	1	-1706.98	16	-175.65	16	-211.83	4	-556.4	31	-22332.2	49
403	Min.	-10	0	1	0	1	0	1	-1706.98	16	-175.65	16	-211.83	4	-556.4	31	-22332.2	49
403	Min.	-9	0	1	0	1	0	1	-1706.98	16	-175.65	16	-211.83	4	-556.4	31	-22332.2	49
403	Min.	-22	0	1	0	1	0	1	-1706.98	16	-175.65	16	-211.83	4	-556.4	31	-22332.2	49
403	Max	-61	0	1	0	1	0	1	4254.81	13	432.6	13	221.04	28	540.46	25	22339.7	49
403	Max	-48	0	1	0	1	0	1	4254.81	13	432.6	13	221.04	28	540.46	25	22339.7	49
403	Max	-47	0	1	0	1	0	1	4254.81	13	432.6	13	221.04	28	540.46	25	22339.7	49
403	Max	-60	0	1	0	1	0	1	4254.81	13	432.6	13	221.04	28	540.46	25	22339.7	49
403	Min.	-61	0	1	0	1	0	1	-1634.38	46	-166.78	46	-227.98	7	-560.93	10	11222.2	7
403	Min.	-48	0	1	0	1	0	1	-1634.38	46	-166.78	46	-227.98	7	-560.93	10	11222.2	7
403	Min.	-47	0	1	0	1	0	1	-1634.38	46	-166.78	46	-227.98	7	-560.93	10	11222.2	7
403	Min.	-60	0	1	0	1	0	1	-1634.38	46	-166.78	46	-227.98	7	-560.93	10	11222.2	7
403	Max	-48	0	1	0	1	0	1	8386.15	51	845.62	51	162.55	28	634.35	34	11124.5	43
403	Max	-35	0	1	0	1	0	1	8386.15	51	845.62	51	162.55	28	634.35	34	11124.5	43
403	Max	-34	0	1	0	1	0	1	8386.15	51	845.62	51	162.55	28	634.35	34	11124.5	43
403	Max	-47	0	1	0	1	0	1	8386.15	51	845.62	51	162.55	28	634.35	34	11124.5	43
403	Min.	-48	0	1	0	1	0	1	3237	46	319.7	46	-166.09	7	-624.68	1	-2628.1	16
403	Min.	-35	0	1	0	1	0	1	3237	46	319.7	46	-166.09	7	-624.68	1	-2628.1	16
403	Min.	-34	0	1	0	1	0	1	3237	46	319.7	46	-166.09	7	-624.68	1	-2628.1	16
403	Min.	-47	0	1	0	1	0	1	3237	46	319.7	46	-166.09	7	-624.68	1	-2628.1	16
403	Max	-35	0	1	0	1	0	1	8386.15	52	845.62	52	166.09	34	634.35	7	2628.1	46
403	Max	-22	0	1	0	1	0	1	8386.15	52	845.62	52	166.09	34	634.35	7	2628.1	46

Relazione di calcolo

403	Max	-21	0	1	0	1	0	1	8386.15	52	845.62	52	166.09	34	634.35	7	2628.1	46
403	Max	-34	0	1	0	1	0	1	8386.15	52	845.62	52	166.09	34	634.35	7	2628.1	46
403	Min.	-35	0	1	0	1	0	1	3237	16	319.7	16	-162.55	1	-624.68	28	-11124.5	13
403	Min.	-22	0	1	0	1	0	1	3237	16	319.7	16	-162.55	1	-624.68	28	-11124.5	13
403	Min.	-21	0	1	0	1	0	1	3237	16	319.7	16	-162.55	1	-624.68	28	-11124.5	13
403	Min.	-34	0	1	0	1	0	1	3237	16	319.7	16	-162.55	1	-624.68	28	-11124.5	13
403	Max	-22	0	1	0	1	0	1	4254.81	43	432.6	43	227.98	34	540.46	4	-11222.2	34
403	Max	-9	0	1	0	1	0	1	4254.81	43	432.6	43	227.98	34	540.46	4	-11222.2	34
403	Max	-8	0	1	0	1	0	1	4254.81	43	432.6	43	227.98	34	540.46	4	-11222.2	34
403	Max	-21	0	1	0	1	0	1	4254.81	43	432.6	43	227.98	34	540.46	4	-11222.2	34
403	Min.	-22	0	1	0	1	0	1	-1634.38	16	-166.78	16	-221.04	1	-560.93	31	-22339.7	49
403	Min.	-9	0	1	0	1	0	1	-1634.38	16	-166.78	16	-221.04	1	-560.93	31	-22339.7	49
403	Min.	-8	0	1	0	1	0	1	-1634.38	16	-166.78	16	-221.04	1	-560.93	31	-22339.7	49
403	Min.	-21	0	1	0	1	0	1	-1634.38	16	-166.78	16	-221.04	1	-560.93	31	-22339.7	49
403	Max	-60	0	1	0	1	0	1	4186.53	13	421.4	13	225.75	28	551.39	25	22336.8	52
403	Max	-47	0	1	0	1	0	1	4186.53	13	421.4	13	225.75	28	551.39	25	22336.8	52
403	Max	-46	0	1	0	1	0	1	4186.53	13	421.4	13	225.75	28	551.39	25	22336.8	52
403	Max	-59	0	1	0	1	0	1	4186.53	13	421.4	13	225.75	28	551.39	25	22336.8	52
403	Min.	-60	0	1	0	1	0	1	-1564.22	46	-157.01	46	-227.56	7	-558.09	10	11687.8	16
403	Min.	-47	0	1	0	1	0	1	-1564.22	46	-157.01	46	-227.56	7	-558.09	10	11687.8	16
403	Min.	-46	0	1	0	1	0	1	-1564.22	46	-157.01	46	-227.56	7	-558.09	10	11687.8	16
403	Min.	-59	0	1	0	1	0	1	-1564.22	46	-157.01	46	-227.56	7	-558.09	10	11687.8	16
403	Max	-47	0	1	0	1	0	1	8391.11	51	843.03	51	164.09	28	633.49	31	10968.4	43
403	Max	-34	0	1	0	1	0	1	8391.11	51	843.03	51	164.09	28	633.49	31	10968.4	43
403	Max	-33	0	1	0	1	0	1	8391.11	51	843.03	51	164.09	28	633.49	31	10968.4	43
403	Max	-46	0	1	0	1	0	1	8391.11	51	843.03	51	164.09	28	633.49	31	10968.4	43
403	Min.	-47	0	1	0	1	0	1	3335.73	46	333.31	46	-165.05	7	-631.27	4	-2470.5	16
403	Min.	-34	0	1	0	1	0	1	3335.73	46	333.31	46	-165.05	7	-631.27	4	-2470.5	16
403	Min.	-33	0	1	0	1	0	1	3335.73	46	333.31	46	-165.05	7	-631.27	4	-2470.5	16
403	Min.	-46	0	1	0	1	0	1	3335.73	46	333.31	46	-165.05	7	-631.27	4	-2470.5	16
403	Max	-34	0	1	0	1	0	1	8391.11	52	843.03	52	165.05	34	633.49	10	2470.5	46
403	Max	-21	0	1	0	1	0	1	8391.11	52	843.03	52	165.05	34	633.49	10	2470.5	46
403	Max	-20	0	1	0	1	0	1	8391.11	52	843.03	52	165.05	34	633.49	10	2470.5	46
403	Max	-33	0	1	0	1	0	1	8391.11	52	843.03	52	165.05	34	633.49	10	2470.5	46
403	Min.	-34	0	1	0	1	0	1	3335.73	16	333.31	16	-164.09	1	-631.27	25	-10968.4	13
403	Min.	-21	0	1	0	1	0	1	3335.73	16	333.31	16	-164.09	1	-631.27	25	-10968.4	13
403	Min.	-20	0	1	0	1	0	1	3335.73	16	333.31	16	-164.09	1	-631.27	25	-10968.4	13
403	Min.	-33	0	1	0	1	0	1	3335.73	16	333.31	16	-164.09	1	-631.27	25	-10968.4	13
403	Max	-21	0	1	0	1	0	1	4186.53	43	421.4	43	227.56	34	551.39	4	-11687.8	46
403	Max	-8	0	1	0	1	0	1	4186.53	43	421.4	43	227.56	34	551.39	4	-11687.8	46
403	Max	-7	0	1	0	1	0	1	4186.53	43	421.4	43	227.56	34	551.39	4	-11687.8	46
403	Max	-20	0	1	0	1	0	1	4186.53	43	421.4	43	227.56	34	551.39	4	-11687.8	46
403	Min.	-21	0	1	0	1	0	1	-1564.22	16	-157.01	16	-225.75	1	-558.09	31	-22336.8	51
403	Min.	-8	0	1	0	1	0	1	-1564.22	16	-157.01	16	-225.75	1	-558.09	31	-22336.8	51
403	Min.	-7	0	1	0	1	0	1	-1564.22	16	-157.01	16	-225.75	1	-558.09	31	-22336.8	51
403	Min.	-20	0	1	0	1	0	1	-1564.22	16	-157.01	16	-225.75	1	-558.09	31	-22336.8	51
403	Max	-59	0	1	0	1	0	1	4186.53	40	421.4	40	227.56	25	558.09	28	22336.8	52
403	Max	-46	0	1	0	1	0	1	4186.53	40	421.4	40	227.56	25	558.09	28	22336.8	52
403	Max	-45	0	1	0	1	0	1	4186.53	40	421.4	40	227.56	25	558.09	28	22336.8	52
403	Max	-58	0	1	0	1	0	1	4186.53	40	421.4	40	227.56	25	558.09	28	22336.8	52
403	Min.	-59	0	1	0	1	0	1	-1564.22	19	-157.01	19	-225.75	10	-551.39	7	11687.8	37
403	Min.	-46	0	1	0	1	0	1	-1564.22	19	-157.01	19	-225.75	10	-551.39	7	11687.8	37
403	Min.	-45	0	1	0	1	0	1	-1564.22	19	-157.01	19	-225.75	10	-551.39	7	11687.8	37
403	Min.	-58	0	1	0	1	0	1	-1564.22	19	-157.01	19	-225.75	10	-551.39	7	11687.8	37
403	Max	-46	0	1	0	1	0	1	8391.11	51	843.03	51	165.05	25	631.27	34	10968.4	22
403	Max	-33	0	1	0	1	0	1	8391.11	51	843.03	51	165.05	25	631.27	34	10968.4	22
403	Max	-32	0	1	0	1	0	1	8391.11	51	843.03	51	165.05	25	631.27	34	10968.4	22
403	Max	-45	0	1	0	1	0	1	8391.11	51	843.03	51	165.05	25	631.27	34	10968.4	22
403	Min.	-46	0	1	0	1	0	1	3335.73	19	333.31	19	-164.09	10	-633.49	1	-2470.5	37
403	Min.	-33	0	1	0	1	0	1	3335.73	19	333.31	19	-164.09	10	-633.49	1	-2470.5	37
403	Min.	-32	0	1	0	1	0	1	3335.73	19	333.31	19	-164.09	10	-633.49	1	-2470.5	37
403	Min.	-45	0	1	0	1	0	1	3335.73	19	333.31	19	-164.09	10	-633.49	1	-2470.5	37
403	Max	-33	0	1	0	1	0	1	8391.11	52	843.03	52	164.09	31	631.27	7	2470.5	19
403	Max	-20	0	1	0	1	0	1	8391.11	52	843.03	52	164.09	31	631.27	7	2470.5	19
403	Max	-19	0	1	0	1	0	1	8391.11	52	843.03	52	164.09	31	631.27	7	2470.5	19
403	Max	-32	0	1	0	1	0	1	8391.11	52	843.03	52	164.09	31	631.27	7	2470.5	19
403	Min.	-33	0	1	0	1	0	1	3335.73	37	333.31	37	-165.05	4	-633.49	28	-10968.4	40
403	Min.	-20	0	1	0	1	0	1	3335.73	37	333.31	37	-165.05	4	-633.49	28	-10968.4	40
403	Min.	-19	0	1	0	1	0	1	3335.73	37	333.31	37	-165.05	4	-633.49	28	-10968.4	40
403	Min.	-32	0	1	0	1	0	1	3335.73	37	333.31	37	-165.05	4	-633.49	28	-10968.4	40
403	Max	-20	0	1	0	1	0	1	4186.53	22	421.4	22	225.75	31	558.09	1	-11687.8	19
403	Max	-7	0	1	0	1	0	1	4186.53	22	421.4	22	225.75	31	558.09	1	-11687.8	19
403	Max	-6	0	1	0	1	0	1	4186.53	22	421.4	22	225.75	31	558.09	1	-11687.8	19
403	Max	-19	0	1	0	1	0	1	4186.53	22	421.4	22	225.75	31	558.09	1	-11687.8	19
403	Min.	-20	0	1	0	1	0	1	-1564.22	37	-157.01	37	-227.56	4	-551.39	34	-22336.8	51
403	Min.	-7	0	1	0	1	0	1	-1564.22	37	-157.01	37	-227.56	4	-551.39	34	-22336.8	51
403	Min.	-6	0	1	0	1	0	1	-1564.22	37	-157.01	37	-227.56	4	-551.39	34	-22336.8	51
403	Min.	-19	0	1	0	1	0	1	-1564.22	37	-157.01	37	-227.56	4	-551.39	34	-22336.8	51
403	Max	-58	0	1	0	1	0	1	4254.81	40	432.6	40	227.98	25	560.93	28	22339.7	50

Relazione di calcolo

403	Max	-45	0	1	0	1	0	1	4254.81	40	432.6	40	227.98	25	560.93	28	22339.7	50
403	Max	-44	0	1	0	1	0	1	4254.81	40	432.6	40	227.98	25	560.93	28	22339.7	50
403	Max	-57	0	1	0	1	0	1	4254.81	40	432.6	40	227.98	25	560.93	28	22339.7	50
403	Min.	-58	0	1	0	1	0	1	-1634.38	19	-166.78	19	-221.04	10	-540.46	7	11222.2	25
403	Min.	-45	0	1	0	1	0	1	-1634.38	19	-166.78	19	-221.04	10	-540.46	7	11222.2	25
403	Min.	-44	0	1	0	1	0	1	-1634.38	19	-166.78	19	-221.04	10	-540.46	7	11222.2	25
403	Min.	-57	0	1	0	1	0	1	-1634.38	19	-166.78	19	-221.04	10	-540.46	7	11222.2	25
403	Max	-45	0	1	0	1	0	1	8386.15	51	845.62	51	166.09	25	624.68	31	11124.5	22
403	Max	-32	0	1	0	1	0	1	8386.15	51	845.62	51	166.09	25	624.68	31	11124.5	22
403	Max	-31	0	1	0	1	0	1	8386.15	51	845.62	51	166.09	25	624.68	31	11124.5	22
403	Max	-44	0	1	0	1	0	1	8386.15	51	845.62	51	166.09	25	624.68	31	11124.5	22
403	Min.	-45	0	1	0	1	0	1	3237	19	319.7	19	-162.55	10	-634.35	4	-2628.1	37
403	Min.	-32	0	1	0	1	0	1	3237	19	319.7	19	-162.55	10	-634.35	4	-2628.1	37
403	Min.	-31	0	1	0	1	0	1	3237	19	319.7	19	-162.55	10	-634.35	4	-2628.1	37
403	Min.	-44	0	1	0	1	0	1	3237	19	319.7	19	-162.55	10	-634.35	4	-2628.1	37
403	Max	-18	0	1	0	1	0	1	4324.17	22	443.75	22	211.83	34	556.4	1	-10377.1	4
403	Max	-5	0	1	0	1	0	1	4324.17	22	443.75	22	211.83	34	556.4	1	-10377.1	4
403	Max	-4	0	1	0	1	0	1	4324.17	22	443.75	22	211.83	34	556.4	1	-10377.1	4
403	Max	-17	0	1	0	1	0	1	4324.17	22	443.75	22	211.83	34	556.4	1	-10377.1	4
403	Min.	-18	0	1	0	1	0	1	-1706.98	37	-175.65	37	-224.04	1	-523.17	34	-22332.2	50
403	Min.	-5	0	1	0	1	0	1	-1706.98	37	-175.65	37	-224.04	1	-523.17	34	-22332.2	50
403	Min.	-4	0	1	0	1	0	1	-1706.98	37	-175.65	37	-224.04	1	-523.17	34	-22332.2	50
403	Min.	-17	0	1	0	1	0	1	-1706.98	37	-175.65	37	-224.04	1	-523.17	34	-22332.2	50
403	Max	-19	0	1	0	1	0	1	4254.81	22	432.6	22	221.04	31	560.93	1	-11222.2	4
403	Max	-6	0	1	0	1	0	1	4254.81	22	432.6	22	221.04	31	560.93	1	-11222.2	4
403	Max	-5	0	1	0	1	0	1	4254.81	22	432.6	22	221.04	31	560.93	1	-11222.2	4
403	Max	-18	0	1	0	1	0	1	4254.81	22	432.6	22	221.04	31	560.93	1	-11222.2	4
403	Min.	-19	0	1	0	1	0	1	-1634.38	37	-166.78	37	-227.98	4	-540.46	34	-22339.7	50
403	Min.	-6	0	1	0	1	0	1	-1634.38	37	-166.78	37	-227.98	4	-540.46	34	-22339.7	50
403	Min.	-5	0	1	0	1	0	1	-1634.38	37	-166.78	37	-227.98	4	-540.46	34	-22339.7	50
403	Min.	-18	0	1	0	1	0	1	-1634.38	37	-166.78	37	-227.98	4	-540.46	34	-22339.7	50
403	Max	-57	0	1	0	1	0	1	4324.17	40	443.75	40	224.04	28	556.4	28	22332.2	50
403	Max	-44	0	1	0	1	0	1	4324.17	40	443.75	40	224.04	28	556.4	28	22332.2	50
403	Max	-43	0	1	0	1	0	1	4324.17	40	443.75	40	224.04	28	556.4	28	22332.2	50
403	Max	-56	0	1	0	1	0	1	4324.17	40	443.75	40	224.04	28	556.4	28	22332.2	50
403	Min.	-57	0	1	0	1	0	1	-1706.98	19	-175.65	19	-211.83	7	-523.17	7	10377.1	25
403	Min.	-44	0	1	0	1	0	1	-1706.98	19	-175.65	19	-211.83	7	-523.17	7	10377.1	25
403	Min.	-43	0	1	0	1	0	1	-1706.98	19	-175.65	19	-211.83	7	-523.17	7	10377.1	25
403	Min.	-56	0	1	0	1	0	1	-1706.98	19	-175.65	19	-211.83	7	-523.17	7	10377.1	25
403	Max	-44	0	1	0	1	0	1	8374.61	51	846.27	51	166.63	25	594.41	34	11259.8	22
403	Max	-31	0	1	0	1	0	1	8374.61	51	846.27	51	166.63	25	594.41	34	11259.8	22
403	Max	-30	0	1	0	1	0	1	8374.61	51	846.27	51	166.63	25	594.41	34	11259.8	22
403	Max	-43	0	1	0	1	0	1	8374.61	51	846.27	51	166.63	25	594.41	34	11259.8	22
403	Min.	-44	0	1	0	1	0	1	3136.24	19	304.89	19	-159.77	10	-634.53	1	-2790.87	37
403	Min.	-31	0	1	0	1	0	1	3136.24	19	304.89	19	-159.77	10	-634.53	1	-2790.87	37
403	Min.	-30	0	1	0	1	0	1	3136.24	19	304.89	19	-159.77	10	-634.53	1	-2790.87	37
403	Min.	-43	0	1	0	1	0	1	3136.24	19	304.89	19	-159.77	10	-634.53	1	-2790.87	37
403	Max	-31	0	1	0	1	0	1	8374.61	52	846.27	52	159.77	31	594.41	7	2790.87	19
403	Max	-18	0	1	0	1	0	1	8374.61	52	846.27	52	159.77	31	594.41	7	2790.87	19
403	Max	-17	0	1	0	1	0	1	8374.61	52	846.27	52	159.77	31	594.41	7	2790.87	19
403	Max	-30	0	1	0	1	0	1	8374.61	52	846.27	52	159.77	31	594.41	7	2790.87	19
403	Min.	-31	0	1	0	1	0	1	3136.24	37	304.89	37	-166.63	4	-634.53	28	-11259.8	40
403	Min.	-18	0	1	0	1	0	1	3136.24	37	304.89	37	-166.63	4	-634.53	28	-11259.8	40
403	Min.	-17	0	1	0	1	0	1	3136.24	37	304.89	37	-166.63	4	-634.53	28	-11259.8	40
403	Min.	-30	0	1	0	1	0	1	3136.24	37	304.89	37	-166.63	4	-634.53	28	-11259.8	40
403	Max	-26	0	1	0	1	0	1	4543.75	43	199.63	43	68.68	31	1485.55	4	-8062.09	34
403	Max	-13	0	1	0	1	0	1	4543.75	43	199.63	43	68.68	31	1485.55	4	-8062.09	34
403	Max	-12	0	1	0	1	0	1	4543.75	43	199.63	43	68.68	31	1485.55	4	-8062.09	34
403	Max	-25	0	1	0	1	0	1	4543.75	43	199.63	43	68.68	31	1485.55	4	-8062.09	34
403	Min.	-26	0	1	0	1	0	1	-1885.42	16	-197.87	16	-312.99	4	-528.88	31	-23147.8	49
403	Min.	-13	0	1	0	1	0	1	-1885.42	16	-197.87	16	-312.99	4	-528.88	31	-23147.8	49
403	Min.	-12	0	1	0	1	0	1	-1885.42	16	-197.87	16	-312.99	4	-528.88	31	-23147.8	49
403	Min.	-25	0	1	0	1	0	1	-1885.42	16	-197.87	16	-312.99	4	-528.88	31	-23147.8	49
403	Max	-56	0	1	0	1	0	1	4386	40	453.57	40	212.54	25	518.34	25	22317.4	50
403	Max	-43	0	1	0	1	0	1	4386	40	453.57	40	212.54	25	518.34	25	22317.4	50
403	Max	-42	0	1	0	1	0	1	4386	40	453.57	40	212.54	25	518.34	25	22317.4	50
403	Max	-55	0	1	0	1	0	1	4386	40	453.57	40	212.54	25	518.34	25	22317.4	50
403	Min.	-56	0	1	0	1	0	1	-1774.15	19	-197.37	19	-195.7	10	-554.73	10	9557.24	25
403	Min.	-43	0	1	0	1	0	1	-1774.15	19	-197.37	19	-195.7	10	-554.73	10	9557.24	25
403	Min.	-42	0	1	0	1	0	1	-1774.15	19	-197.37	19	-195.7	10	-554.73	10	9557.24	25
403	Min.	-55	0	1	0	1	0	1	-1774.15	19	-197.37	19	-195.7	10	-554.73	10	9557.24	25
403	Max	-43	0	1	0	1	0	1	8355.44	51	830.51	50	162.43	28	510.51	31	11475.9	22
403	Max	-30	0	1	0	1	0	1	8355.44	51	830.51	50	162.43	28	510.51	31	11475.9	22
403	Max	-29	0	1	0	1	0	1	8355.44	51	830.51	50	162.43	28	510.51	31	11475.9	22
403	Max	-42	0	1	0	1	0	1	8355.44	51	830.51	50	162.43	28	510.51	31	11475.9	22
403	Min.	-43	0	1	0	1	0	1	3037.67	19	251.45	4	-156.33	7	-621.28	4	-2984.09	37
403	Min.	-30	0	1	0	1	0	1	3037.67	19	251.45	4	-156.33	7	-621.28	4	-2984.09	37
403	Min.	-29	0	1	0	1	0	1	3037.67	19	251.45	4	-156.33	7	-621.28	4	-2984.09	37
403	Min.	-42	0	1	0	1	0	1	3037.67	19	251.45	4	-156.33	7	-621.28	4	-2984.09	37

Relazione di calcolo

403	Max	-52	0	1	0	1	0	1	8486.63	51	368.12	49	228.16	28	487.09	51	12174	43
403	Max	-39	0	1	0	1	0	1	8486.63	51	368.12	49	228.16	28	487.09	51	12174	43
403	Max	-38	0	1	0	1	0	1	8486.63	51	368.12	49	228.16	28	487.09	51	12174	43
403	Max	-51	0	1	0	1	0	1	8486.63	51	368.12	49	228.16	28	487.09	51	12174	43
403	Min.	-52	0	1	0	1	0	1	2954.85	46	80.35	34	-98.54	7	77.28	43	-3374.26	16
403	Min.	-39	0	1	0	1	0	1	2954.85	46	80.35	34	-98.54	7	77.28	43	-3374.26	16
403	Min.	-38	0	1	0	1	0	1	2954.85	46	80.35	34	-98.54	7	77.28	43	-3374.26	16
403	Min.	-51	0	1	0	1	0	1	2954.85	46	80.35	34	-98.54	7	77.28	43	-3374.26	16
403	Max	-39	0	1	0	1	0	1	8486.63	52	368.12	49	98.54	34	487.09	52	3374.26	46
403	Max	-26	0	1	0	1	0	1	8486.63	52	368.12	49	98.54	34	487.09	52	3374.26	46
403	Max	-25	0	1	0	1	0	1	8486.63	52	368.12	49	98.54	34	487.09	52	3374.26	46
403	Max	-38	0	1	0	1	0	1	8486.63	52	368.12	49	98.54	34	487.09	52	3374.26	46
403	Min.	-39	0	1	0	1	0	1	2954.85	16	80.35	7	-228.16	1	77.28	13	-12174	13
403	Min.	-26	0	1	0	1	0	1	2954.85	16	80.35	7	-228.16	1	77.28	13	-12174	13
403	Min.	-25	0	1	0	1	0	1	2954.85	16	80.35	7	-228.16	1	77.28	13	-12174	13
403	Min.	-38	0	1	0	1	0	1	2954.85	16	80.35	7	-228.16	1	77.28	13	-12174	13
403	Max	-51	0	1	0	1	0	1	8372.16	51	720.49	49	172.05	25	566.56	31	11254.7	43
403	Max	-38	0	1	0	1	0	1	8372.16	51	720.49	49	172.05	25	566.56	31	11254.7	43
403	Max	-37	0	1	0	1	0	1	8372.16	51	720.49	49	172.05	25	566.56	31	11254.7	43
403	Max	-50	0	1	0	1	0	1	8372.16	51	720.49	49	172.05	25	566.56	31	11254.7	43
403	Min.	-51	0	1	0	1	0	1	2973.38	46	168.14	34	-147.39	10	-272.41	4	-3012.44	16
403	Min.	-38	0	1	0	1	0	1	2973.38	46	168.14	34	-147.39	10	-272.41	4	-3012.44	16
403	Min.	-37	0	1	0	1	0	1	2973.38	46	168.14	34	-147.39	10	-272.41	4	-3012.44	16
403	Min.	-50	0	1	0	1	0	1	2973.38	46	168.14	34	-147.39	10	-272.41	4	-3012.44	16
403	Max	-64	0	1	0	1	0	1	4455.46	13	433.79	13	219.2	25	895.39	25	21894.4	49
403	Max	-51	0	1	0	1	0	1	4455.46	13	433.79	13	219.2	25	895.39	25	21894.4	49
403	Max	-50	0	1	0	1	0	1	4455.46	13	433.79	13	219.2	25	895.39	25	21894.4	49
403	Max	-63	0	1	0	1	0	1	4455.46	13	433.79	13	219.2	25	895.39	25	21894.4	49
403	Min.	-64	0	1	0	1	0	1	-1848.22	46	-248.63	46	-171.12	10	-472.15	10	8717.42	7
403	Min.	-51	0	1	0	1	0	1	-1848.22	46	-248.63	46	-171.12	10	-472.15	10	8717.42	7
403	Min.	-50	0	1	0	1	0	1	-1848.22	46	-248.63	46	-171.12	10	-472.15	10	8717.42	7
403	Min.	-63	0	1	0	1	0	1	-1848.22	46	-248.63	46	-171.12	10	-472.15	10	8717.42	7
404	Max	-170	0	13	0	13	0	13	153.43	40	1393.16	37	-49.83	22	-5799.91	22	186.89	16
404	Max	-171	0	13	0	13	0	13	153.43	40	1393.16	37	-49.83	22	-5799.91	22	186.89	16
404	Max	-158	0	13	0	13	0	13	153.43	40	1393.16	37	-49.83	22	-5799.91	22	186.89	16
404	Max	-157	0	13	0	13	0	13	153.43	40	1393.16	37	-49.83	22	-5799.91	22	186.89	16
404	Min.	-170	0	43	0	43	0	46	-173.8	19	-3871.56	22	-192.75	51	-19410.3	51	-1034.67	43
404	Min.	-171	0	43	0	43	0	46	-173.8	19	-3871.56	22	-192.75	51	-19410.3	51	-1034.67	43
404	Min.	-158	0	43	0	43	0	46	-173.8	19	-3871.56	22	-192.75	51	-19410.3	51	-1034.67	43
404	Min.	-157	0	43	0	43	0	46	-173.8	19	-3871.56	22	-192.75	51	-19410.3	51	-1034.67	43
404	Max	-138	0	51	0	51	0	40	117.87	43	1178.91	46	69.58	10	18813.2	52	258.97	25
404	Max	-139	0	51	0	51	0	40	117.87	43	1178.91	46	69.58	10	18813.2	52	258.97	25
404	Max	-126	0	51	0	51	0	40	117.87	43	1178.91	46	69.58	10	18813.2	52	258.97	25
404	Max	-125	0	51	0	51	0	40	117.87	43	1178.91	46	69.58	10	18813.2	52	258.97	25
404	Min.	-138	0	52	0	52	0	19	-365.23	16	-3619.78	13	-63.65	25	5985.29	16	-277.5	10
404	Min.	-139	0	52	0	52	0	19	-365.23	16	-3619.78	13	-63.65	25	5985.29	16	-277.5	10
404	Min.	-126	0	52	0	52	0	19	-365.23	16	-3619.78	13	-63.65	25	5985.29	16	-277.5	10
404	Min.	-125	0	52	0	52	0	19	-365.23	16	-3619.78	13	-63.65	25	5985.29	16	-277.5	10
404	Max	-139	0	25	0	25	0	7	122.39	43	1241.34	46	73.03	10	18779.5	52	249.31	25
404	Max	-140	0	25	0	25	0	7	122.39	43	1241.34	46	73.03	10	18779.5	52	249.31	25
404	Max	-127	0	25	0	25	0	7	122.39	43	1241.34	46	73.03	10	18779.5	52	249.31	25
404	Max	-126	0	25	0	25	0	7	122.39	43	1241.34	46	73.03	10	18779.5	52	249.31	25
404	Min.	-139	0	1	0	1	0	25	-371.81	16	-3679.48	13	-63.06	25	5885	16	-278.63	10
404	Min.	-140	0	1	0	1	0	25	-371.81	16	-3679.48	13	-63.06	25	5885	16	-278.63	10
404	Min.	-127	0	1	0	1	0	25	-371.81	16	-3679.48	13	-63.06	25	5885	16	-278.63	10
404	Min.	-126	0	1	0	1	0	25	-371.81	16	-3679.48	13	-63.06	25	5885	16	-278.63	10
404	Max	-140	0	52	0	52	0	31	138.27	43	1299.94	46	76.17	7	18742.7	52	272.81	28
404	Max	-141	0	52	0	52	0	31	138.27	43	1299.94	46	76.17	7	18742.7	52	272.81	28
404	Max	-128	0	52	0	52	0	31	138.27	43	1299.94	46	76.17	7	18742.7	52	272.81	28
404	Max	-127	0	52	0	52	0	31	138.27	43	1299.94	46	76.17	7	18742.7	52	272.81	28
404	Min.	-140	0	51	0	51	0	1	-377.01	16	-3732.56	13	-61.98	28	5790.93	16	-240.86	7
404	Min.	-141	0	51	0	51	0	1	-377.01	16	-3732.56	13	-61.98	28	5790.93	16	-240.86	7
404	Min.	-128	0	51	0	51	0	1	-377.01	16	-3732.56	13	-61.98	28	5790.93	16	-240.86	7
404	Min.	-127	0	51	0	51	0	1	-377.01	16	-3732.56	13	-61.98	28	5790.93	16	-240.86	7
404	Max	-141	0	52	0	52	0	31	174.47	43	1366.54	46	43.94	10	18353.3	52	418.35	40
404	Max	-142	0	52	0	52	0	31	174.47	43	1366.54	46	43.94	10	18353.3	52	418.35	40
404	Max	-129	0	52	0	52	0	31	174.47	43	1366.54	46	43.94	10	18353.3	52	418.35	40
404	Max	-128	0	52	0	52	0	31	174.47	43	1366.54	46	43.94	10	18353.3	52	418.35	40
404	Min.	-141	0	51	0	51	0	1	-358.43	16	-3796.88	13	-86.64	25	5410.79	16	-73.21	19
404	Min.	-142	0	51	0	51	0	1	-358.43	16	-3796.88	13	-86.64	25	5410.79	16	-73.21	19
404	Min.	-129	0	51	0	51	0	1	-358.43	16	-3796.88	13	-86.64	25	5410.79	16	-73.21	19
404	Min.	-128	0	51	0	51	0	1	-358.43	16	-3796.88	13	-86.64	25	5410.79	16	-73.21	19
404	Max	-142	0	19	0	16	0	16	153.43	43	1393.16	46	-49.83	13	19410.3	52	1034.67	40
404	Max	-143	0	19	0	16	0	16	153.43	43	1393.16	46	-49.83	13	19410.3	52	1034.67	40
404	Max	-130	0	19	0	16	0	16	153.43	43	1393.16	46	-49.83	13	19410.3	52	1034.67	40
404	Max	-129	0	19	0	16	0	16	153.43	43	1393.16	46	-49.83	13	19410.3	52	1034.67	40
404	Min.	-142	0	40	0	43	0	43	-173.8	16	-3871.56	13	-192.75	52	5799.91	13	-186.89	19
404	Min.	-143	0	40	0	43	0	43	-173.8	16	-3871.56	13	-192.75	52	5799.91	13	-186.89	19
404	Min.	-130	0	40	0	43	0	43	-173.8	16	-3871.56	13	-192.75	52	5799.91	13	-186.89	19

Relazione di calcolo

404	Min.	-129	0	40		0	43		0	43	-173.8	16	-3871.56	13	-192.75	52	5799.91	13	-186.89	19
404	Max	-181	0	19		0	43		0	13	153.43	13	1393.16	16	192.75	51	-5799.91	43	1034.67	22
404	Max	-182	0	19		0	43		0	13	153.43	13	1393.16	16	192.75	51	-5799.91	43	1034.67	22
404	Max	-169	0	19		0	43		0	13	153.43	13	1393.16	16	192.75	51	-5799.91	43	1034.67	22
404	Max	-168	0	19		0	43		0	13	153.43	13	1393.16	16	192.75	51	-5799.91	43	1034.67	22
404	Min.	-181	0	37		0	13		0	22	-173.8	46	-3871.56	43	49.83	43	-19410.3	51	-186.89	37
404	Min.	-182	0	37		0	13		0	22	-173.8	46	-3871.56	43	49.83	43	-19410.3	51	-186.89	37
404	Min.	-169	0	37		0	13		0	22	-173.8	46	-3871.56	43	49.83	43	-19410.3	51	-186.89	37
404	Min.	-168	0	37		0	13		0	22	-173.8	46	-3871.56	43	49.83	43	-19410.3	51	-186.89	37
404	Max	-157	0	25		0	25		0	1	-126.75	40	-3022.53	37	54.09	22	1125.73	22	-82.95	40
404	Max	-158	0	25		0	25		0	1	-126.75	40	-3022.53	37	54.09	22	1125.73	22	-82.95	40
404	Max	-145	0	25		0	25		0	1	-126.75	40	-3022.53	37	54.09	22	1125.73	22	-82.95	40
404	Max	-144	0	25		0	25		0	1	-126.75	40	-3022.53	37	54.09	22	1125.73	22	-82.95	40
404	Min.	-157	0	1		0	1		0	7	-315.13	52	-7374.75	52	-161.36	37	-8009.78	37	-416.01	52
404	Min.	-158	0	1		0	1		0	7	-315.13	52	-7374.75	52	-161.36	37	-8009.78	37	-416.01	52
404	Min.	-145	0	1		0	1		0	7	-315.13	52	-7374.75	52	-161.36	37	-8009.78	37	-416.01	52
404	Min.	-144	0	1		0	1		0	7	-315.13	52	-7374.75	52	-161.36	37	-8009.78	37	-416.01	52
404	Max	-158	0	52		0	52		0	43	-236.6	40	-2991.33	37	72.96	1	856	22	-40.11	7
404	Max	-159	0	52		0	52		0	43	-236.6	40	-2991.33	37	72.96	1	856	22	-40.11	7
404	Max	-146	0	52		0	52		0	43	-236.6	40	-2991.33	37	72.96	1	856	22	-40.11	7
404	Max	-145	0	52		0	52		0	43	-236.6	40	-2991.33	37	72.96	1	856	22	-40.11	7
404	Min.	-158	0	51		0	51		0	16	-622.36	52	-7273.09	52	-94.71	34	-7289.49	37	-229.96	49
404	Min.	-159	0	51		0	51		0	16	-622.36	52	-7273.09	52	-94.71	34	-7289.49	37	-229.96	49
404	Min.	-146	0	51		0	51		0	16	-622.36	52	-7273.09	52	-94.71	34	-7289.49	37	-229.96	49
404	Min.	-145	0	51		0	51		0	16	-622.36	52	-7273.09	52	-94.71	34	-7289.49	37	-229.96	49
404	Max	-159	0	52		0	52		0	43	-289.06	40	-2999.03	37	86.99	1	858.51	19	30.86	10
404	Max	-160	0	52		0	52		0	43	-289.06	40	-2999.03	37	86.99	1	858.51	19	30.86	10
404	Max	-147	0	52		0	52		0	43	-289.06	40	-2999.03	37	86.99	1	858.51	19	30.86	10
404	Max	-146	0	52		0	52		0	43	-289.06	40	-2999.03	37	86.99	1	858.51	19	30.86	10
404	Min.	-159	0	51		0	51		0	16	-720.2	52	-7257.43	52	-82.15	34	-7489.72	40	-121.22	25
404	Min.	-160	0	51		0	51		0	16	-720.2	52	-7257.43	52	-82.15	34	-7489.72	40	-121.22	25
404	Min.	-147	0	51		0	51		0	16	-720.2	52	-7257.43	52	-82.15	34	-7489.72	40	-121.22	25
404	Min.	-146	0	51		0	51		0	16	-720.2	52	-7257.43	52	-82.15	34	-7489.72	40	-121.22	25
404	Max	-160	0	13		0	13		0	19	-303.14	40	-3032.87	37	84.45	4	742.75	19	57.53	10
404	Max	-161	0	13		0	13		0	19	-303.14	40	-3032.87	37	84.45	4	742.75	19	57.53	10
404	Max	-148	0	13		0	13		0	19	-303.14	40	-3032.87	37	84.45	4	742.75	19	57.53	10
404	Max	-147	0	13		0	13		0	19	-303.14	40	-3032.87	37	84.45	4	742.75	19	57.53	10
404	Min.	-160	0	19		0	19		0	16	-735.12	52	-7273.95	52	-78.7	31	-7358.47	40	-91.51	25
404	Min.	-161	0	19		0	19		0	16	-735.12	52	-7273.95	52	-78.7	31	-7358.47	40	-91.51	25
404	Min.	-148	0	19		0	19		0	16	-735.12	52	-7273.95	52	-78.7	31	-7358.47	40	-91.51	25
404	Min.	-147	0	19		0	19		0	16	-735.12	52	-7273.95	52	-78.7	31	-7358.47	40	-91.51	25
404	Max	-161	0	43		0	43		0	1	-306.78	40	-3064.5	37	80.33	1	654.39	22	73.26	7
404	Max	-162	0	43		0	43		0	1	-306.78	40	-3064.5	37	80.33	1	654.39	22	73.26	7
404	Max	-149	0	43		0	43		0	1	-306.78	40	-3064.5	37	80.33	1	654.39	22	73.26	7
404	Max	-148	0	43		0	43		0	1	-306.78	40	-3064.5	37	80.33	1	654.39	22	73.26	7
404	Min.	-161	0	13		0	13		0	7	-734.63	52	-7284.16	52	-77.36	34	-7291.43	37	-81.93	28
404	Min.	-162	0	13		0	13		0	7	-734.63	52	-7284.16	52	-77.36	34	-7291.43	37	-81.93	28
404	Min.	-149	0	13		0	13		0	7	-734.63	52	-7284.16	52	-77.36	34	-7291.43	37	-81.93	28
404	Min.	-148	0	13		0	13		0	7	-734.63	52	-7284.16	52	-77.36	34	-7291.43	37	-81.93	28
404	Max	-162	0	51		0	51		0	19	-310.13	40	-3092.89	37	78.08	1	571.98	19	77.8	7
404	Max	-163	0	51		0	51		0	19	-310.13	40	-3092.89	37	78.08	1	571.98	19	77.8	7
404	Max	-150	0	51		0	51		0	19	-310.13	40	-3092.89	37	78.08	1	571.98	19	77.8	7
404	Max	-149	0	51		0	51		0	19	-310.13	40	-3092.89	37	78.08	1	571.98	19	77.8	7
404	Min.	-162	0	52		0	52		0	16	-732.37	52	-7288.57	52	-77.24	34	-7210.47	40	-79.83	28
404	Min.	-163	0	52		0	52		0	16	-732.37	52	-7288.57	52	-77.24	34	-7210.47	40	-79.83	28
404	Min.	-150	0	52		0	52		0	16	-732.37	52	-7288.57	52	-77.24	34	-7210.47	40	-79.83	28
404	Min.	-149	0	52		0	52		0	16	-732.37	52	-7288.57	52	-77.24	34	-7210.47	40	-79.83	28
404	Max	-163	0	13		0	13		0	46	-310.13	13	-3092.89	16	77.24	4	571.98	46	79.83	10
404	Max	-164	0	13		0	13		0	46	-310.13	13	-3092.89	16	77.24	4	571.98	46	79.83	10
404	Max	-151	0	13		0	13		0	46	-310.13	13	-3092.89	16	77.24	4	571.98	46	79.83	10
404	Max	-150	0	13		0	13		0	46	-310.13	13	-3092.89	16	77.24	4	571.98	46	79.83	10
404	Min.	-163	0	43		0	43		0	13	-732.37	52	-7288.57	52	-78.08	31	-7210.47	13	-77.8	25
404	Min.	-164	0	43		0	43		0	13	-732.37	52	-7288.57	52	-78.08	31	-7210.47	13	-77.8	25
404	Min.	-151	0	43		0	43		0	13	-732.37	52	-7288.57	52	-78.08	31	-7210.47	13	-77.8	25
404	Min.	-150	0	43		0	43		0	13	-732.37	52	-7288.57	52	-78.08	31	-7210.47	13	-77.8	25
404	Max	-164	0	19		0	19		0	25	-306.78	13	-3064.5	16	77.36	4	654.39	43	81.93	10
404	Max	-165	0	19		0	19		0	25	-306.78	13	-3064.5	16	77.36	4	654.39	43	81.93	10
404	Max	-152	0	19		0	19		0	25	-306.78	13	-3064.5	16	77.36	4	654.39	43	81.93	10
404	Max	-151	0	19		0	19		0	25	-306.78	13	-3064.5	16	77.36	4	654.39	43	81.93	10
404	Min.	-164	0	37		0	37		0	7	-734.63	52	-7284.16	52	-80.33	31	-7291.43	16	-73.26	25
404	Min.	-165	0	37		0	37		0	7	-734.63	52	-7284.16	52	-80.33	31	-7291.43	16	-73.26	25
404	Min.	-152	0	37		0	37		0	7	-734.63	52	-7284.16	52	-80.33	31	-7291.43	16	-73.26	25
404	Min.	-151	0	37		0	37		0	7	-734.63	52	-7284.16	52	-80.33	31	-7291.43	16	-73.26	25
404	Max	-165	0	51		0	51		0	22	-303.14	13	-3032.87	16	78.7	1	742.75	46	91.51	7
404	Max	-166	0	51		0	51		0	22	-303.14	13	-3032.87	16	78.7	1	742.75	46	91.51	7
404	Max	-153	0	51		0	51		0	22	-303.14	13	-3032.87	16	78.7	1				

Relazione di calcolo

404	Min.	-153	0	52	0	52	0	37	-735.12	52	-7273.95	52	-84.45	34	-7358.47	13	-57.53	28
404	Min.	-152	0	52	0	52	0	37	-735.12	52	-7273.95	52	-84.45	34	-7358.47	13	-57.53	28
404	Max	-166	0	13	0	13	0	43	-289.06	13	-2999.03	16	82.15	4	858.51	46	121.22	7
404	Max	-167	0	13	0	13	0	43	-289.06	13	-2999.03	16	82.15	4	858.51	46	121.22	7
404	Max	-154	0	13	0	13	0	43	-289.06	13	-2999.03	16	82.15	4	858.51	46	121.22	7
404	Max	-153	0	13	0	13	0	43	-289.06	13	-2999.03	16	82.15	4	858.51	46	121.22	7
404	Min.	-166	0	43	0	43	0	16	-720.2	52	-7257.43	52	-86.99	31	-7489.72	13	-30.86	28
404	Min.	-167	0	43	0	43	0	16	-720.2	52	-7257.43	52	-86.99	31	-7489.72	13	-30.86	28
404	Min.	-154	0	43	0	43	0	16	-720.2	52	-7257.43	52	-86.99	31	-7489.72	13	-30.86	28
404	Min.	-153	0	43	0	43	0	16	-720.2	52	-7257.43	52	-86.99	31	-7489.72	13	-30.86	28
404	Max	-167	0	52	0	52	0	46	-236.6	13	-2991.33	16	94.71	4	856	43	229.96	50
404	Max	-168	0	52	0	52	0	46	-236.6	13	-2991.33	16	94.71	4	856	43	229.96	50
404	Max	-155	0	52	0	52	0	46	-236.6	13	-2991.33	16	94.71	4	856	43	229.96	50
404	Max	-154	0	52	0	52	0	46	-236.6	13	-2991.33	16	94.71	4	856	43	229.96	50
404	Min.	-167	0	51	0	51	0	13	-622.36	52	-7273.09	52	-72.96	31	-7289.49	16	40.11	25
404	Min.	-168	0	51	0	51	0	13	-622.36	52	-7273.09	52	-72.96	31	-7289.49	16	40.11	25
404	Min.	-155	0	51	0	51	0	13	-622.36	52	-7273.09	52	-72.96	31	-7289.49	16	40.11	25
404	Min.	-154	0	51	0	51	0	13	-622.36	52	-7273.09	52	-72.96	31	-7289.49	16	40.11	25
404	Max	-168	0	43	0	43	0	1	-126.75	13	-3022.53	16	161.36	16	1125.73	43	416.01	52
404	Max	-169	0	43	0	43	0	1	-126.75	13	-3022.53	16	161.36	16	1125.73	43	416.01	52
404	Max	-156	0	43	0	43	0	1	-126.75	13	-3022.53	16	161.36	16	1125.73	43	416.01	52
404	Max	-155	0	43	0	43	0	1	-126.75	13	-3022.53	16	161.36	16	1125.73	43	416.01	52
404	Min.	-168	0	13	0	13	0	31	-315.13	52	-7374.75	52	-54.09	43	-8009.78	16	82.95	13
404	Min.	-169	0	13	0	13	0	31	-315.13	52	-7374.75	52	-54.09	43	-8009.78	16	82.95	13
404	Min.	-156	0	13	0	13	0	31	-315.13	52	-7374.75	52	-54.09	43	-8009.78	16	82.95	13
404	Min.	-155	0	13	0	13	0	31	-315.13	52	-7374.75	52	-54.09	43	-8009.78	16	82.95	13
404	Max	-144	0	37	0	13	0	13	-126.75	22	-3022.53	19	161.36	19	8009.78	19	-82.95	22
404	Max	-145	0	37	0	13	0	13	-126.75	22	-3022.53	19	161.36	19	8009.78	19	-82.95	22
404	Max	-132	0	37	0	13	0	13	-126.75	22	-3022.53	19	161.36	19	8009.78	19	-82.95	22
404	Max	-131	0	37	0	13	0	13	-126.75	22	-3022.53	19	161.36	19	8009.78	19	-82.95	22
404	Min.	-144	0	19	0	43	0	46	-315.13	51	-7374.75	51	-54.09	40	-1125.73	40	-416.01	51
404	Min.	-145	0	19	0	43	0	46	-315.13	51	-7374.75	51	-54.09	40	-1125.73	40	-416.01	51
404	Min.	-132	0	19	0	43	0	46	-315.13	51	-7374.75	51	-54.09	40	-1125.73	40	-416.01	51
404	Min.	-131	0	19	0	43	0	46	-315.13	51	-7374.75	51	-54.09	40	-1125.73	40	-416.01	51
404	Max	-145	0	19	0	19	0	25	-236.6	22	-2991.33	19	94.71	7	7289.49	19	-40.11	34
404	Max	-146	0	19	0	19	0	25	-236.6	22	-2991.33	19	94.71	7	7289.49	19	-40.11	34
404	Max	-133	0	19	0	19	0	25	-236.6	22	-2991.33	19	94.71	7	7289.49	19	-40.11	34
404	Max	-132	0	19	0	19	0	25	-236.6	22	-2991.33	19	94.71	7	7289.49	19	-40.11	34
404	Min.	-145	0	37	0	37	0	7	-622.36	51	-7273.09	51	-72.96	28	-856	40	-229.96	49
404	Min.	-146	0	37	0	37	0	7	-622.36	51	-7273.09	51	-72.96	28	-856	40	-229.96	49
404	Min.	-133	0	37	0	37	0	7	-622.36	51	-7273.09	51	-72.96	28	-856	40	-229.96	49
404	Min.	-132	0	37	0	37	0	7	-622.36	51	-7273.09	51	-72.96	28	-856	40	-229.96	49
404	Max	-146	0	43	0	43	0	1	-289.06	22	-2999.03	19	82.15	7	7489.72	22	30.86	31
404	Max	-147	0	43	0	43	0	1	-289.06	22	-2999.03	19	82.15	7	7489.72	22	30.86	31
404	Max	-134	0	43	0	43	0	1	-289.06	22	-2999.03	19	82.15	7	7489.72	22	30.86	31
404	Max	-133	0	43	0	43	0	1	-289.06	22	-2999.03	19	82.15	7	7489.72	22	30.86	31
404	Min.	-146	0	13	0	13	0	31	-720.2	51	-7257.43	51	-86.99	28	-858.51	37	-121.22	4
404	Min.	-147	0	13	0	13	0	31	-720.2	51	-7257.43	51	-86.99	28	-858.51	37	-121.22	4
404	Min.	-134	0	13	0	13	0	31	-720.2	51	-7257.43	51	-86.99	28	-858.51	37	-121.22	4
404	Min.	-133	0	13	0	13	0	31	-720.2	51	-7257.43	51	-86.99	28	-858.51	37	-121.22	4
404	Max	-147	0	51	0	51	0	1	-303.14	22	-3032.87	19	78.7	10	7358.47	22	57.53	31
404	Max	-148	0	51	0	51	0	1	-303.14	22	-3032.87	19	78.7	10	7358.47	22	57.53	31
404	Max	-135	0	51	0	51	0	1	-303.14	22	-3032.87	19	78.7	10	7358.47	22	57.53	31
404	Max	-134	0	51	0	51	0	1	-303.14	22	-3032.87	19	78.7	10	7358.47	22	57.53	31
404	Min.	-147	0	52	0	52	0	31	-735.12	51	-7273.95	51	-84.45	25	-742.75	37	-91.51	4
404	Min.	-148	0	52	0	52	0	31	-735.12	51	-7273.95	51	-84.45	25	-742.75	37	-91.51	4
404	Min.	-135	0	52	0	52	0	31	-735.12	51	-7273.95	51	-84.45	25	-742.75	37	-91.51	4
404	Min.	-134	0	52	0	52	0	31	-735.12	51	-7273.95	51	-84.45	25	-742.75	37	-91.51	4
404	Max	-148	0	43	0	43	0	13	-306.78	22	-3064.5	19	77.36	7	7291.43	19	73.26	34
404	Max	-149	0	43	0	43	0	13	-306.78	22	-3064.5	19	77.36	7	7291.43	19	73.26	34
404	Max	-136	0	43	0	43	0	13	-306.78	22	-3064.5	19	77.36	7	7291.43	19	73.26	34
404	Max	-135	0	43	0	43	0	13	-306.78	22	-3064.5	19	77.36	7	7291.43	19	73.26	34
404	Min.	-148	0	13	0	13	0	46	-734.63	51	-7284.16	51	-80.33	28	-654.39	40	-81.93	1
404	Min.	-149	0	13	0	13	0	46	-734.63	51	-7284.16	51	-80.33	28	-654.39	40	-81.93	1
404	Min.	-136	0	13	0	13	0	46	-734.63	51	-7284.16	51	-80.33	28	-654.39	40	-81.93	1
404	Min.	-135	0	13	0	13	0	46	-734.63	51	-7284.16	51	-80.33	28	-654.39	40	-81.93	1
404	Max	-149	0	43	0	43	0	1	-310.13	22	-3092.89	19	77.24	7	7210.47	22	77.8	34
404	Max	-150	0	43	0	43	0	1	-310.13	22	-3092.89	19	77.24	7	7210.47	22	77.8	34
404	Max	-137	0	43	0	43	0	1	-310.13	22	-3092.89	19	77.24	7	7210.47	22	77.8	34
404	Max	-136	0	43	0	43	0	1	-310.13	22	-3092.89	19	77.24	7	7210.47	22	77.8	34
404	Min.	-149	0	13	0	13	0	31	-732.37	51	-7288.57	51	-78.08	28	-571.98	37	-79.83	1
404	Min.	-150	0	13	0	13	0	31	-732.37	51	-7288.57	51	-78.08	28	-571.98	37	-79.83	1
404	Min.	-137	0	13	0	13	0	31	-732.37	51	-7288.57	51	-78.08	28	-571.98	37	-79.83	1
404	Min.	-136	0	13	0	13	0	31	-732.37	51	-7288.57	51	-78.08	28	-571.98	37	-79.83	1
404	Max	-150	0	25	0	25	0	50	-310.13	43	-3092.89	46	78.08	10	7210.47	43	79.83	31
404	Max	-151	0	25	0	25	0	50	-310.13	43	-3092.89	46	78.08	10	7210.47	43	79.83	31
404	Max	-138	0	25	0	25	0	50	-310.13	43	-3092.89	46	78.08	10	7210.47	43	79.83	31
404	Max	-137	0	25	0	25	0	50	-310.13	43	-3092.89	46	78.08	10	7210.47	43	79.83	31
404	Min.	-150	0	1	0	1	0	49	-732.37	51	-7288.57	51	-77.24	25	-571.98	16	-77.8	4

Relazione di calcolo

404	Min.	-151	0	1	0	1	0	49	-732.37	51	-7288.57	51	-77.24	25	-571.98	16	-77.8	4
404	Min.	-138	0	1	0	1	0	49	-732.37	51	-7288.57	51	-77.24	25	-571.98	16	-77.8	4
404	Min.	-137	0	1	0	1	0	49	-732.37	51	-7288.57	51	-77.24	25	-571.98	16	-77.8	4
404	Max	-151	0	43	0	43	0	13	-306.78	43	-3064.5	46	80.33	10	7291.43	46	81.93	31
404	Max	-152	0	43	0	43	0	13	-306.78	43	-3064.5	46	80.33	10	7291.43	46	81.93	31
404	Max	-139	0	43	0	43	0	13	-306.78	43	-3064.5	46	80.33	10	7291.43	46	81.93	31
404	Max	-138	0	43	0	43	0	13	-306.78	43	-3064.5	46	80.33	10	7291.43	46	81.93	31
404	Min.	-151	0	13	0	13	0	46	-734.63	51	-7284.16	51	-77.36	25	-654.39	13	-73.26	4
404	Min.	-152	0	13	0	13	0	46	-734.63	51	-7284.16	51	-77.36	25	-654.39	13	-73.26	4
404	Min.	-139	0	13	0	13	0	46	-734.63	51	-7284.16	51	-77.36	25	-654.39	13	-73.26	4
404	Min.	-138	0	13	0	13	0	46	-734.63	51	-7284.16	51	-77.36	25	-654.39	13	-73.26	4
404	Max	-152	0	43	0	43	0	7	-303.14	43	-3032.87	46	84.45	7	7358.47	43	91.51	34
404	Max	-153	0	43	0	43	0	7	-303.14	43	-3032.87	46	84.45	7	7358.47	43	91.51	34
404	Max	-140	0	43	0	43	0	7	-303.14	43	-3032.87	46	84.45	7	7358.47	43	91.51	34
404	Max	-139	0	43	0	43	0	7	-303.14	43	-3032.87	46	84.45	7	7358.47	43	91.51	34
404	Min.	-152	0	13	0	13	0	25	-735.12	51	-7273.95	51	-78.7	28	-742.75	16	-57.53	1
404	Min.	-153	0	13	0	13	0	25	-735.12	51	-7273.95	51	-78.7	28	-742.75	16	-57.53	1
404	Min.	-140	0	13	0	13	0	25	-735.12	51	-7273.95	51	-78.7	28	-742.75	16	-57.53	1
404	Min.	-139	0	13	0	13	0	25	-735.12	51	-7273.95	51	-78.7	28	-742.75	16	-57.53	1
404	Max	-153	0	52	0	52	0	51	-289.06	43	-2999.03	46	86.99	10	7489.72	43	121.22	34
404	Max	-154	0	52	0	52	0	51	-289.06	43	-2999.03	46	86.99	10	7489.72	43	121.22	34
404	Max	-141	0	52	0	52	0	51	-289.06	43	-2999.03	46	86.99	10	7489.72	43	121.22	34
404	Max	-140	0	52	0	52	0	51	-289.06	43	-2999.03	46	86.99	10	7489.72	43	121.22	34
404	Min.	-153	0	51	0	51	0	52	-720.2	51	-7257.43	51	-82.15	25	-858.51	16	-30.86	1
404	Min.	-154	0	51	0	51	0	52	-720.2	51	-7257.43	51	-82.15	25	-858.51	16	-30.86	1
404	Min.	-141	0	51	0	51	0	52	-720.2	51	-7257.43	51	-82.15	25	-858.51	16	-30.86	1
404	Min.	-140	0	51	0	51	0	52	-720.2	51	-7257.43	51	-82.15	25	-858.51	16	-30.86	1
404	Max	-154	0	1	0	1	0	7	-236.6	43	-2991.33	46	72.96	10	7289.49	46	229.96	50
404	Max	-155	0	1	0	1	0	7	-236.6	43	-2991.33	46	72.96	10	7289.49	46	229.96	50
404	Max	-142	0	1	0	1	0	7	-236.6	43	-2991.33	46	72.96	10	7289.49	46	229.96	50
404	Max	-141	0	1	0	1	0	7	-236.6	43	-2991.33	46	72.96	10	7289.49	46	229.96	50
404	Min.	-154	0	25	0	25	0	1	-622.36	51	-7273.09	51	-94.71	25	-856	13	40.11	4
404	Min.	-155	0	25	0	25	0	1	-622.36	51	-7273.09	51	-94.71	25	-856	13	40.11	4
404	Min.	-142	0	25	0	25	0	1	-622.36	51	-7273.09	51	-94.71	25	-856	13	40.11	4
404	Min.	-141	0	25	0	25	0	1	-622.36	51	-7273.09	51	-94.71	25	-856	13	40.11	4
404	Max	-155	0	51	0	51	0	13	-126.75	43	-3022.53	46	54.09	13	8009.78	46	416.01	51
404	Max	-156	0	51	0	51	0	13	-126.75	43	-3022.53	46	54.09	13	8009.78	46	416.01	51
404	Max	-143	0	51	0	51	0	13	-126.75	43	-3022.53	46	54.09	13	8009.78	46	416.01	51
404	Max	-142	0	51	0	51	0	13	-126.75	43	-3022.53	46	54.09	13	8009.78	46	416.01	51
404	Min.	-155	0	52	0	52	0	46	-315.13	51	-7374.75	51	-161.36	46	-1125.73	13	82.95	43
404	Min.	-156	0	52	0	52	0	46	-315.13	51	-7374.75	51	-161.36	46	-1125.73	13	82.95	43
404	Min.	-143	0	52	0	52	0	46	-315.13	51	-7374.75	51	-161.36	46	-1125.73	13	82.95	43
404	Min.	-142	0	52	0	52	0	46	-315.13	51	-7374.75	51	-161.36	46	-1125.73	13	82.95	43
404	Max	-131	0	13	0	13	0	16	153.43	22	1393.16	19	192.75	52	19410.3	52	186.89	46
404	Max	-132	0	13	0	13	0	16	153.43	22	1393.16	19	192.75	52	19410.3	52	186.89	46
404	Max	-119	0	13	0	13	0	16	153.43	22	1393.16	19	192.75	52	19410.3	52	186.89	46
404	Max	-118	0	13	0	13	0	16	153.43	22	1393.16	19	192.75	52	19410.3	52	186.89	46
404	Min.	-131	0	43	0	43	0	43	-173.83	37	-3871.56	40	49.83	40	5799.91	40	-1034.67	13
404	Min.	-132	0	43	0	43	0	43	-173.83	37	-3871.56	40	49.83	40	5799.91	40	-1034.67	13
404	Min.	-119	0	43	0	43	0	43	-173.83	37	-3871.56	40	49.83	40	5799.91	40	-1034.67	13
404	Min.	-118	0	43	0	43	0	43	-173.83	37	-3871.56	40	49.83	40	5799.91	40	-1034.67	13
404	Max	-132	0	43	0	43	0	31	174.47	22	1366.54	19	86.64	7	18353.3	52	73.21	46
404	Max	-133	0	43	0	43	0	31	174.47	22	1366.54	19	86.64	7	18353.3	52	73.21	46
404	Max	-120	0	43	0	43	0	31	174.47	22	1366.54	19	86.64	7	18353.3	52	73.21	46
404	Max	-119	0	43	0	43	0	31	174.47	22	1366.54	19	86.64	7	18353.3	52	73.21	46
404	Min.	-132	0	13	0	13	0	1	-358.43	37	-3796.88	40	-43.94	28	5410.79	37	-418.35	13
404	Min.	-133	0	13	0	13	0	1	-358.43	37	-3796.88	40	-43.94	28	5410.79	37	-418.35	13
404	Min.	-120	0	13	0	13	0	1	-358.43	37	-3796.88	40	-43.94	28	5410.79	37	-418.35	13
404	Min.	-119	0	13	0	13	0	1	-358.43	37	-3796.88	40	-43.94	28	5410.79	37	-418.35	13
404	Max	-133	0	1	0	1	0	25	138.27	22	1299.9	19	61.98	10	18742.7	52	240.86	25
404	Max	-134	0	1	0	1	0	25	138.27	22	1299.9	19	61.98	10	18742.7	52	240.86	25
404	Max	-121	0	1	0	1	0	25	138.27	22	1299.9	19	61.98	10	18742.7	52	240.86	25
404	Max	-120	0	1	0	1	0	25	138.27	22	1299.9	19	61.98	10	18742.7	52	240.86	25
404	Min.	-133	0	25	0	25	0	7	-377.01	37	-3732.56	40	-76.17	25	5790.93	37	-272.81	10
404	Min.	-134	0	25	0	25	0	7	-377.01	37	-3732.56	40	-76.17	25	5790.93	37	-272.81	10
404	Min.	-121	0	25	0	25	0	7	-377.01	37	-3732.56	40	-76.17	25	5790.93	37	-272.81	10
404	Min.	-120	0	25	0	25	0	7	-377.01	37	-3732.56	40	-76.17	25	5790.93	37	-272.81	10
404	Max	-134	0	51	0	51	0	52	122.39	22	1241.34	19	63.06	7	18779.5	52	278.63	28
404	Max	-135	0	51	0	51	0	52	122.39	22	1241.34	19	63.06	7	18779.5	52	278.63	28
404	Max	-122	0	51	0	51	0	52	122.39	22	1241.34	19	63.06	7	18779.5	52	278.63	28
404	Max	-121	0	51	0	51	0	52	122.39	22	1241.34	19	63.06	7	18779.5	52	278.63	28
404	Min.	-134	0	52	0	52	0	51	-371.81	37	-3679.48	40	-73.03	28	5885	37	-249.31	7
404	Min.	-135	0	52	0	52	0	51	-371.81	37	-3679.48	40	-73.03	28	5885	37	-249.31	7
404	Min.	-122	0	52	0	52	0	51	-371.81	37	-3679.48	40	-73.03	28	5885	37	-249.31	7
404	Min.	-121	0	52	0	52	0	51	-371.81	37	-3679.48	40	-73.03	28	5885	37	-249.31	7
404	Max	-135	0	25	0	25	0	13	117.87	22	1178.91	19	63.65	7	18813.2	52	277.5	28
404	Max	-136	0	25	0	25	0	13	117.87	22	1178.91	19	63.65	7	18813.2	52	277.5	28
404	Max	-123	0	25	0	25	0	13	117.87	22	1178.91	19	63.65	7	18813.2	52	277.5	28
404	Max	-122	0	25	0	25	0	13	117.87	22	1178.91	19	63.65	7	18813.2	52	277.5	28

Relazione di calcolo

404	Min.	-135	0	1	0	1	0	46	-365.23	37	-3619.78	40	-69.58	28	5985.29	37	-258.97	7
404	Min.	-136	0	1	0	1	0	46	-365.23	37	-3619.78	40	-69.58	28	5985.29	37	-258.97	7
404	Min.	-123	0	1	0	1	0	46	-365.23	37	-3619.78	40	-69.58	28	5985.29	37	-258.97	7
404	Min.	-122	0	1	0	1	0	46	-365.23	37	-3619.78	40	-69.58	28	5985.29	37	-258.97	7
404	Max	-136	0	52	0	52	0	7	111.48	22	1118.8	19	65.15	10	18818.6	52	271.42	28
404	Max	-137	0	52	0	52	0	7	111.48	22	1118.8	19	65.15	10	18818.6	52	271.42	28
404	Max	-124	0	52	0	52	0	7	111.48	22	1118.8	19	65.15	10	18818.6	52	271.42	28
404	Max	-123	0	52	0	52	0	7	111.48	22	1118.8	19	65.15	10	18818.6	52	271.42	28
404	Min.	-136	0	51	0	51	0	25	-357.56	37	-3561.52	40	-66.73	25	6068.45	37	-265.6	7
404	Min.	-137	0	51	0	51	0	25	-357.56	37	-3561.52	40	-66.73	25	6068.45	37	-265.6	7
404	Min.	-124	0	51	0	51	0	25	-357.56	37	-3561.52	40	-66.73	25	6068.45	37	-265.6	7
404	Min.	-123	0	51	0	51	0	25	-357.56	37	-3561.52	40	-66.73	25	6068.45	37	-265.6	7
404	Max	-137	0	51	0	51	0	31	111.48	43	1118.8	46	66.73	7	18818.6	52	265.6	25
404	Max	-138	0	51	0	51	0	31	111.48	43	1118.8	46	66.73	7	18818.6	52	265.6	25
404	Max	-125	0	51	0	51	0	31	111.48	43	1118.8	46	66.73	7	18818.6	52	265.6	25
404	Max	-124	0	51	0	51	0	31	111.48	43	1118.8	46	66.73	7	18818.6	52	265.6	25
404	Min.	-137	0	52	0	52	0	1	-357.56	16	-3561.52	13	-65.15	28	6068.45	16	-271.42	10
404	Min.	-138	0	52	0	52	0	1	-357.56	16	-3561.52	13	-65.15	28	6068.45	16	-271.42	10
404	Min.	-125	0	52	0	52	0	1	-357.56	16	-3561.52	13	-65.15	28	6068.45	16	-271.42	10
404	Min.	-124	0	52	0	52	0	1	-357.56	16	-3561.52	13	-65.15	28	6068.45	16	-271.42	10
404	Max	-171	0	52	0	52	0	31	174.47	40	1366.54	37	43.94	1	-5410.79	19	73.21	16
404	Max	-172	0	52	0	52	0	31	174.47	40	1366.54	37	43.94	1	-5410.79	19	73.21	16
404	Max	-159	0	52	0	52	0	31	174.47	40	1366.54	37	43.94	1	-5410.79	19	73.21	16
404	Max	-158	0	52	0	52	0	31	174.47	40	1366.54	37	43.94	1	-5410.79	19	73.21	16
404	Min.	-171	0	51	0	51	0	1	-358.43	19	-3796.88	22	-86.64	34	-18353.3	51	-418.35	43
404	Min.	-172	0	51	0	51	0	1	-358.43	19	-3796.88	22	-86.64	34	-18353.3	51	-418.35	43
404	Min.	-159	0	51	0	51	0	1	-358.43	19	-3796.88	22	-86.64	34	-18353.3	51	-418.35	43
404	Min.	-158	0	51	0	51	0	1	-358.43	19	-3796.88	22	-86.64	34	-18353.3	51	-418.35	43
404	Max	-172	0	52	0	52	0	51	138.27	40	1299.9	37	76.17	4	-5790.93	19	240.86	4
404	Max	-173	0	52	0	52	0	51	138.27	40	1299.9	37	76.17	4	-5790.93	19	240.86	4
404	Max	-160	0	52	0	52	0	51	138.27	40	1299.9	37	76.17	4	-5790.93	19	240.86	4
404	Max	-159	0	52	0	52	0	51	138.27	40	1299.9	37	76.17	4	-5790.93	19	240.86	4
404	Min.	-172	0	51	0	51	0	52	-377.01	19	-3732.56	22	-61.98	31	-18742.7	51	-272.81	31
404	Min.	-173	0	51	0	51	0	52	-377.01	19	-3732.56	22	-61.98	31	-18742.7	51	-272.81	31
404	Min.	-160	0	51	0	51	0	52	-377.01	19	-3732.56	22	-61.98	31	-18742.7	51	-272.81	31
404	Min.	-159	0	51	0	51	0	52	-377.01	19	-3732.56	22	-61.98	31	-18742.7	51	-272.81	31
404	Max	-173	0	13	0	13	0	7	122.39	40	1241.34	37	73.03	1	-5885	19	278.63	1
404	Max	-174	0	13	0	13	0	7	122.39	40	1241.34	37	73.03	1	-5885	19	278.63	1
404	Max	-161	0	13	0	13	0	7	122.39	40	1241.34	37	73.03	1	-5885	19	278.63	1
404	Max	-160	0	13	0	13	0	7	122.39	40	1241.34	37	73.03	1	-5885	19	278.63	1
404	Min.	-173	0	43	0	43	0	25	-371.81	19	-3679.48	22	-63.06	34	-18779.5	51	-249.31	34
404	Min.	-174	0	43	0	43	0	25	-371.81	19	-3679.48	22	-63.06	34	-18779.5	51	-249.31	34
404	Min.	-161	0	43	0	43	0	25	-371.81	19	-3679.48	22	-63.06	34	-18779.5	51	-249.31	34
404	Min.	-160	0	43	0	43	0	25	-371.81	19	-3679.48	22	-63.06	34	-18779.5	51	-249.31	34
404	Max	-174	0	13	0	13	0	37	117.87	40	1178.91	37	69.58	1	-5985.29	19	277.5	1
404	Max	-175	0	13	0	13	0	37	117.87	40	1178.91	37	69.58	1	-5985.29	19	277.5	1
404	Max	-162	0	13	0	13	0	37	117.87	40	1178.91	37	69.58	1	-5985.29	19	277.5	1
404	Max	-161	0	13	0	13	0	37	117.87	40	1178.91	37	69.58	1	-5985.29	19	277.5	1
404	Min.	-174	0	43	0	43	0	22	-365.23	19	-3619.78	22	-63.65	34	-18813.2	51	-258.97	34
404	Min.	-175	0	43	0	43	0	22	-365.23	19	-3619.78	22	-63.65	34	-18813.2	51	-258.97	34
404	Min.	-162	0	43	0	43	0	22	-365.23	19	-3619.78	22	-63.65	34	-18813.2	51	-258.97	34
404	Min.	-161	0	43	0	43	0	22	-365.23	19	-3619.78	22	-63.65	34	-18813.2	51	-258.97	34
404	Max	-175	0	51	0	51	0	31	111.48	40	1118.8	37	66.73	4	-6068.45	19	271.42	1
404	Max	-176	0	51	0	51	0	31	111.48	40	1118.8	37	66.73	4	-6068.45	19	271.42	1
404	Max	-163	0	51	0	51	0	31	111.48	40	1118.8	37	66.73	4	-6068.45	19	271.42	1
404	Max	-162	0	51	0	51	0	31	111.48	40	1118.8	37	66.73	4	-6068.45	19	271.42	1
404	Min.	-175	0	52	0	52	0	1	-357.56	19	-3561.52	22	-65.15	31	-18818.6	51	-265.6	34
404	Min.	-176	0	52	0	52	0	1	-357.56	19	-3561.52	22	-65.15	31	-18818.6	51	-265.6	34
404	Min.	-163	0	52	0	52	0	1	-357.56	19	-3561.52	22	-65.15	31	-18818.6	51	-265.6	34
404	Min.	-162	0	52	0	52	0	1	-357.56	19	-3561.52	22	-65.15	31	-18818.6	51	-265.6	34
404	Max	-176	0	13	0	13	0	31	111.48	13	1118.8	16	65.15	1	-6068.45	46	265.6	4
404	Max	-177	0	13	0	13	0	31	111.48	13	1118.8	16	65.15	1	-6068.45	46	265.6	4
404	Max	-164	0	13	0	13	0	31	111.48	13	1118.8	16	65.15	1	-6068.45	46	265.6	4
404	Max	-163	0	13	0	13	0	31	111.48	13	1118.8	16	65.15	1	-6068.45	46	265.6	4
404	Min.	-176	0	43	0	43	0	1	-357.56	46	-3561.52	43	-66.73	34	-18818.6	51	-271.42	31
404	Min.	-177	0	43	0	43	0	1	-357.56	46	-3561.52	43	-66.73	34	-18818.6	51	-271.42	31
404	Min.	-164	0	43	0	43	0	1	-357.56	46	-3561.52	43	-66.73	34	-18818.6	51	-271.42	31
404	Min.	-163	0	43	0	43	0	1	-357.56	46	-3561.52	43	-66.73	34	-18818.6	51	-271.42	31
404	Max	-177	0	13	0	13	0	40	117.87	13	1178.91	16	63.65	4	-5985.29	46	258.97	4
404	Max	-178	0	13	0	13	0	40	117.87	13	1178.91	16	63.65	4	-5985.29	46	258.97	4
404	Max	-165	0	13	0	13	0	40	117.87	13	1178.91	16	63.65	4	-5985.29	46	258.97	4
404	Max	-164	0	13	0	13	0	40	117.87	13	1178.91	16	63.65	4	-5985.29	46	258.97	4
404	Min.	-177	0	43	0	43	0	19	-365.23	46	-3619.78	43	-69.58	31	-18813.2	51	-277.5	31
404	Min.	-178	0	43	0	43	0	19	-365.23	46	-3619.78	43	-69.58	31	-18813.2	51	-277.5	31
404	Min.	-165	0	43	0	43	0	19	-365.23	46	-3619.78	43	-69.58	31	-18813.2	51	-277.5	31
404	Min.	-164	0	43	0	43	0	19	-365.23	46	-3619.78	43	-69.58	31	-18813.2	51	-277.5	31
404	Max	-178	0	51	0	51	0	7	122.39	13	1241.34	16	63.06	4	-5885	46	249.31	4
404	Max	-179	0	51	0	51	0	7	122.39	13	1241.34	16	63.06	4	-5885	46	249.31	4
404	Max	-166	0	51	0	51	0	7	122.39	13	1241.34	16	63.06	4	-5885	46	249.31	4

Relazione di calcolo

404	Max	-165	0	51	0	51	0	7	122.39	13	1241.34	16	63.06	4	-5885	46	249.31	4
404	Min.	-178	0	52	0	52	0	25	-371.81	46	-3679.48	43	-73.03	31	-18779.5	51	-278.63	31
404	Min.	-179	0	52	0	52	0	25	-371.81	46	-3679.48	43	-73.03	31	-18779.5	51	-278.63	31
404	Min.	-166	0	52	0	52	0	25	-371.81	46	-3679.48	43	-73.03	31	-18779.5	51	-278.63	31
404	Min.	-165	0	52	0	52	0	25	-371.81	46	-3679.48	43	-73.03	31	-18779.5	51	-278.63	31
404	Max	-179	0	37	0	37	0	51	138.27	13	1299.9	16	61.98	1	-5790.93	46	272.81	1
404	Max	-180	0	37	0	37	0	51	138.27	13	1299.9	16	61.98	1	-5790.93	46	272.81	1
404	Max	-167	0	37	0	37	0	51	138.27	13	1299.9	16	61.98	1	-5790.93	46	272.81	1
404	Max	-166	0	37	0	37	0	51	138.27	13	1299.9	16	61.98	1	-5790.93	46	272.81	1
404	Min.	-179	0	19	0	19	0	52	-377.01	46	-3732.56	43	-76.17	34	-18742.7	51	-240.86	34
404	Min.	-180	0	19	0	19	0	52	-377.01	46	-3732.56	43	-76.17	34	-18742.7	51	-240.86	34
404	Min.	-167	0	19	0	19	0	52	-377.01	46	-3732.56	43	-76.17	34	-18742.7	51	-240.86	34
404	Min.	-166	0	19	0	19	0	52	-377.01	46	-3732.56	43	-76.17	34	-18742.7	51	-240.86	34
404	Max	-180	0	13	0	37	0	49	174.47	13	1366.54	16	86.64	4	-5410.79	46	418.35	22
404	Max	-181	0	13	0	37	0	49	174.47	13	1366.54	16	86.64	4	-5410.79	46	418.35	22
404	Max	-168	0	13	0	37	0	49	174.47	13	1366.54	16	86.64	4	-5410.79	46	418.35	22
404	Max	-167	0	13	0	37	0	49	174.47	13	1366.54	16	86.64	4	-5410.79	46	418.35	22
404	Min.	-180	0	43	0	19	0	50	-358.43	46	-3796.88	43	-43.94	31	-18353.3	51	-73.21	37
404	Min.	-181	0	43	0	19	0	50	-358.43	46	-3796.88	43	-43.94	31	-18353.3	51	-73.21	37
404	Min.	-168	0	43	0	19	0	50	-358.43	46	-3796.88	43	-43.94	31	-18353.3	51	-73.21	37
404	Min.	-167	0	43	0	19	0	50	-358.43	46	-3796.88	43	-43.94	31	-18353.3	51	-73.21	37

Criteri di progetto utilizzati

Pareti

Generali	
Verifiche a taglio per elementi esistenti come per elementi nuovi	Si
Parametri di disegno	
Scala disegno pareti	50
Campitura disegno parete	Rada
Disegno armatura diffusa	No
Disegno prospetto e pianta	Sempre
Stampe	
Tipo di relazione	Sintetica

Specifici	1
Materiali	
-Considera come elemento esistente	No
-Calcestruzzo	
-Livello di conoscenza	LC2
-Fattore di confidenza	1.2
-Tipo di calcestruzzo	C28/35
-Rck calcestruzzo	350
-Modulo elastico <daN/cm ² >	325881
-Resistenza caratteristica cilindrica (Fck)	290.5
-Resistenza caratteristica a trazione (Fctk)	19.84
-Resistenza media (Fcm) <daN/cm ² >	370.5
-Resistenza media a trazione (Fctm) <daN/cm ² >	28.35
-σ amm. calcestruzzo <daN/cm ² >	110
-τc0 <daN/cm ² >	6.7
-τc1 <daN/cm ² >	19.7
-Riduci Fcd per tutte le verifiche secondo il D.M. 08	Si
-γc per stati limite ultimi	
-Automatico	x
-Pari a	
-Acciaio	
-Livello di conoscenza	LC2
-Fattore di confidenza	1.2
-Tipo di acciaio	B450C
-Modulo elastico <daN/cm ² >	2060000
-Tensione caratteristica di snervamento (Fyk) <daN/cm ² >	4500
-Tensione media di snervamento (Fym) <daN/cm ² >	4500
-Sigma amm. acciaio <daN/cm ² >	2600
-Sigma amm. reti e tralicci <daN/cm ² >	2600
-Allungamento per verifiche di duttilità (Agt) <%>	4
-γs per stati limite ultimi	
-Automatico	x
-Pari a	
-Coeff. di omogeneizzazione	15
Parametri di calcolo	
Copriferro <cm>	2.5
Fattore moltiplicativo per calcolo τ l	1
Fattore moltiplicativo per calcolo τ t	1

Relazione di calcolo

Fattore di riduzione per ancoraggio ferri	1
Lunghezza ancoraggi armature	
-Calcolata in funzione della σ_f	
-Imposta come multiplo del diametro	20
Lunghezza minima pari a <m>	0.5
-Inserire solo armatura al centro della parete	No
Modalità di progettazione e verifica armatura verticale	
-In funzione delle zone di incidenza elementi	
-In funzione delle sollecitazioni globali	x
-Inserisci armatura di rinforzo nelle zone di incidenza elementi	Si
-Dimensione minima zone di incidenza elementi	Si
-Pari a multiplo dello spessore	1
-Passo di verifica	1.5
-Trascura zone con pilastro inglobato	Si
-Effettuare verifiche nel piano della parete	No
-Elimina armatura diffusa nelle zone di rinforzo	Si
Elimina armatura diffusa nell'architrave	Si
-Effettuare verifiche su sezioni verticali	No
-Passo di verifica	1
Controllare resistenza a taglio trasversale come sezione priva di armatura a taglio	No
Min. Af armatura diffusa <cmq/m>	3
Considera come parete debolmente armata ai sensi D.M. 08	No
-Modalità di valutazione parametri nel caso di sisma diverso per X e Y	
-Usa valore massimo	x
-Componi in direzione parete	
-Incremento del 50% delle forze assiali	
Sempre	x
-Solo per analisi sismiche statiche	
-Mai	
Coeff. β per controllo snellezza <m>	1
Rispetta i disposti del punto 7.4.4.5.2.1 solo per stati limite sismici	Si
Armatura diffusa	
Considera armatura con rete elettrosaldada	No
Armatura verticale o rete	
Elenco diametri utilizzabili 1 <mm>	10
Elenco diametri utilizzabili 2 <mm>	12
Elenco diametri utilizzabili 3 <mm>	
Elenco diametri utilizzabili 4 <mm>	
Elenco diametri utilizzabili 5 <mm>	
Elenco diametri utilizzabili 6 <mm>	
Elenco diametri utilizzabili 7 <mm>	
Passi utilizzabili	
-Minimo <cm>	15
-Massimo <cm>	30
-Incremento <cm>	5
-Modalità di completamento armatura	
-Adattata	x
-Terminata	
-Nessuna	
Armatura orizzontale	
Elenco diametri utilizzabili 1 <mm>	8
Elenco diametri utilizzabili 2 <mm>	10
Elenco diametri utilizzabili 3 <mm>	
Elenco diametri utilizzabili 4 <mm>	
Elenco diametri utilizzabili 5 <mm>	
Elenco diametri utilizzabili 6 <mm>	
Elenco diametri utilizzabili 7 <mm>	
Passi utilizzabili	
-Minimo <cm>	10
-Massimo <cm>	30
-Incremento <cm>	5
Tipo di armatura orizzontale	
-Dritta	x
-Con risvolti di estremità	
-Modalità di chiusura orizzontale	
-Nessuna chiusura	
-Chiusura con ferri ad U	x
-Chiusura con staffe	
-Lunghezza armatura di chiusura	
-Multiplo dello spessore pari a	
-Lunghezza fissa pari a <cm>	0.5
-Tipo di ottimizzazione armatura	
-Minimizza il peso complessivo dei ferri	x
-Minimizza il numero dei ferri	
Armatura di rinforzo	
Elenco diametri utilizzabili 1 <mm>	16
Elenco diametri utilizzabili 2 <mm>	

Relazione di calcolo

Elenco diametri utilizzabili 3 <mm>	
Elenco diametri utilizzabili 4 <mm>	
Elenco diametri utilizzabili 5 <mm>	
Elenco diametri utilizzabili 6 <mm>	
Elenco diametri utilizzabili 7 <mm>	
Numero minimo ferri	2
Interferro minimo <cm>	10
-Aggiungi staffe chiuse	Si
-Stesso diametro armatura diffusa orizzontale	x
-Diametro imposto	
-Stesso passo armatura diffusa orizzontale	x
-Passo imposto	
Armatura secondaria	
Diametro ferri di collegamento <mm>	6
Numero ferri di collegamento (a mq)	6
Lunghezza ancoraggio ferri di collegamento <cm>	10
Dati per progettazione agli stati limite	
Gruppo di esigenza	
-Ambiente poco aggressivo	x
-Ambiente moderatamente aggressivo	
-Ambiente molto aggressivo	
Usa dominio N-M per flessioni rette	No
-Ricerca della sicurezza con sforzo normale costante	
-Ricerca della sicurezza con eccentricità costante	
Controllo rapporto X/D	No
Barre da considerare tese per verifiche a taglio	
-Solo le barre con deformazione percentuale rispetto alla barra più tesa non inferiore al <%>	30
-Tutte le barre in trazione	

Solette/Platee

Generali	
Parametri di progetto	
Controllo resistenza a taglio allo S.L.U. DM 96	No
Progetto e verifica con metodo d'integrazione	No
-Massima dimensione della linea d'integrazione	1
Calcolo armature con metodo di Wood	No
Accoppia pilastri per calcolo punzonamento	Si
-Massima distanza come un moltiplicatore dello spessore	1.5
Verifiche a taglio per elementi esistenti come per elementi nuovi	Si
Parametri di disegno	
Disposizione disegno	2A
Particolari nel disegno principale	
-Eliminare le quotature	No
-Eliminare le campiture	No
-Eliminare la numerazione dei pilastri	No
-Eliminare la numerazione delle travi e dei muri	No
Particolari nei disegni secondari	
-Eliminare le quotature	Si
-Eliminare le campiture	Si
-Eliminare la numerazione dei pilastri	Si
-Eliminare la numerazione delle travi e dei muri	Si
Disegno armatura diffusa	No
Posizione particolari punzonamento	In automatico
Copriferro per calcolo lunghezza ferri <cm>	3.5
Risvoltare al bordo i ferri	
-Inferiori	Si
-Superiori	Si
Lunghezza risvolti ferri al bordo	Pari all'altezza meno due volte il copriferro
Disegno particolare ferri al bordo	Si
Scala disegno particolare ferri al bordo	20
Calcolo lunghezza ferri semplificato	No
Stampe	
Tipo di relazione	Sintetica

	1	2
Specifici		
Materiali		
-Considera come elemento esistente	No	No
-Calcestruzzo		
-Livello di conoscenza	LC2	LC2
-Fattore di confidenza	1.2	1.2

Relazione di calcolo

-Tipo di calcestruzzo	C28/35	C28/35
-Rck calcestruzzo	350	350
-Modulo elastico <daN/cm²>	325881	325881
-Resistenza caratteristica cilindrica (Fck)	290.5	290.5
-Resistenza caratteristica a trazione (Fctk)	19.84	19.84
-Resistenza media (Fcm) <daN/cm²>	370.5	370.5
-Resistenza media a trazione (Fctm) <daN/cm²>	28.35	28.35
-σ amm. calcestruzzo <daN/cm²>	110	110
-rc0 <daN/cm²>	6.7	6.7
-rc1 <daN/cm²>	19.7	19.7
-Riduci Fcd per tutte le verifiche secondo il D.M. 08	Si	Si
-γc per stati limite ultimi		
-Automatico	x	x
-Pari a		
-Acciaio		
-Livello di conoscenza	LC2	LC2
-Fattore di confidenza	1.2	1.2
-Tipo di acciaio	B450C	B450C
-Modulo elastico <daN/cm²>	2060000	2060000
-Tensione caratteristica di snervamento (Fyk) <daN/cm²>	4500	4500
-Tensione media di snervamento (Fym) <daN/cm²>	4500	4500
-Sigma amm. acciaio <daN/cm²>	2600	2600
-Sigma amm. reti e tralicci <daN/cm²>	2600	2600
-Allungamento per verifiche di duttilità (Agt) <%>	4	4
-γs per stati limite ultimi		
-Automatico	x	x
-Pari a		
-Coeff. di omogeneizzazione	15	15
Armatura a flessione		
Angolo d'armatura <grad>	0	0
Copriferro teorico superiore <cm>	3	3
Copriferro teorico inferiore <cm>	3	3
Tipo di progetto in doppia armatura		
-Tensione pari ai valori amm.		
-Tensione pari ai valori amm. con AfComp/AfTesa minore o pari a	1	1
-Tensione pari ai valori amm. con AfComp/AfTesa pari a		
Min. percentuale di regolamento		
-Platee di fondazione su suolo elastico	No	No
-Solette di elevazione	Si	Si
Controlla min. armatura di ripartizione	No	No
Elenco diametri utilizzabili 1 <mm>	10	10
Elenco diametri utilizzabili 2 <mm>	12	12
Elenco diametri utilizzabili 3 <mm>	14	14
Elenco diametri utilizzabili 4 <mm>	16	16
Elenco diametri utilizzabili 5 <mm>		
Elenco diametri utilizzabili 6 <mm>		
Elenco diametri utilizzabili 7 <mm>		
Passi utilizzabili		
-Minimo <cm>	15	15
-Massimo <cm>	30	30
-Incremento <cm>	5	5
Uniformizzazione interassi armatura	No	No
-Sempre		
-Nella stessa direzione		
-Nella stessa posizione		
Uniformizzazione diametri armatura	No	No
-Sempre		
-Nella stessa direzione		
-Nella stessa posizione		
Tipo di ottimizzazione armatura a flessione		
-Minimizza il numero dei ferri		
-Minimizza il peso complessivo dei ferri	x	x
Verifiche a taglio		
-Escludi punti di verifica sotto piramidi di punzonamento	No	No
-Escludi punti di verifica sotto muri/bidimensionali	No	No
Ancoraggi		
Fattore di riduzione per ancoraggio ferri	1	1
Lunghezza ancoraggi armature		
-Calcolata in funzione della Sigmaf	x	x
-Imposta come multiplo del diametro		
Lunghezza ancoraggi ferri punzonamento		
-Calcolata in funzione della Sigmaf	x	x
-Imposta come multiplo del diametro		
Armatura a punzonamento		
Fattore di riduzione altezza soletta/platea	0.9	0.9

Relazione di calcolo

Modifica altezza soletta/platea	Si	Si
Allargamento piastra pilastri in acciaio <cm>	5	5
Distanza dal bordo libero		
-Distanza come un moltiplicatore dello spessore	1	1
-Distanza imposta a <cm>		
Moltiplicatore altezza utile per valutare perimetro efficace (D.M. 08)	2	2
Tolleranza di posizionamento barre		
-Distanza come un moltiplicatore dello spessore	0.1	0.1
-Distanza imposta a <cm>		
Elenco diametri utilizzabili 1 <mm>	12	12
Elenco diametri utilizzabili 2 <mm>	14	14
Elenco diametri utilizzabili 3 <mm>	16	16
Elenco diametri utilizzabili 4 <mm>	18	18
Elenco diametri utilizzabili 5 <mm>	20	20
Elenco diametri utilizzabili 6 <mm>		
Elenco diametri utilizzabili 7 <mm>		
Passi utilizzabili		
-Minimo <cm>	10	10
-Massimo <cm>	20	20
-Incremento <cm>	2	2
Tipo di ottimizzazione armatura a punzonamento		
-Minimizza il numero dei ferri	x	x
-Minimizza il peso complessivo dei ferri		
Dati per progettazione agli stati limite		
Gruppo di esigenza		
-Ambiente poco aggressivo	x	x
-Ambiente moderatamente aggressivo		
-Ambiente molto aggressivo		
Usa dominio N-M per flessioni rette	No	No
-Ricerca della sicurezza con sforzo normale costante		
-Ricerca della sicurezza con eccentricità costante		
Controllo rapporto X/D	No	No
Barre da considerare tese per verifiche a taglio		
-Solo le barre con deformazione percentuale rispetto		
Incremento <%>	30	30
-Tutte le barre in trazione		

Verifiche e armature solette/platee

Simbologia

Nodo = Numero del nodo
 X = Coordinata X del nodo
 Y = Coordinata Y del nodo
 DV = Direzione di verifica
 XX = Verifica per momento Mxx
 YY = Verifica per momento Myy
 CC = Numero della combinazione delle condizioni di carico elementari
 TCC = Tipo di combinazione di carico
 SLU = Stato limite ultimo
 SLU S = Stato limite ultimo (azione sismica)
 SLE R = Stato limite d'esercizio, combinazione rara
 SLE F = Stato limite d'esercizio, combinazione frequente
 SLE Q = Stato limite d'esercizio, combinazione quasi permanente
 SLD = Stato limite di danno
 SLV = Stato limite di salvaguardia della vita
 SLC = Stato limite di prevenzione del collasso
 SLO = Stato limite di operatività
 SLU I = Stato limite di resistenza al fuoco
 c = Ricoprimento dell'armatura
 s = Distanza minima tra le barre
 K3 = Coefficiente di forma del diagramma delle tensioni prima della fessurazione
 s_{rm} = Distanza media tra le fessure
 Φ = Diametro della barra
 A_s = Area complessiva dei ferri nell'area di calcestruzzo efficace
 A_{c eff} = Area di calcestruzzo efficace
 σ_s = Tensione nell'acciaio nella sezione fessurata
 σ_{sr} = Tensione nell'acciaio corrispondente al raggiungimento della resistenza a trazione nel calcestruzzo
 ε_{sm} = Deformazione unitaria media dell'armatura (*1000)
 Wk = Apertura delle fessure
 AfE S = Area di ferro effettiva totale presente nel punto di verifica, superiore
 AfE I = Area di ferro effettiva totale presente nel punto di verifica, inferiore
 Mom = Momento flettente
 Mu = Momento ultimo
 Sic. = Sicurezza a rottura
 Vsdu = Taglio agente nella direzione del momento ultimo
 Vrdu = Taglio ultimo assorbibile dal solo calcestruzzo
 σ_c = Tensione nel calcestruzzo
 σ_f = Tensione nel ferro
 Spess. = Spessore
 Cf sup = Copriferro superiore
 Cf inf = Copriferro inferiore
 Cls = Tipo di calcestruzzo
 Fck = Resistenza caratteristica cilindrica a compressione del calcestruzzo

Fctk = Resistenza caratteristica a trazione del calcestruzzo
Fcd = Resistenza di calcolo a compressione del calcestruzzo
Fctd = Resistenza di calcolo a trazione del calcestruzzo
Tp = Tipo di acciaio
Fyk = Tensione caratteristica di snervamento dell'acciaio
Fyd = Resistenza di calcolo dell'acciaio

Armatura platea a quota 0.00

Caratteristiche delle sezioni e dei materiali utilizzati

Spess.	Cf sup	Cf inf	Cls	Fck	Fctk	Fcd	Fctd	Tp	Fyk	Fyd
<cm>	<cm>	<cm>		<daN/cm²>	<daN/cm²>	<daN/cm²>	<daN/cm²>		<daN/cm²>	<daN/cm²>
50	3	3	C28/35	290.5	19.84	164.62	13.23	B450C	4500	3913.04

Stato limite ultimo - Ferri longitudinali - Verifiche armatura

Nodo	X	Y	DV	CC	TCC	AfE S	AfE I	Mom	Mu	Sic.
	<m>	<m>				<cmq>	<cmq>	<daNm>	<daNm>	
-35	8	1.6	XX	49	SLU	2.62	2.62	-844.36	-4988.93	5.909
-64	11	3.2	XX	13	SLV	2.62	2.62	-348.38	-4988.93	14.320
-39	12	1.6	YY	49	SLU	5.13	2.62	-8484.81	-9429.71	1.111
-65	12	3.2	YY	13	SLV	5.13	2.62	-4998.12	-9429.71	1.887

Stato limite ultimo - Verifica a taglio del calcestruzzo

Nodo	X	Y	DV	CC	TCC	AfE S	AfE I	Vsdu	Vrdu
	<m>	<m>				<cmq>	<cmq>	<daN>	<daN>
-65	12	3.2	XX	25	SLV	2.62	2.62	817.05	18831.4
-65	12	3.2	YY	49	SLU	5.13	2.62	11573.9	18831.4

Stato limite d'esercizio - Ferri longitudinali - Verifiche armatura

Nodo	X	Y	DV	CC	TCC	AfE S	AfE I	Mom	σ _c	σ _f
	<m>	<m>				<cmq>	<cmq>	<daNm>	<daN/cm²>	<daN/cm²>
-35	8	1.6	XX	53	SLE R	2.62	2.62	-593.39	4.47	502.72
-65	12	3.2	XX	55	SLE R	2.62	2.62	-11.43	0.09	9.68
-35	8	1.6	XX	61	SLE Q	2.62	2.62	-478.98	3.61	405.8
-65	12	3.2	XX	63	SLE Q	2.62	2.62	-8.06	0.06	6.83
-39	12	1.6	YY	53	SLE R	5.13	2.62	-5967	33.42	2616.01
-39	12	1.6	YY	61	SLE Q	5.13	2.62	-4819.2	26.99	2112.8

Verifiche stato limite di formazione delle fessure

Nodo	X	Y	DV	CC	TCC	c	s	K3	s _{rm}	Φ	A _s	A _{c eff}	σ _s	σ _{sr}	ε _{sm}	W _k
	<m>	<m>				<mm>	<mm>		<mm>		<cmq>	<cmq>	<daN/cm²>	<daN/cm²>		<mm>
-35	8	1.6	XX	61	SLE Q	25	140	0.2	196.08	10	0.79	115.85	405.8	10408.5	0.08	0.03
-65	12	3.2	XX	63	SLE Q	25	140	0.2	196.08	10	0.79	115.85	6.83	10408.5	0	0
-35	8	1.6	XX	57	SLE F	25	140	0.2	196.08	10	0.79	115.85	430.03	10408.5	0.08	0.03
-65	12	3.2	XX	59	SLE F	25	140	0.2	196.08	10	0.79	115.85	7.54	10408.5	0	0
-39	12	1.6	YY	61	SLE Q	23	196	0.19	224.02	14	1.54	205.44	2112.8	5517.71	0.41	0.16
-39	12	1.6	YY	57	SLE F	23	196	0.19	224.02	14	1.54	205.44	2238.6	5517.71	0.43	0.17

Armatura soletta a quota 2.50

Caratteristiche delle sezioni e dei materiali utilizzati

Spess.	Cf sup	Cf inf	Cls	Fck	Fctk	Fcd	Fctd	Tp	Fyk	Fyd
<cm>	<cm>	<cm>		<daN/cm²>	<daN/cm²>	<daN/cm²>	<daN/cm²>		<daN/cm²>	<daN/cm²>
50	3	3	C28/35	290.5	19.84	164.62	13.23	B450C	4500	3913.04

Stato limite ultimo - Ferri longitudinali - Verifiche armatura

Nodo	X	Y	DV	CC	TCC	AfE S	AfE I	Mom	Mu	Sic.
	<m>	<m>				<cmq>	<cmq>	<daNm>	<daNm>	
-148	4	1.6	XX	49	SLU	2.62	2.62	732.65	4988.93	6.809
-171	1	3.2	XX	19	SLV	2.62	2.62	266.11	4988.93	18.747
-144	0	1.6	YY	50	SLU	2.62	4.52	7347.69	8369	1.139
-170	0	3.2	YY	22	SLV	2.62	4.52	3871.56	8369	2.162

Stato limite ultimo - Verifica a taglio del calcestruzzo

Nodo	X	Y	DV	CC	TCC	AfE S	AfE I	Vsdu	Vrdu
	<m>	<m>				<cmq>	<cmq>	<daN>	<daN>
-118	0	0	XX	13	SLV	2.62	2.62	517.34	18831.4
-170	0	3.2	YY	51	SLU	2.62	4.52	9705.16	18831.4

Stato limite d'esercizio - Ferri longitudinali - Verifiche armatura

Nodo	X	Y	DV	CC	TCC	AfE S	AfE I	Mom	σ _c	σ _f
	<m>	<m>				<cmq>	<cmq>	<daNm>	<daN/cm²>	<daN/cm²>
-148	4	1.6	XX	53	SLE R	2.62	2.62	506.27	3.81	428.92
-148	4	1.6	XX	61	SLE Q	2.62	2.62	391.78	2.95	331.92
-144	0	1.6	YY	54	SLE R	2.62	4.52	5076	30.01	2516.62
-144	0	1.6	YY	62	SLE Q	2.62	4.52	3927.28	23.22	1947.1

Verifiche stato limite di formazione delle fessure

Nodo	X	Y	DV	CC	TCC	c	s	K3	s _{rm}	Φ	A _s	A _{c eff}	σ _s	σ _{sr}	ε _{sm}	Wk
	<m>	<m>				<mm>	<mm>		<mm>		<cmq>	<cmq>	<daN/cmq>	<daN/cmq>		<mm>
-148	4	1.6	XX	61	SLE Q	25	140	0.2	196.08	10	0.79	115.85	331.92	10408.5	0.06	0.02
-152	8	1.6	XX	58	SLE F	25	140	0.2	196.08	10	0.79	115.85	356.17	10408.5	0.07	0.02
-144	0	1.6	YY	62	SLE Q	24	168	0.19	210.66	12	1.13	157.67	1947.1	7360.9	0.38	0.14
-144	0	1.6	YY	58	SLE F	24	168	0.19	210.66	12	1.13	157.67	2089.48	7360.9	0.41	0.15

Verifiche e armature pareti

Simbologia

CC = Numero della combinazione delle condizioni di carico elementari
Zona = Zona di verifica
Zv = Coordinata Z di verifica
Xi = Coordinata X iniziale
Xf = Coordinata X finale
Xv = Coordinata X di verifica
TCC = Tipo di combinazione di carico
SLU = Stato limite ultimo
SLU S = Stato limite ultimo (azione sismica)
SLE R = Stato limite d'esercizio, combinazione rara
SLE F = Stato limite d'esercizio, combinazione frequente
SLE Q = Stato limite d'esercizio, combinazione quasi permanente
SLD = Stato limite di danno
SLV = Stato limite di salvaguardia della vita
SLC = Stato limite di prevenzione del collasso
SLO = Stato limite di operatività
SLU I = Stato limite di resistenza al fuoco
N = Sforzo normale
My = Momento flettente intorno all'asse Y
Nu = Sforzo normale ultimo
Myu = Momento ultimo intorno all'asse Y
Sic. = Sicurezza a rottura
σ_c = Tensione nel calcestruzzo
σ_f = Tensione nel ferro
c = Ricoprimento dell'armatura
s = Distanza minima tra le barre
K3 = Coefficiente di forma del diagramma delle tensioni prima della fessurazione
s_{rm} = Distanza media tra le fessure
Φ = Diametro della barra
A_s = Area complessiva dei ferri nell'area di calcestruzzo efficace
A_{c eff} = Area di calcestruzzo efficace
σ_s = Tensione nell'acciaio nella sezione fessurata
σ_{sr} = Tensione nell'acciaio corrispondente al raggiungimento della resistenza a trazione nel calcestruzzo
ε_{sm} = Deformazione unitaria media dell'armatura (*1000)
Wk = Apertura delle fessure
Ty = Taglio in dir. Y
Vsdu = Taglio agente nella direzione del momento ultimo
VRsd = Taglio ultimo lato armatura
VRcd = Taglio ultimo lato calcestruzzo
Vrdu = Taglio ultimo assorbibile dal solo calcestruzzo
Sic.T = Sicurezza a rottura per taglio
Sez. = Sezione di verifica
Spess. = Spessore
Cf = Copriferro
Cls = Tipo di calcestruzzo
Fck = Resistenza caratteristica cilindrica a compressione del calcestruzzo
Fctk = Resistenza caratteristica a trazione del calcestruzzo
Fcd = Resistenza di calcolo a compressione del calcestruzzo
Fctd = Resistenza di calcolo a trazione del calcestruzzo
Tp = Tipo di acciaio
Fyk = Tensione caratteristica di snervamento dell'acciaio
Fyd = Resistenza di calcolo dell'acciaio

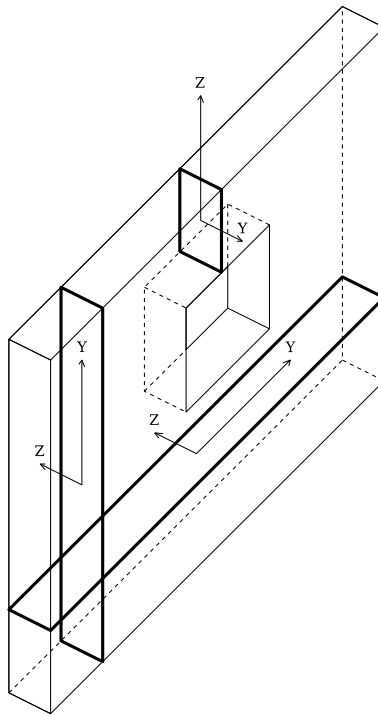


Figura numero 4: Riferimenti sezione

Parete n. 105

Caratteristiche delle sezioni e dei materiali utilizzati

Sez.	Spess.	Cf	Cls	Fck	Fctk	Fcd	Fctd	Tp	Fyk	Fyd
	<cm>	<cm>		<daN/cm²>	<daN/cm²>	<daN/cm²>	<daN/cm²>		<daN/cm²>	<daN/cm²>
Oriz.	30	4.1	C28/35	290.5	19.84	164.62	13.23	B450C	4500	3913.04

Verifiche su sezioni orizzontali

Stato limite ultimo - Armatura a flessione

CC	TCC	Zona	Zv	Xi	Xf	N	My	Nu	Myu	Sic.
			<m>	<m>	<m>	<daN>	<daNm>	<daN>	<daNm>	
19	SLV	Diff.	0	0	12	-75328.6	-35673.8	-75328.6	-60575.9	1.698
52	SLU	Diff.	1.25	0	12	-162947	-14691.8	-162947	-70877.5	4.824
13	SLV	Diff.	2.5	0	12	-106531	-33047.4	-106531	-64237.9	1.944

Stato limite d'esercizio - Armatura a flessione

CC	TCC	Zona	Zv	Xi	Xf	N	My	σ _c	σ _f
			<m>	<m>	<m>	<daN>	<daNm>	<daN/cm²>	<daN/cm²>
56	SLE R	Diff.	0	0	12	-120512	-15082.7	15.65	227.47
64	SLE Q	Diff.	0	0	12	-97472.4	-12589	13.25	207.1
55	SLE R	Diff.	1.25	0	12	-114928	-10326.7	9.57	113.33
56	SLE R	Diff.	1.25	0	12	-113012	-10298.9	9.57	112.82
63	SLE Q	Diff.	1.25	0	12	-91887.7	-7831.31	7.21	86.68
55	SLE R	Diff.	2.5	0	12	-107428	-11817.3	11.6	127.63
63	SLE Q	Diff.	2.5	0	12	-84387.6	-9320.31	9.17	100.64

Verifiche stato limite di formazione delle fessure

CC	TCC	Zona	Zv	Xi	Xf	N	My	c	s	K3	s _{rm}	Φ	A _s	A _{c,eff}	σ _s	σ _{sz}	ε _{sm}	Wk
			<m>	<m>	<m>	<daN>	<daNm>	<mm>	<mm>		<mm>		<cm²>	<cm²>	<daN/cm²>	<daN/cm²>		<mm>
64	SLE Q	Diff.	0	0	12	-97472.4	-12589	35	168	0.13	196.02	12	1.13	174.21	207.1	1768.63	0.04	0.01
60	SLE F	Diff.	0	0	12	-103232	-13212.5	35	168	0.13	196.02	12	1.13	174.21	212.07	1735.94	0.04	0.01
64	SLE Q	Diff.	1.25	0	12	-89972.3	-7803.53	35	168	0.13	196.02	12	1.13	174.21	30.28	613.46	0.01	0
60	SLE F	Diff.	1.25	0	12	-95732.3	-8427.37	35	168	0.13	196.02	12	1.13	174.21	35.1	644.98	0.01	0
63	SLE Q	Diff.	2.5	0	12	-84387.6	-9320.31	35	168	0.13	196.02	12	1.13	174.21	95.27	1235.99	0.02	0.01
59	SLE F	Diff.	2.5	0	12	-90147.6	-9944.56	35	168	0.13	196.02	12	1.13	174.21	101.24	1232.25	0.02	0.01

Parete n. 106

Caratteristiche delle sezioni e dei materiali utilizzati

Sez.	Spess.	Cf	Cls	Fck	Fctk	Fcd	Fctd	Tp	Fyk	Fyd
	<cm>	<cm>		<daN/cm²>	<daN/cm²>	<daN/cm²>	<daN/cm²>		<daN/cm²>	<daN/cm²>
Oriz.	30	4.1	C28/35	290.5	19.84	164.62	13.23	B450C	4500	3913.04

Verifiche su sezioni orizzontali

Stato limite ultimo - Armatura a flessione

CC	TCC	Zona	Zv <m>	Xi <m>	Xf <m>	N <daN>	My <daNm>	Nu <daN>	Myu <daNm>	Sic.
13	SLV	Diff.	0	0	12	-75328.6	-35673.8	-75328.6	-60575.9	1.698
51	SLU	Diff.	1.25	0	12	-162947	-14691.8	-162947	-70877.4	4.824
19	SLV	Diff.	2.5	0	12	-106531	-33047.4	-106531	-64237.9	1.944

Stato limite d'esercizio - Armatura a flessione

CC	TCC	Zona	Zv <m>	Xi <m>	Xf <m>	N <daN>	My <daNm>	σ_c <daN/cm ² >	σ_s <daN/cm ² >
55	SLE R	Diff.	0	0	12	-120512	-15082.7	15.65	227.47
63	SLE Q	Diff.	0	0	12	-97472.4	-12589	13.25	207.1
56	SLE R	Diff.	1.25	0	12	-114928	-10326.7	9.57	113.33
55	SLE R	Diff.	1.25	0	12	-113012	-10298.9	9.57	112.82
64	SLE Q	Diff.	1.25	0	12	-91887.7	-7831.31	7.21	86.68
56	SLE R	Diff.	2.5	0	12	-107428	-11817.3	11.6	127.63
64	SLE Q	Diff.	2.5	0	12	-84387.6	-9320.31	9.17	100.64

Verifiche stato limite di formazione delle fessure

CC	TCC	Zona	Zv <m>	Xi <m>	Xf <m>	N <daN>	My <daNm>	c <mm>	s <mm>	K3	s_{zm} <mm>	Φ	A_s <cm ² >	$A_{s\ eff}$ <cm ² >	σ_s <daN/cm ² >	σ_{sz} <daN/cm ² >	ϵ_{sm}	Wk <mm>
63	SLE Q	Diff.	0	0	12	-97472.4	-12589	35	168	0.13	196.02	12	1.13	174.21	207.1	1768.63	0.04	0.01
59	SLE F	Diff.	0	0	12	-103232	-13212.5	35	168	0.13	196.02	12	1.13	174.21	212.07	1735.94	0.04	0.01
63	SLE Q	Diff.	1.25	0	12	-89972.3	-7803.53	35	168	0.13	196.02	12	1.13	174.21	30.28	613.46	0.01	0
59	SLE F	Diff.	1.25	0	12	-95732.3	-8427.37	35	168	0.13	196.02	12	1.13	174.21	35.1	644.98	0.01	0
64	SLE Q	Diff.	2.5	0	12	-84387.6	-9320.31	35	168	0.13	196.02	12	1.13	174.21	95.27	1235.99	0.02	0.01
60	SLE F	Diff.	2.5	0	12	-90147.6	-9944.56	35	168	0.13	196.02	12	1.13	174.21	101.24	1232.25	0.02	0.01